Immunologie – une introduction

Oliver Nüsse

- Le système immunitaire : cellules, organes et médiateurs
- Antigène, anticorps et lymphocytes B (anticorps, BCR...)
 - Immunité innée et inflammation

Pierre Bobe

- Complexe majeur d'histocompatibilité (CMH) et présentation de l'antigène
 Lymphocytes T (TCR et activation)
 - Effecteurs lymphocytaires (activité cytotoxique/helper, coopération)

Immunologie-virologie, Licence Biologie, L3, 2024/2025, Université Paris-Saclay, Faculté des Sciences, Orsay

oliver.nusse@universite-paris-saclay.fr

Le système immunitaire

cellules, organes et médiateurs

Défense contre les infections Les cellules du système immunitaire Les organes du système immunitaire La communication La reconnaissance

Le système immunitaire – une réponse aux infections

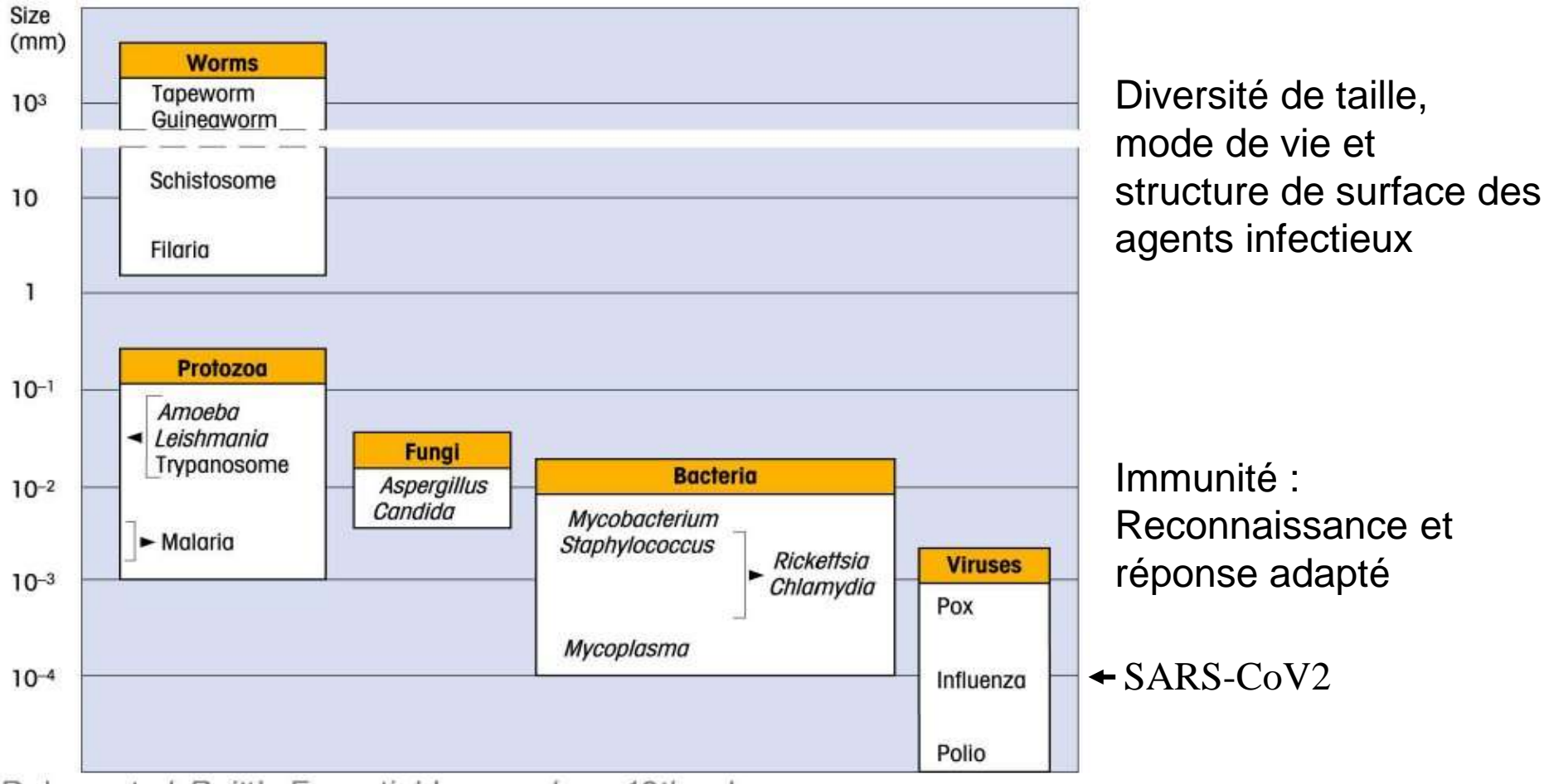


Fig 1.1

Delves et al. Roitt's Essential Immunology, 12th ed. © 2011 Delves et al. Published 2011 by Blackwell Publishing Ltd.

Comprendre les pathologies impliquant le système immunitaire

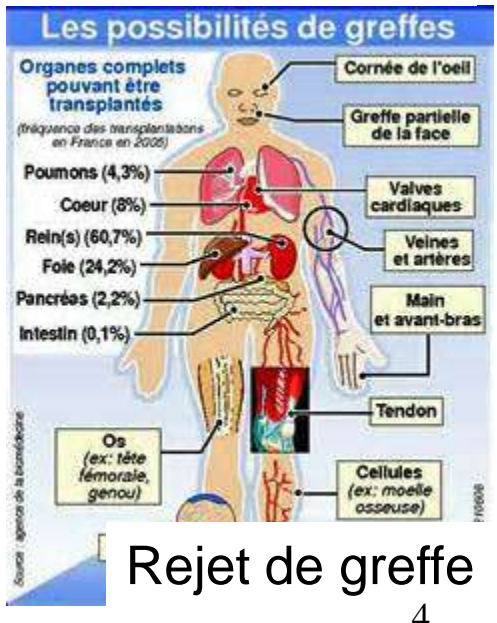












Immunologie:

Innée ou acquise

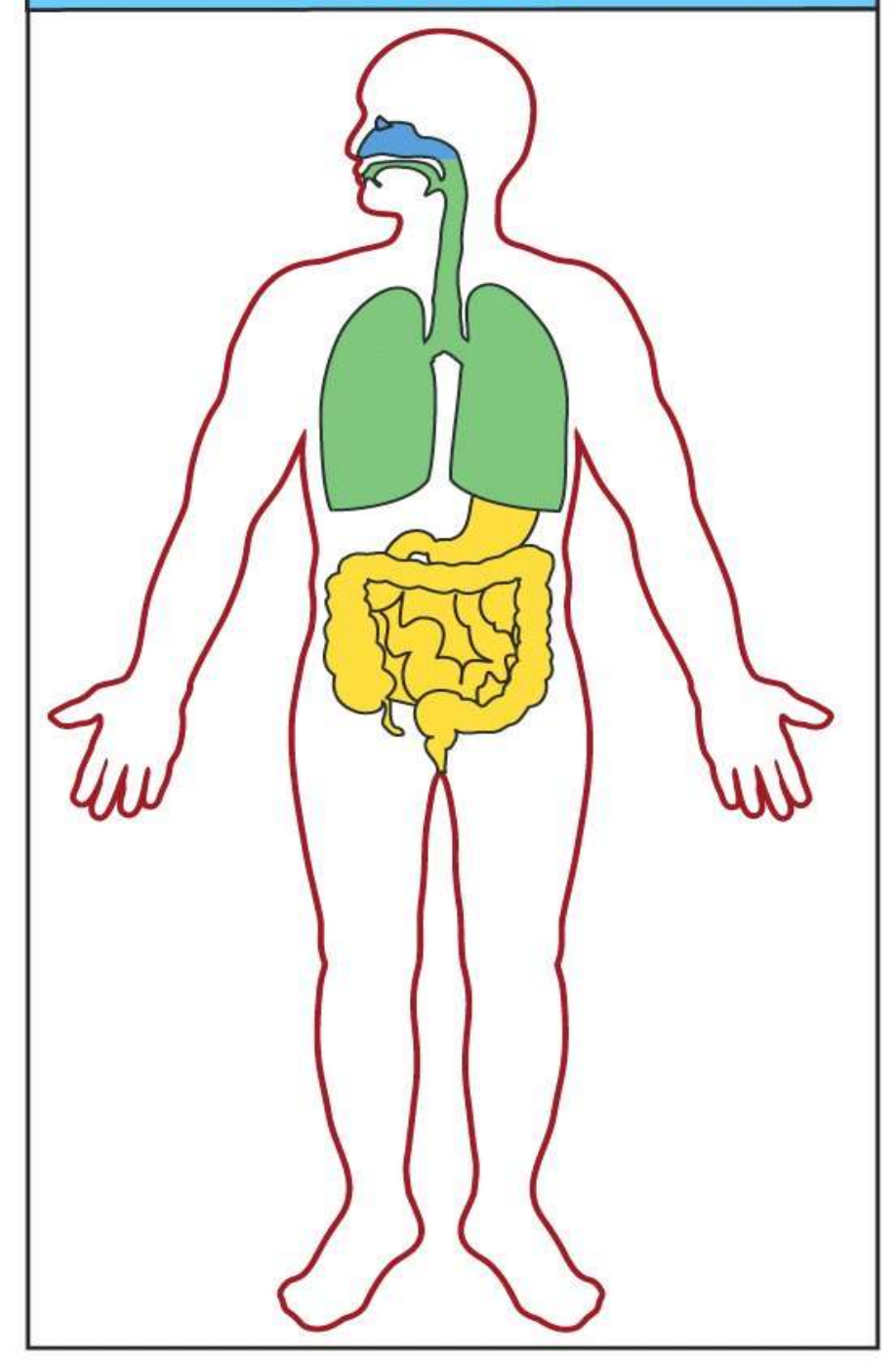
Distinction entre soi et non - soi

Reconnaissance de motifs (ex glycolipides bactériens)

- Récepteurs « Toll-like», TLR1, 2, 3, 4...

Reconnaissance spécifique d'un antigène

- anticorps, TCR, BCR



Barrières contre les infections

- Épithélium
- muqueuses

6

Infection => inflammation

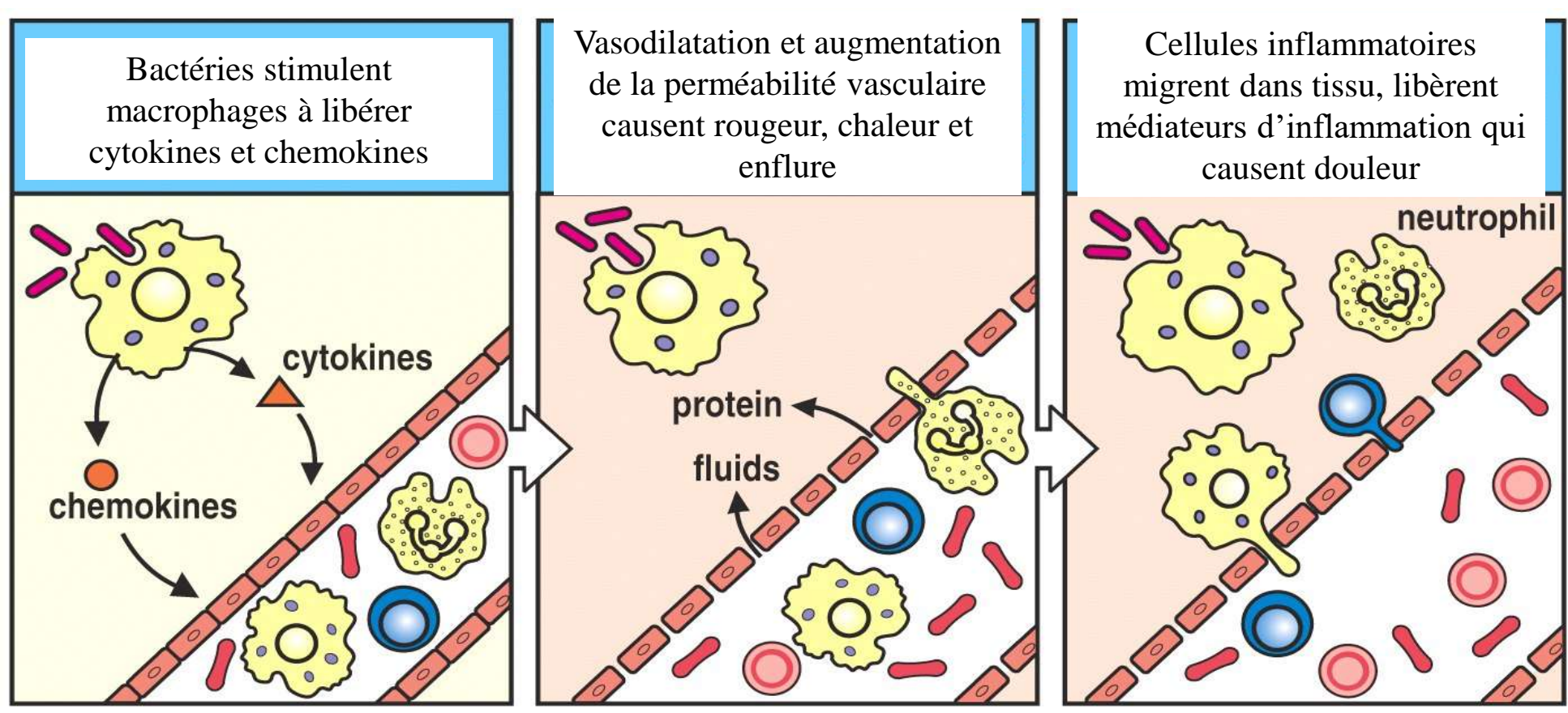


Figure 1-12 Immunobiology, 6/e. (© Garland Science 2005)

Symptômes de l'inflammation : Rougeur, douleur, chaleur, enflure

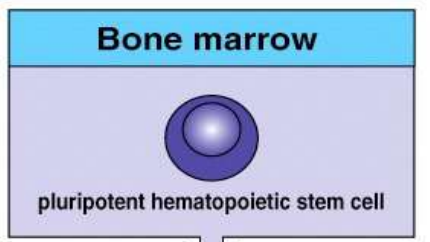
Formule sanguine humaine

	Cellules / µl	% de leucocytes
Lymphocytes	2200	30
Monocytes	500	6
Granulocytes	4300	65
neutrophiles	4100	60
éosinophiles	150	2-5
basophiles	50	< 1
========	========	========
total	7000	100

Valeurs moyennes approximatives

Leucocytose / Leucopénie, excès / manque de leucocytes

Neutrophiles, demi-vie 6-8 h,
Production d'un adulte 10¹⁰ à 10¹¹ cellules/24h



Les cellules du système immunitaire

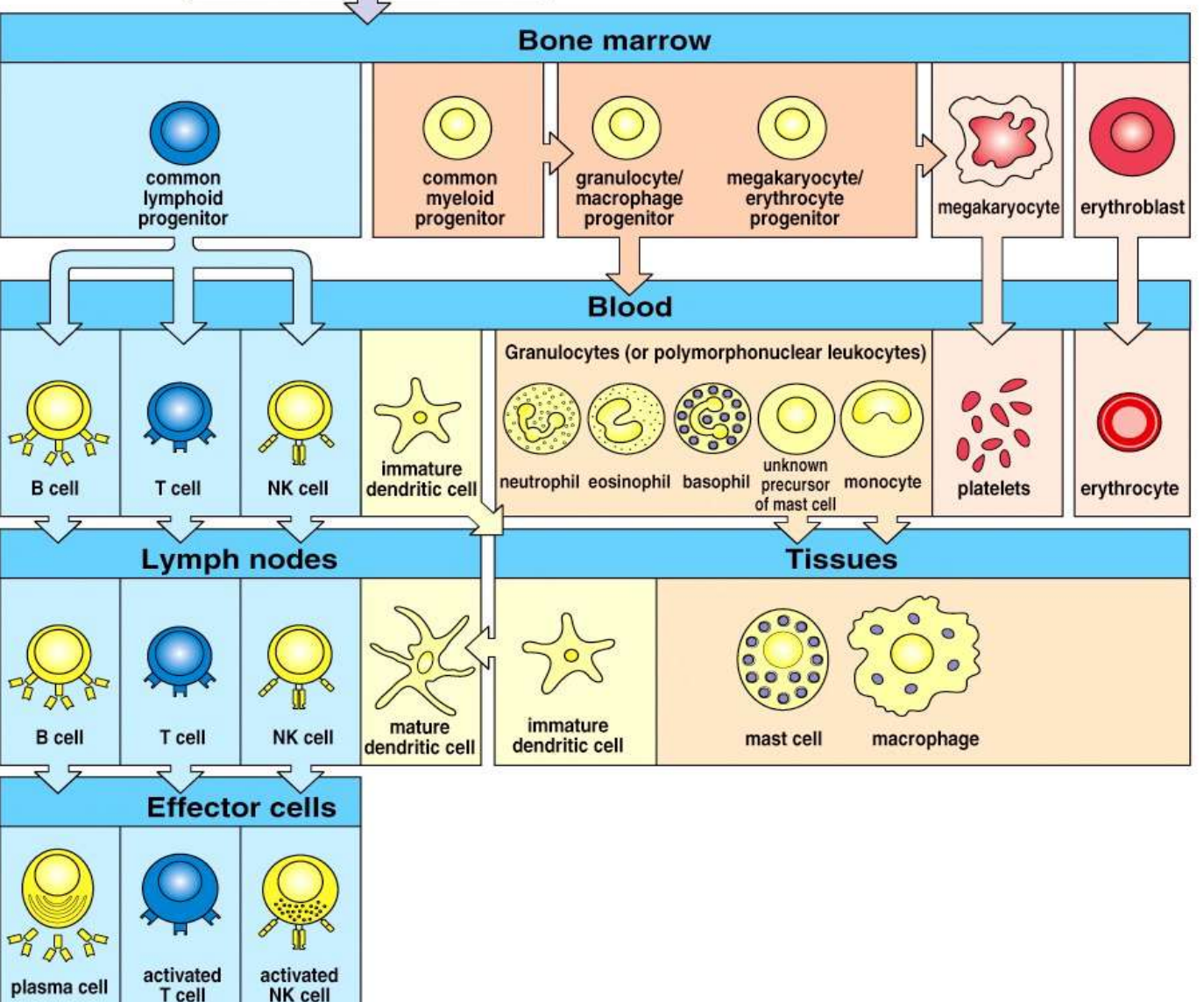


Figure 1-3 Immunobiology, 6/e. (© Garland Science 2005)

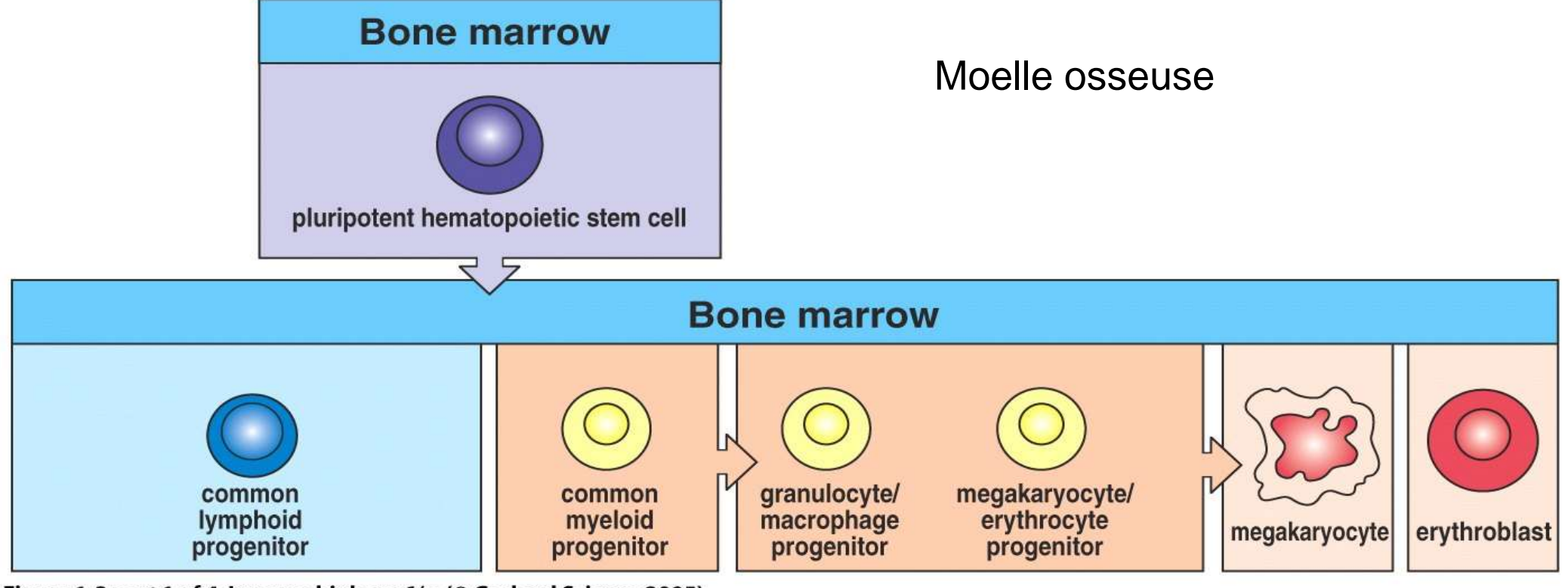


Figure 1-3 part 1 of 4 Immunobiology, 6/e. (© Garland Science 2005)

Moelle osseuse

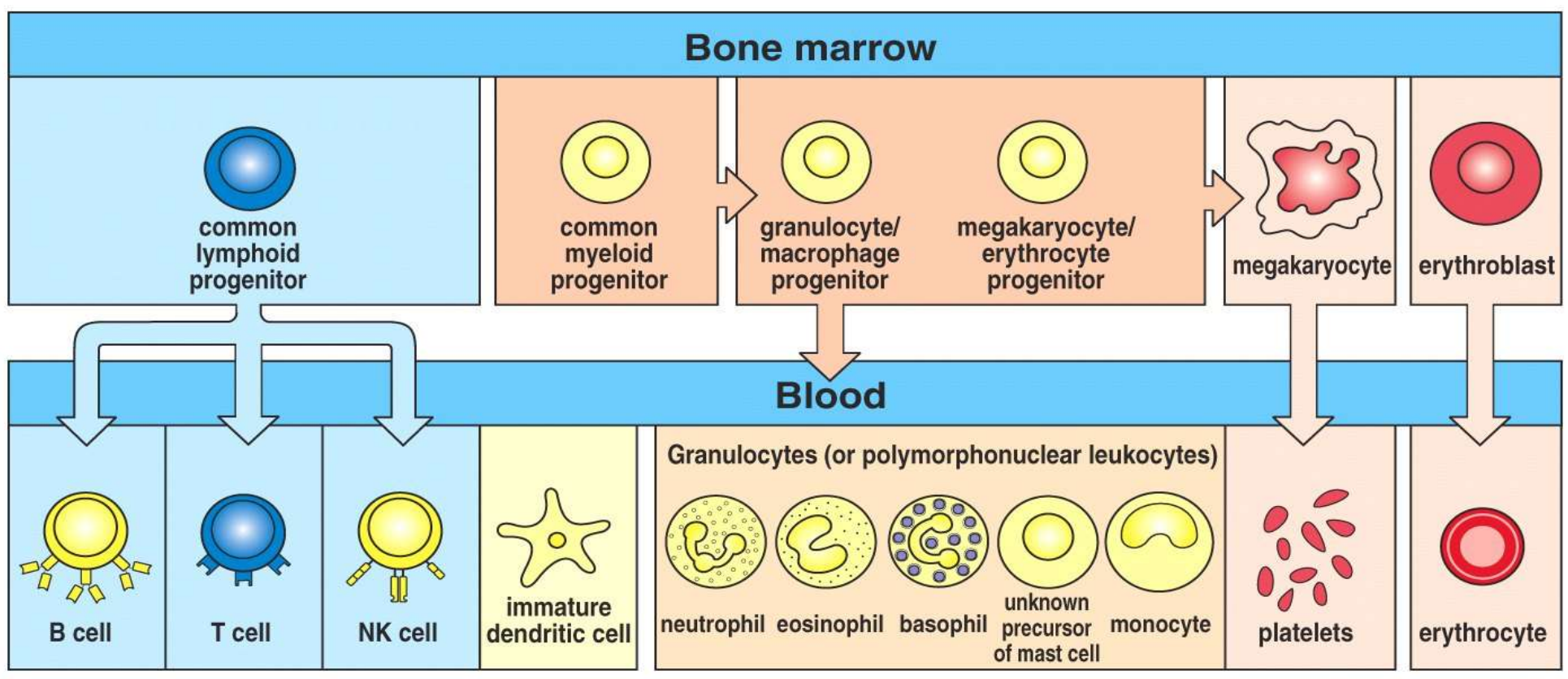


Figure 1-3 part 2 of 4 Immunobiology, 6/e. (© Garland Science 2005)

Sang

sang

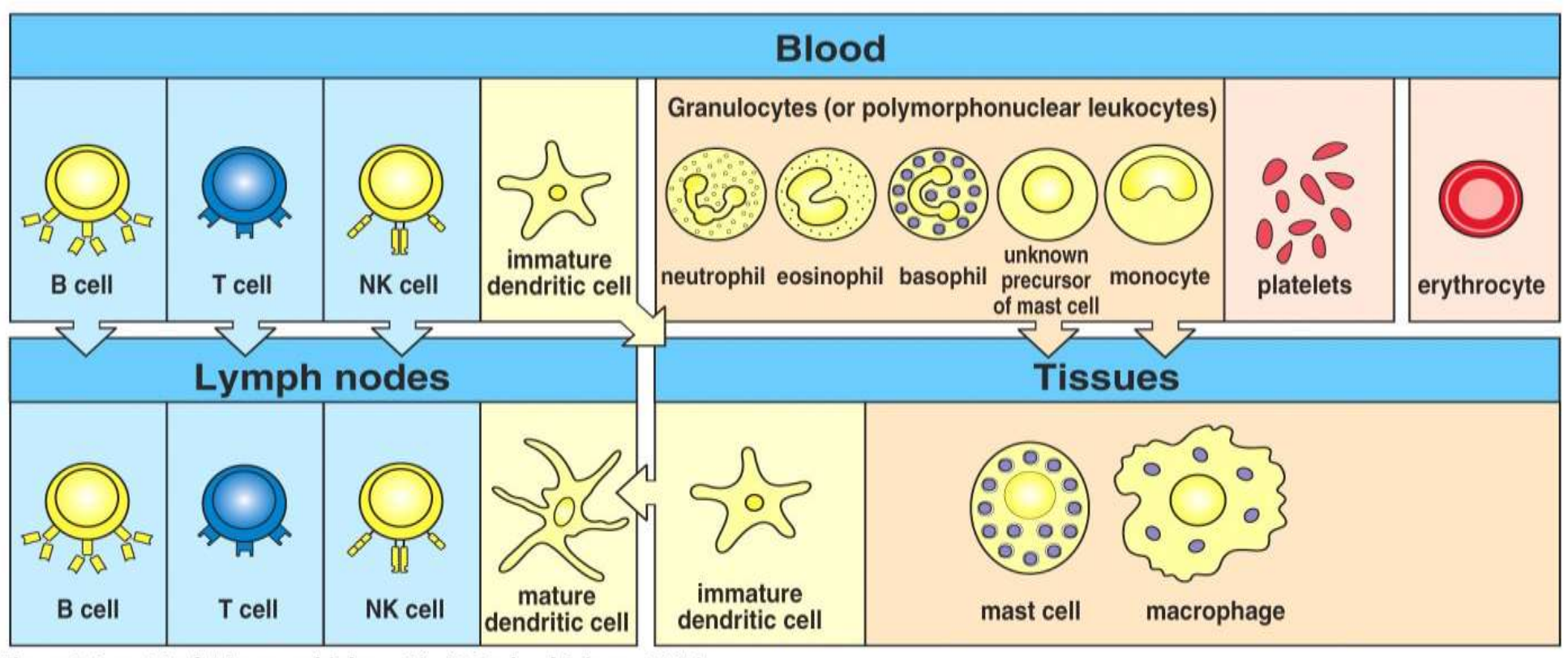


Figure 1-3 part 3 of 4 Immunobiology, 6/e. (© Garland Science 2005)

ganglions

Tissus

ganglions Moelle osseuse

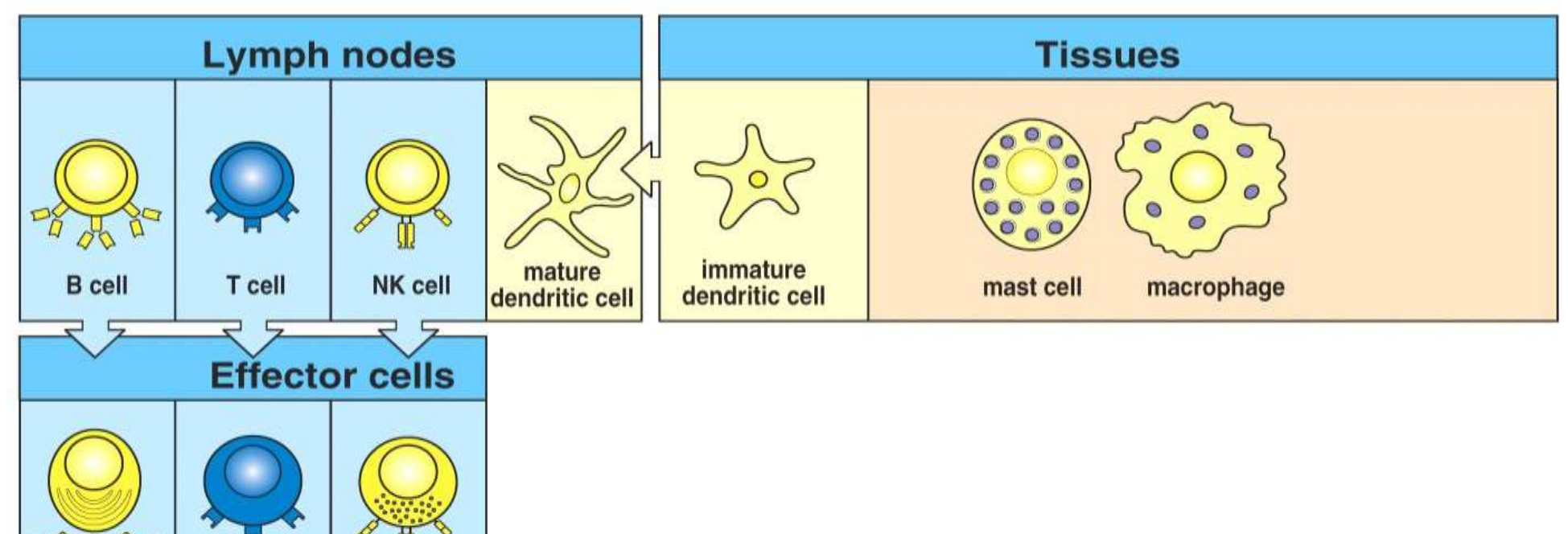


Figure 1-3 part 4 of 4 Immunobiology, 6/e. (© Garland Science 2005)

activated

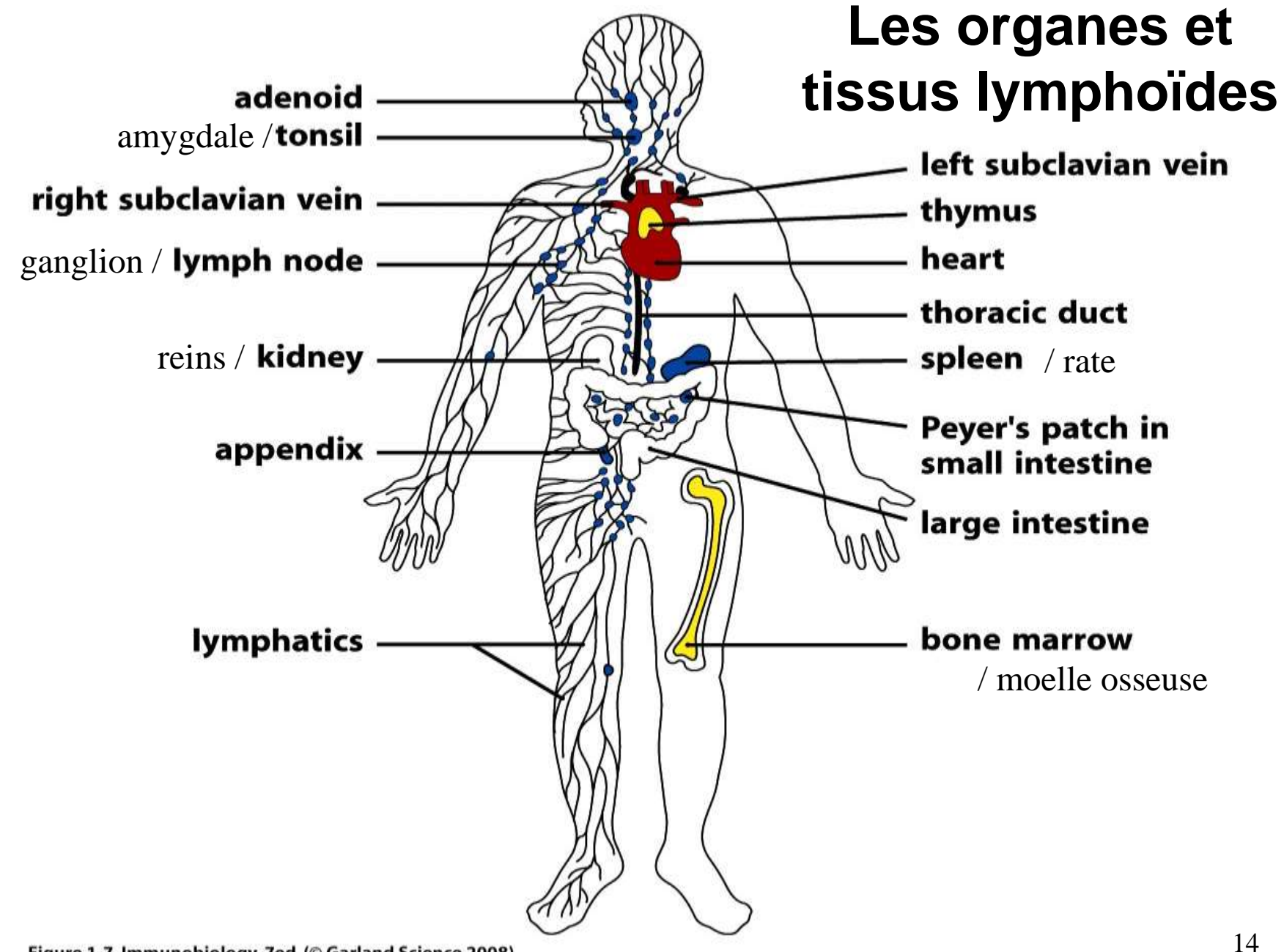
NK cell

activated

T cell

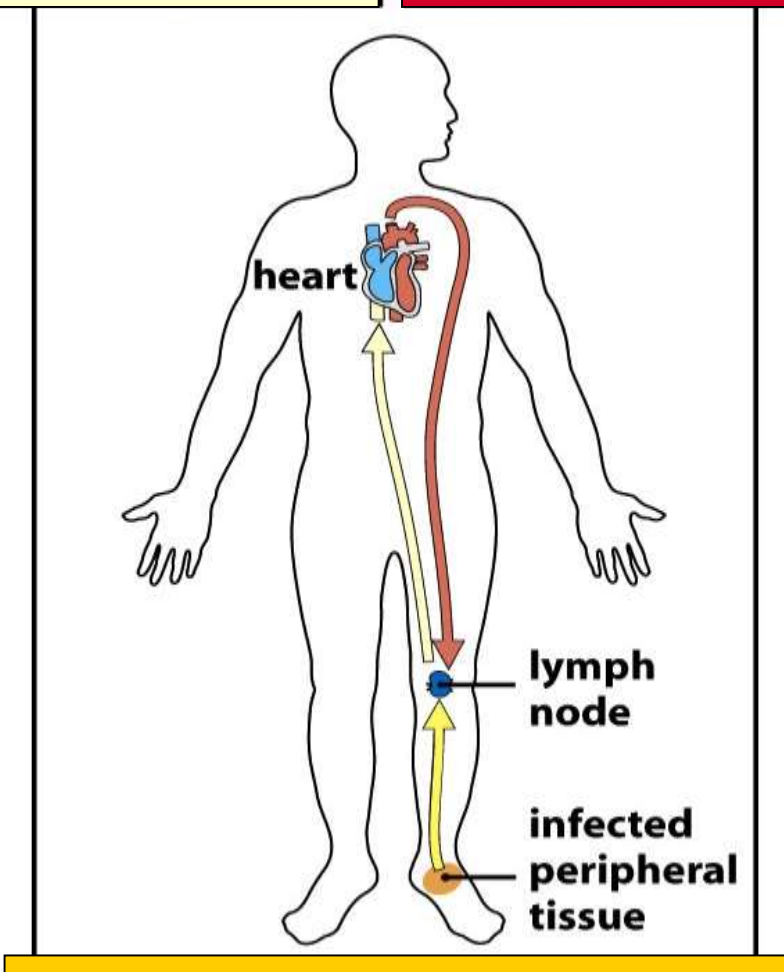
plasma cell

Cellules effectrices



Lymphocytes et lymphe retournent au sang par le canal thoracique

Lymphocytes naïves entrent le lymphe à partir du sang



Antigènes venant des sites d'infection arrivent aux ganglions par le lymphe

Le lymphe et la circulation des lymphocytes

15

Un ganglion (lymph node)

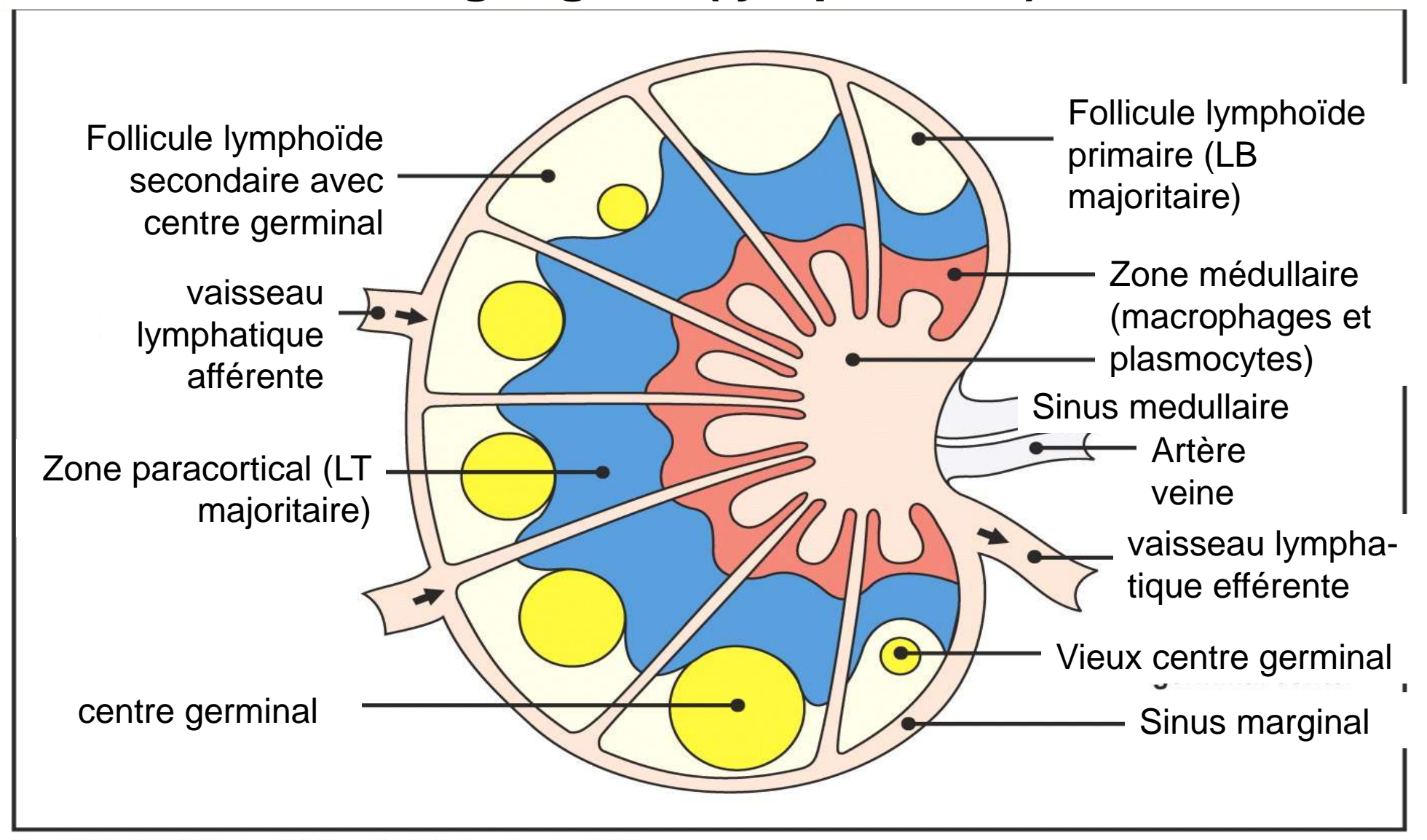


Figure 1-8 part 1 of 2 Immunobiology, 6/e. (© Garland Science 2005)

16

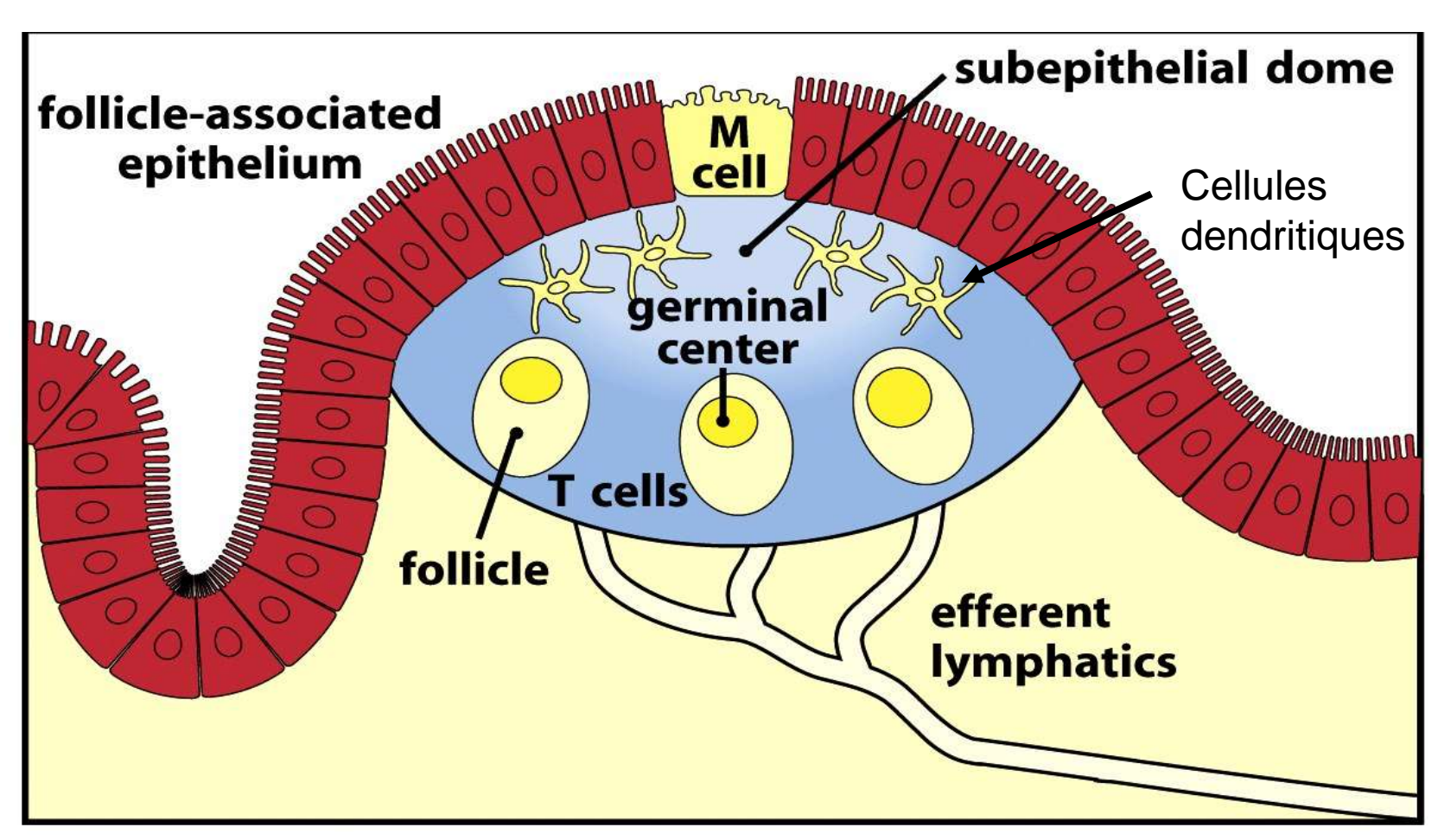
capsule red pulp white pulp trabecular venous sinus vein trabecular **Longitudinal section** Transverse section artery of white pulp of white pulp B-cell corona germinal center marginal zone perifollicular zone periarteriolar lymphoid sheath central arteriole - red pulp

La rate (spleen)

Centre germinal

17

Les plaques de Peyer sont associés à l'épithélium intestinal et aux cellules M



Cellules dendritiques : capture et présentation d'antigènes

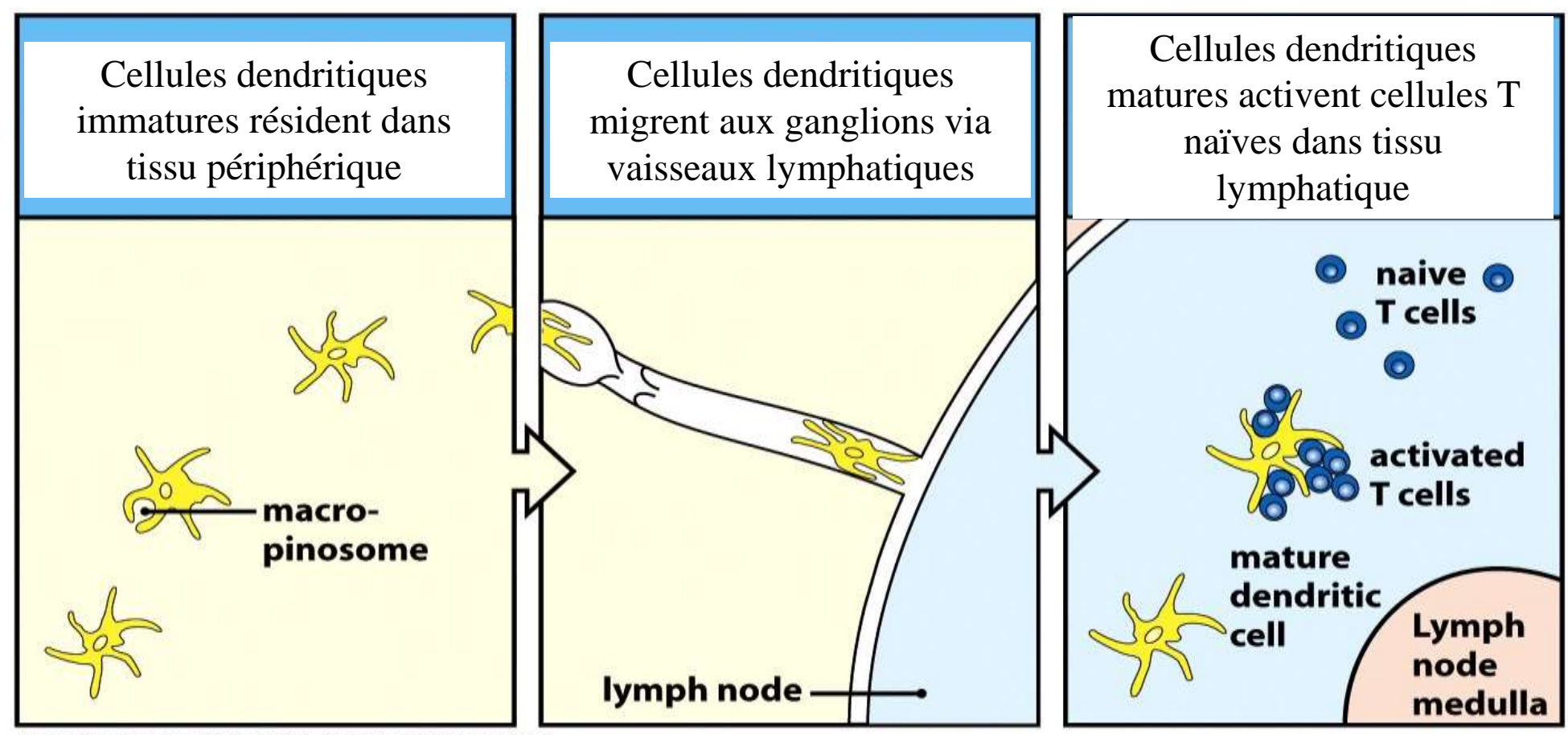


Figure 1-9 Immunobiology, 7ed. (© Garland Science 2008)

Reconnaître l'ennemi

Danger associated molecular pattern – DAMP

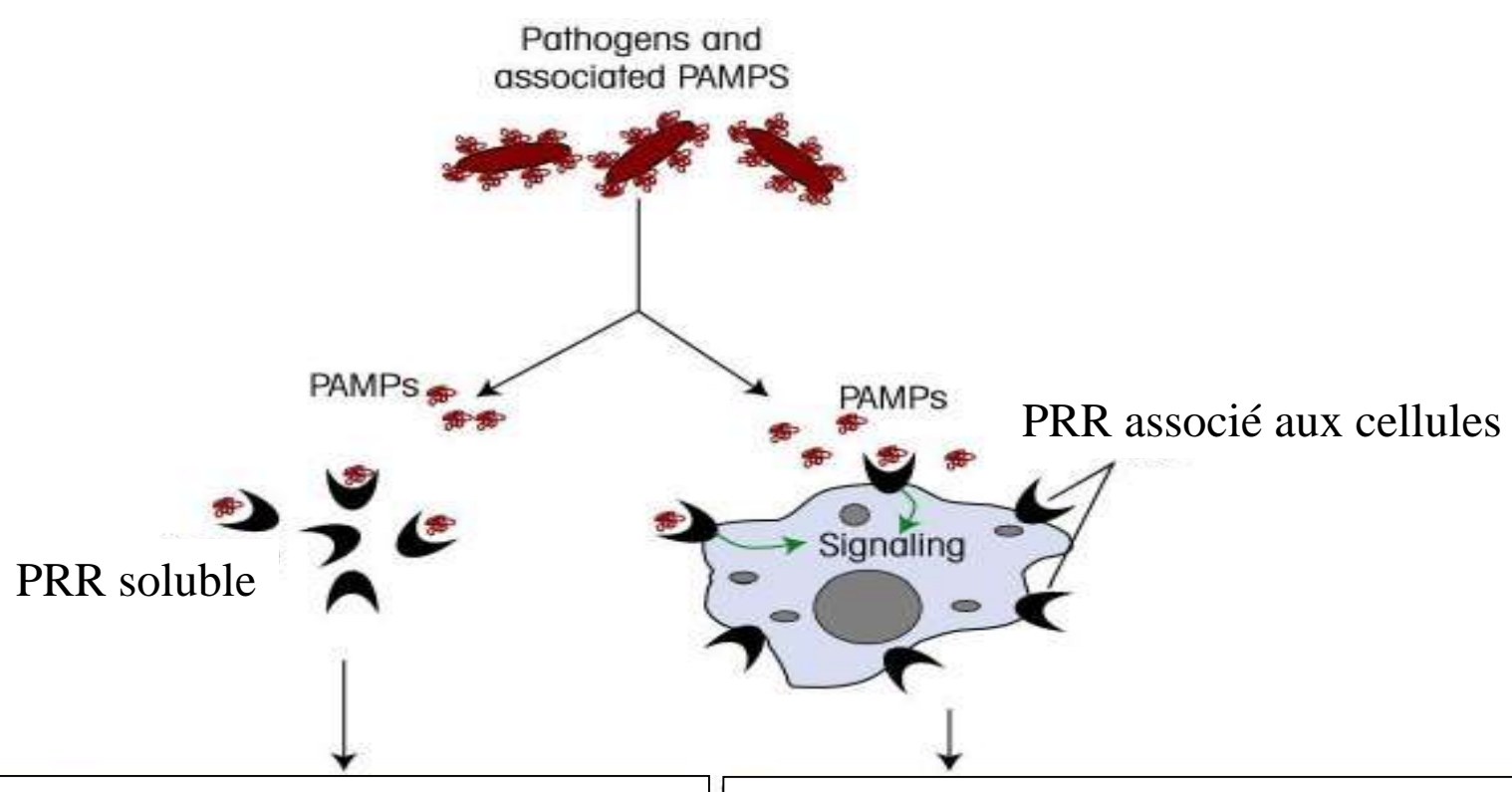
Pathogen associated molecular pattern – PAMP

Pattern recognition receptor – PRR

Toll-like receptor – TLR (TLR 1-10)

Pattern = motif

Les PRRs détectent les PAMPs et initient des réponses diverses



- -Attaque directe du microorganisme par PRR soluble
- -Amélioration de la phagocytose par PRR-lié au PAMP
- -Cascade protéolytique conduisant à la lyse du microorganisme

- Phagocytose de PAMP et du microorganisme associé
- -Activation de cellule immunitaire par le rencontre avec PAMP
- Libération de médiateurs d'inflammation

Delves et al. Roitt's Essential Immunology, 12th ed. © 2011 Delves et al. Published 2011 by Blackwell Publishing Ltd.

Les macrophages expriment plusieurs récepteurs des composantes microbiennes

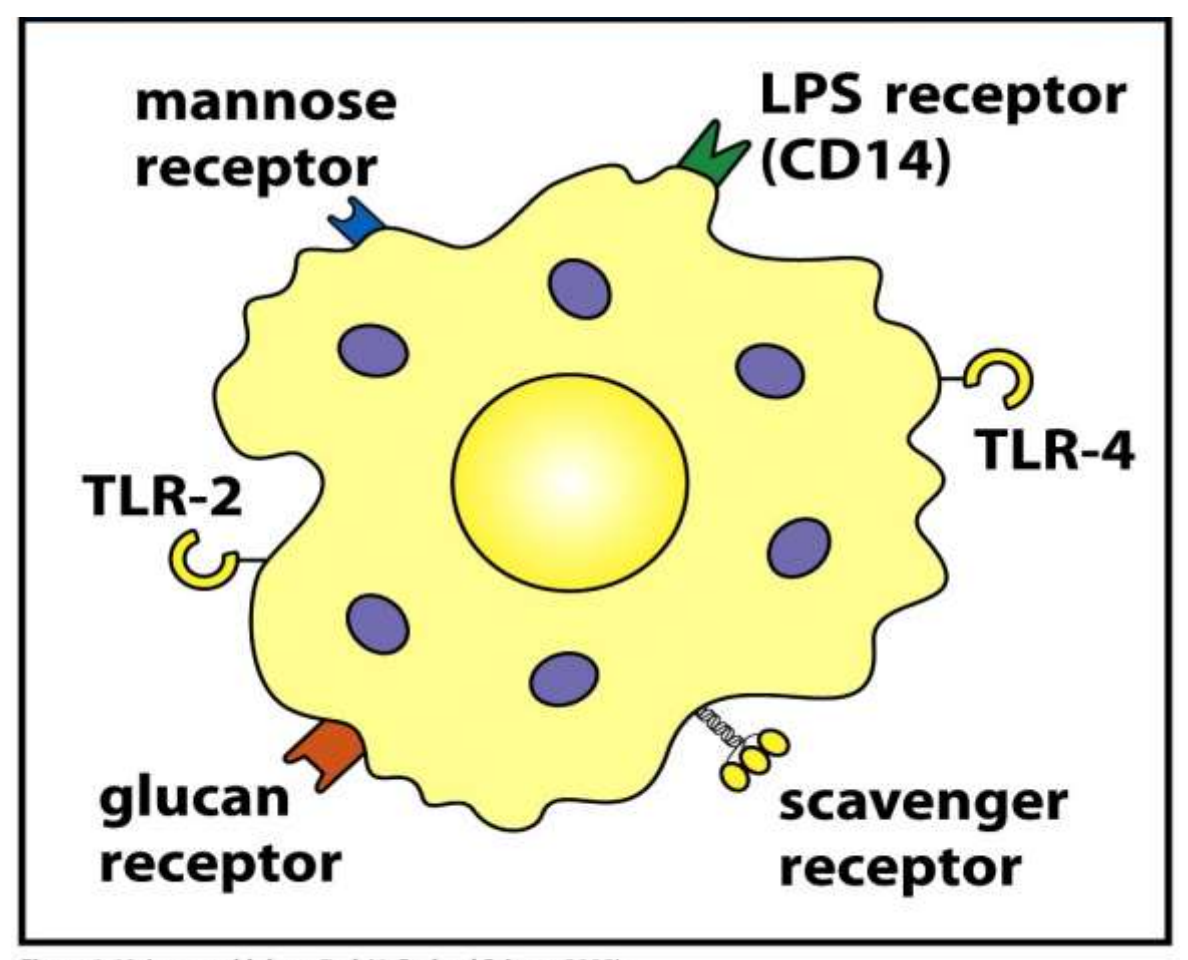
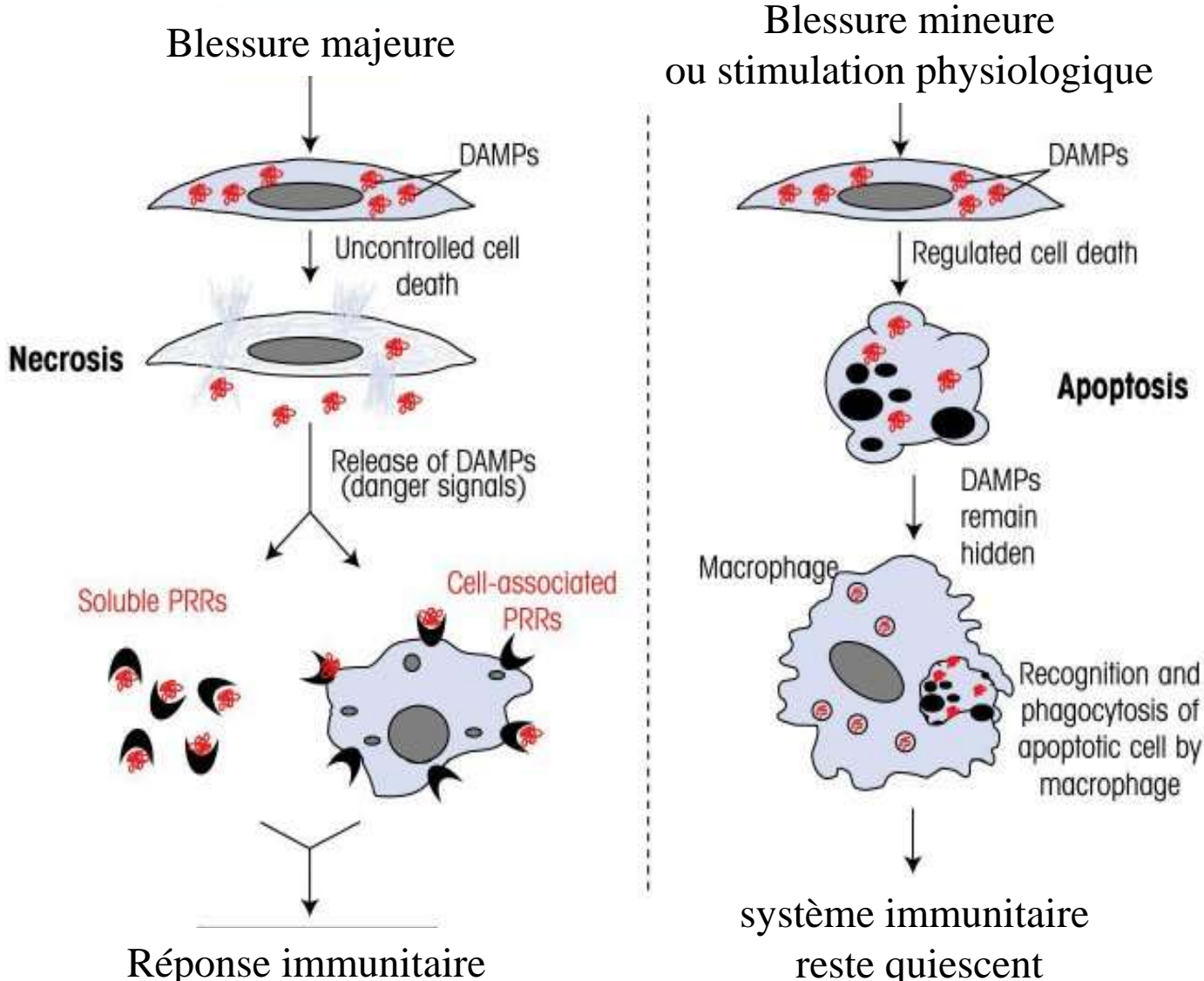


Figure 1-10 Immunobiology, 7ed. (© Garland Science 2008)



Réponse immunitaire Delves et al. Roitt's Essential Immunology, 12th ed.

Les cellules nécrotiques libèrent des **DAMPs** cytosoliques et provoquent une réponse immunitaire

23

© 2011 Delves et al. Published 2011 by Blackwell Publishing Ltd.

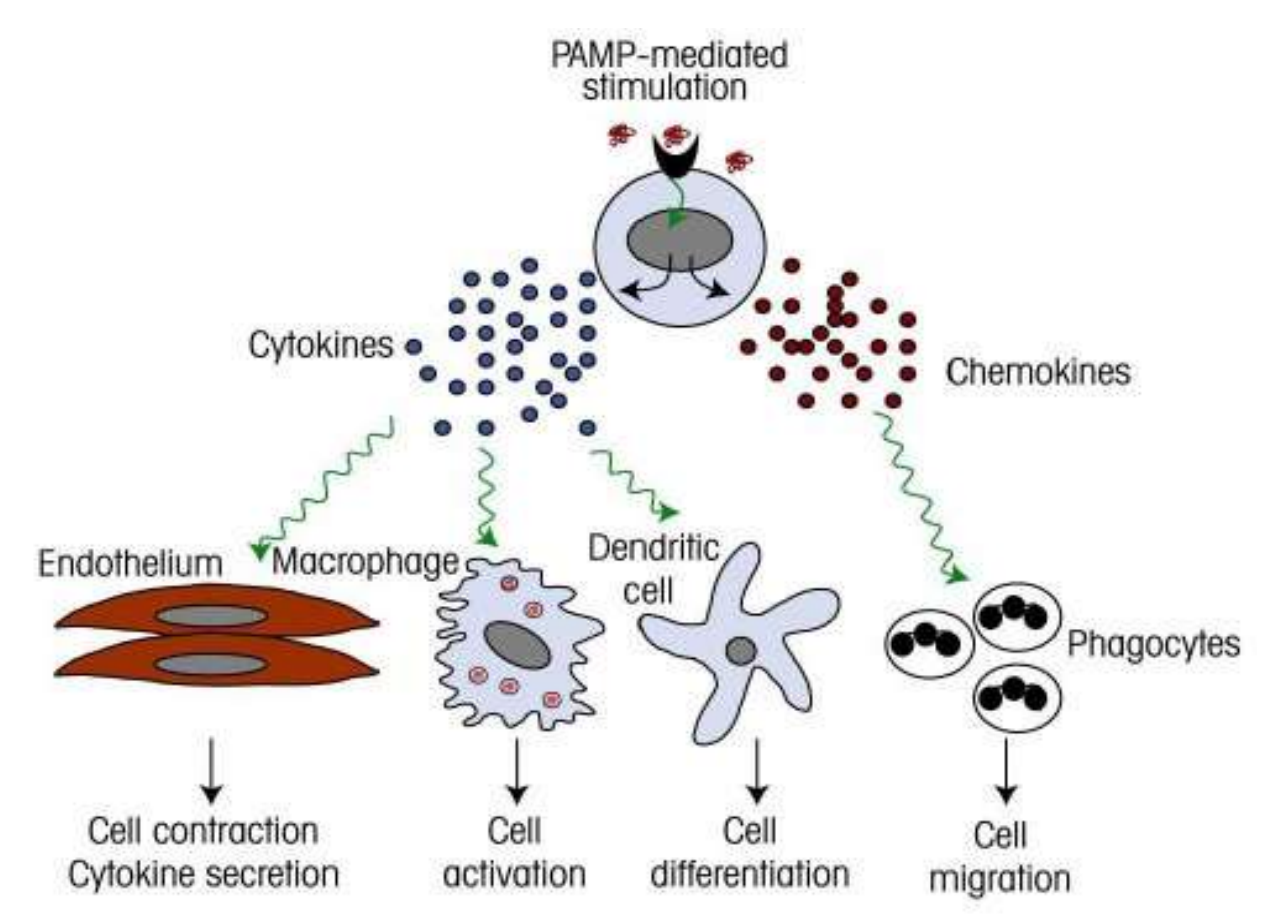
3/17/11 4:18 PM Chapter_1.indd 3

DAMPs

Apoptosis

macrophage

Conséquences multiples d'une activation par les PAMPs



Delves et al. Roitt's Essential Immunology, 12th ed. © 2011 Delves et al. Published 2011 by Blackwell Publishing Ltd.

Fig 1.4

Résumé

- Réponse immunitaire adapté à un type d'infection (d'agression)
- Reconnaissance de l'agent infectieux (PAMP, PRR, ...)
- Leukocytes spécialisés (lymphocytes B et T, macrophages, granulocytes...) d'origine commune (moëlle osseuse) suivi d'une différentiation complexe
- Organes lymphoïdes, lieu de différentiation et de contact avec l'antigène
- Des signaux divers pour stimuler une réponse immunitaire adaptée

Antigène, anticorps et lymphocytes B

Immunoglobulines/Anticorps dans la réponse immunitaire

La structure des anticorps

Variabilité et spécificité

Production des anticorps

Le BCR et le développement du lymphocyte B

Lymphocytes B, producteurs d'Anticorps

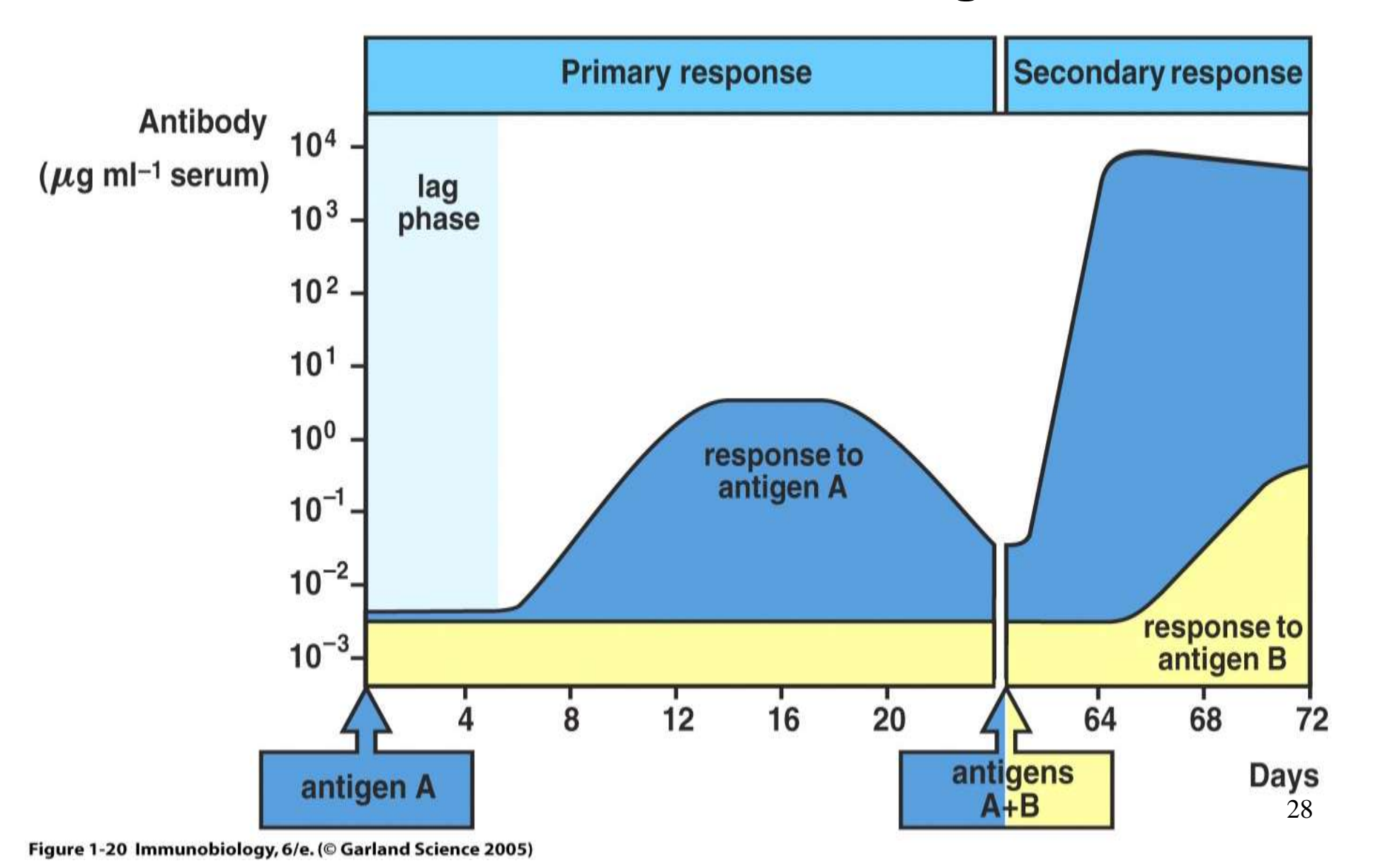
Fonctions des Anticorps (neutralisation, opsonisation, activation du complément)

Les récepteurs Fc

ADCC

Immunologie-virologie, Licence Biologie, L3, 2022/2023, Université Paris-Saclay, Faculté des Sciences, Orsay Sources: « Immunobiology », 6-8th ed., Janeway et al., Garland Science

La production d'anticorps lors de la réponse primaire et secondaire à un antigène



La production d'anticorps et les vaccins

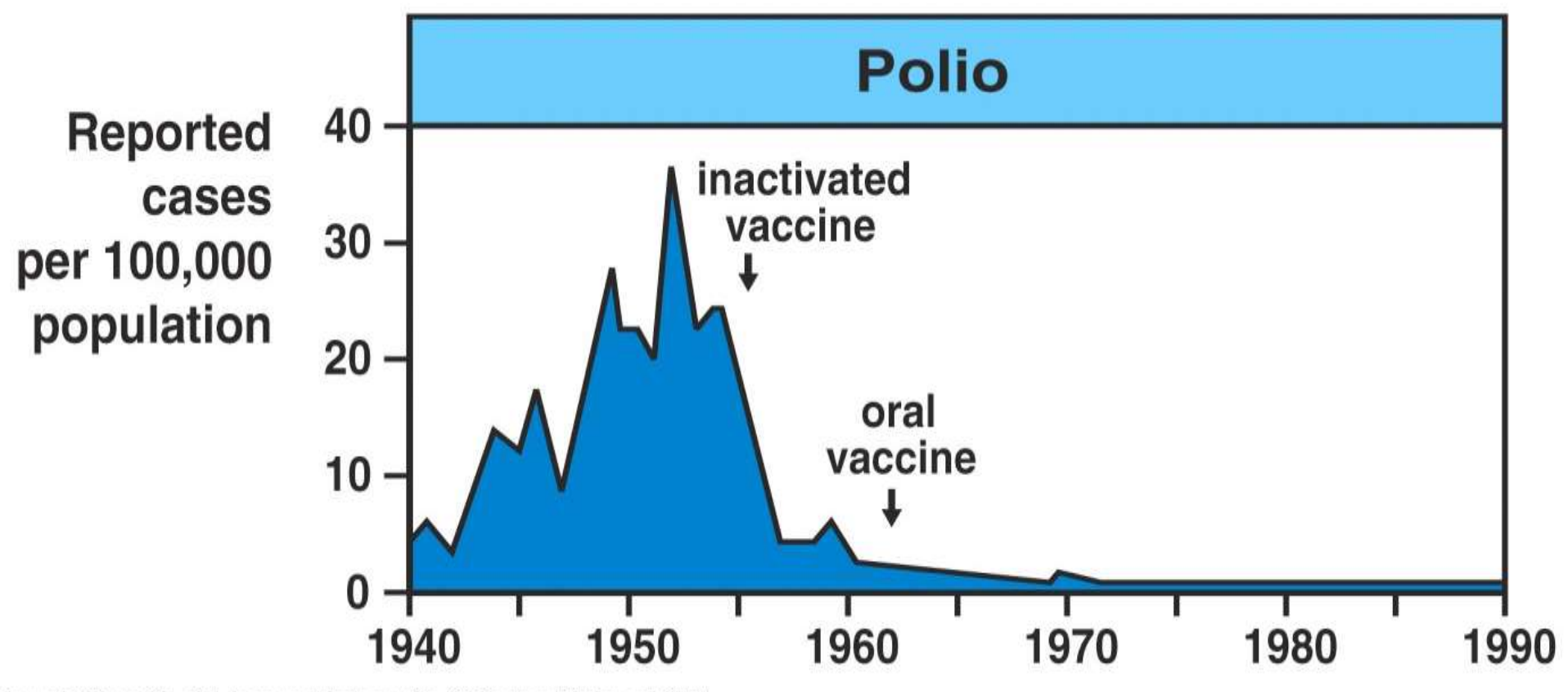
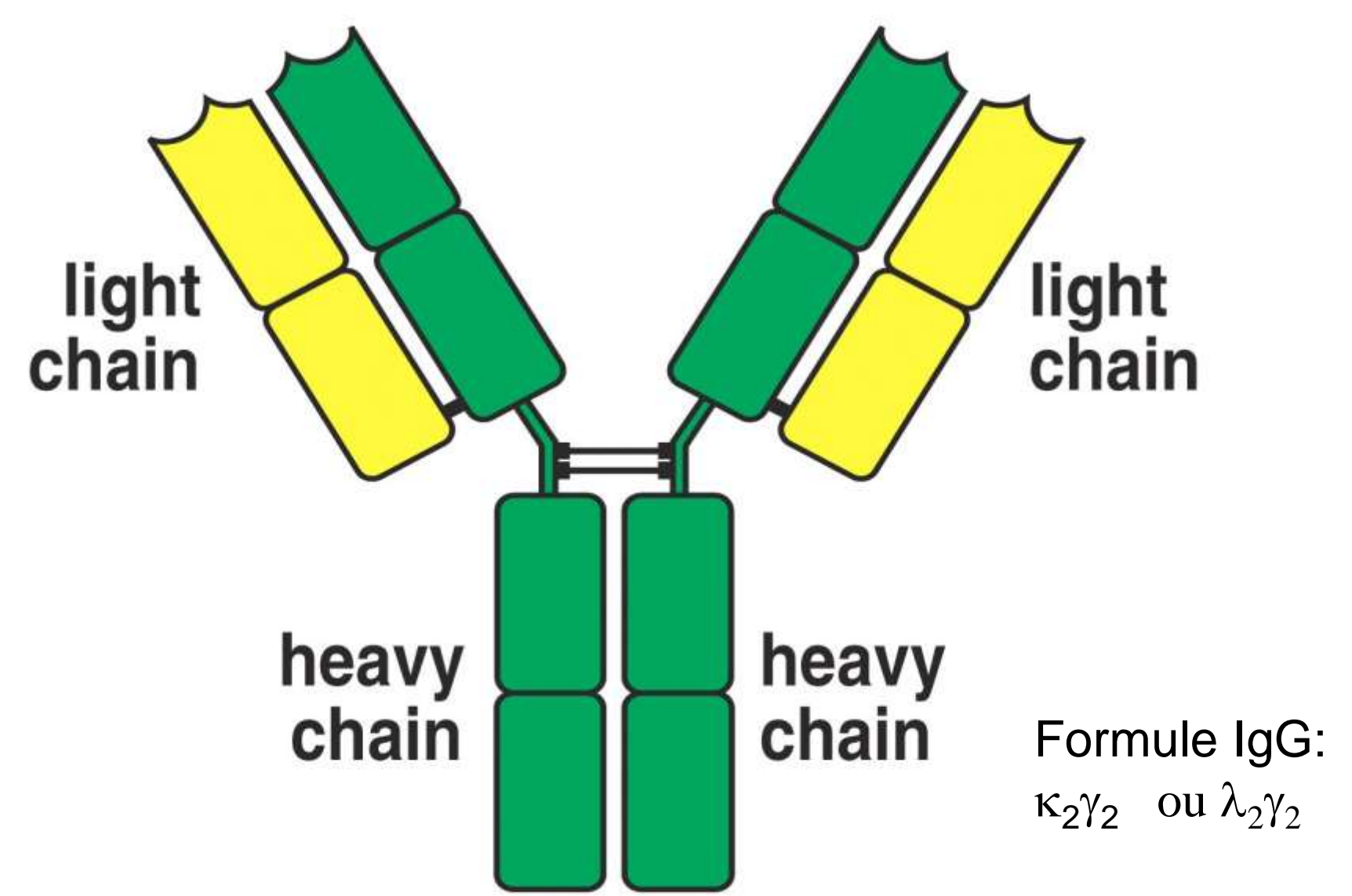


Figure 1-33 part 2 of 3 Immunobiology, 6/e. (© Garland Science 2005)

Éradication complète de la poliomyélite par vaccination en échec pour l'instant

La structure de base des anticorps 1



La structure de base des anticorps 2

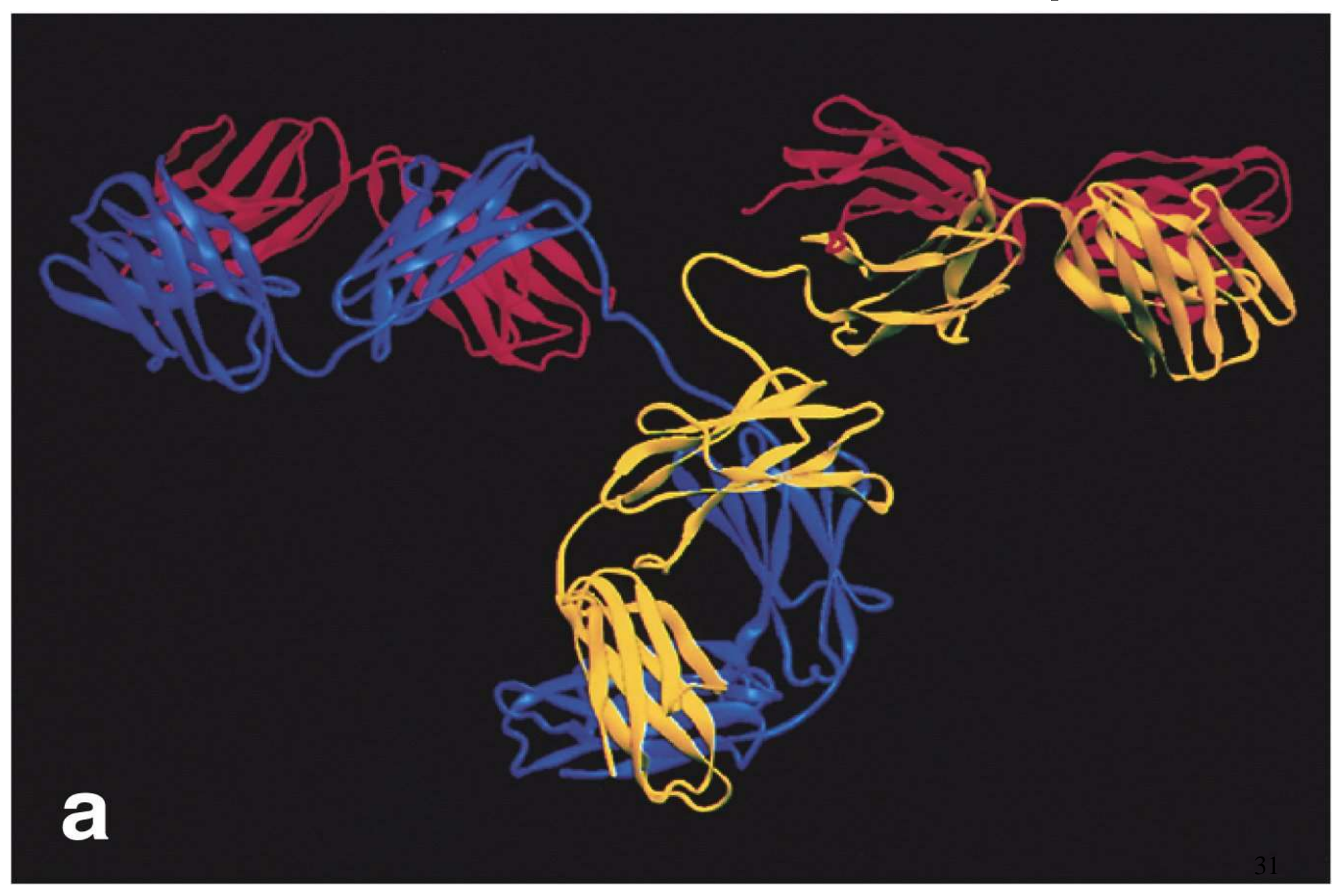
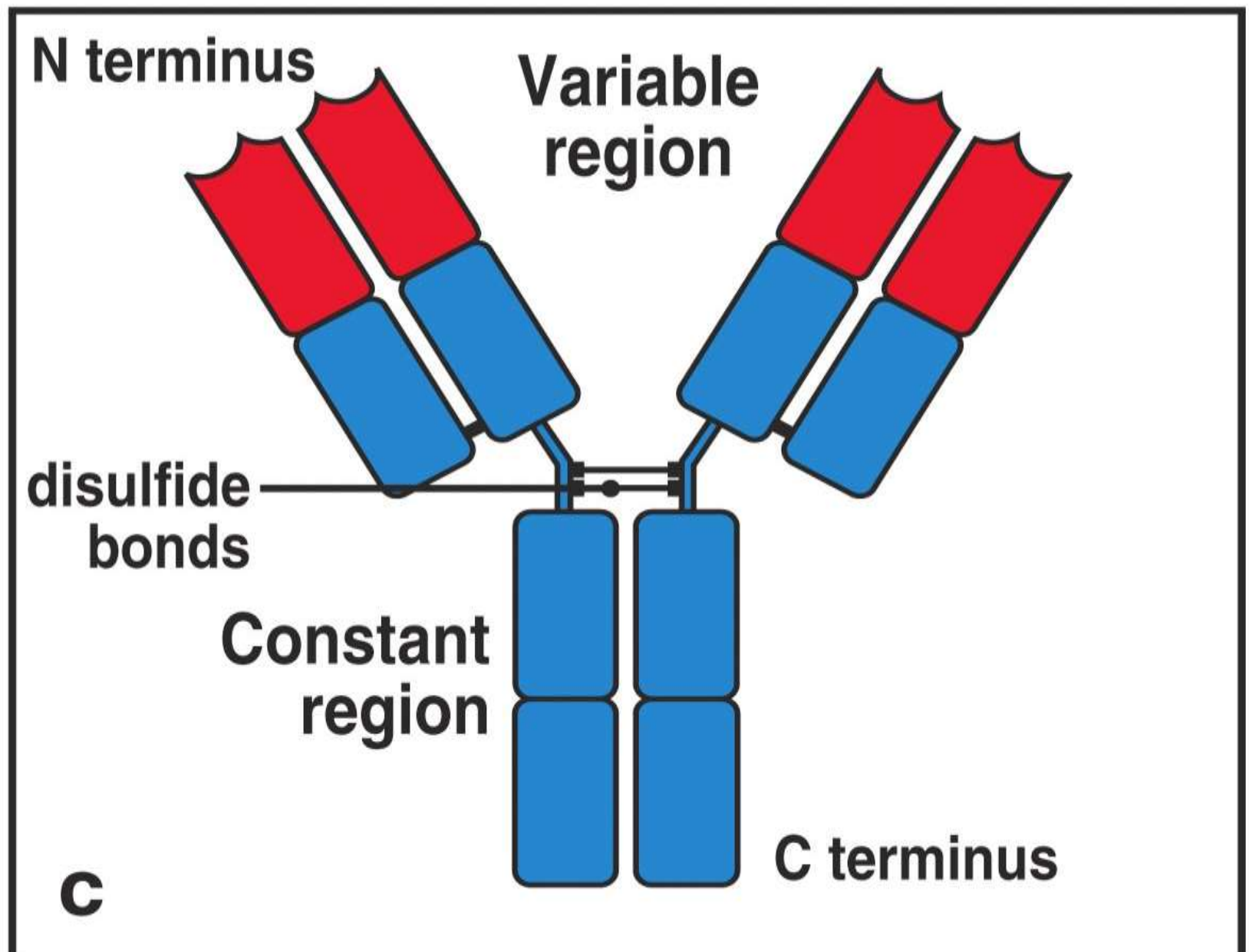


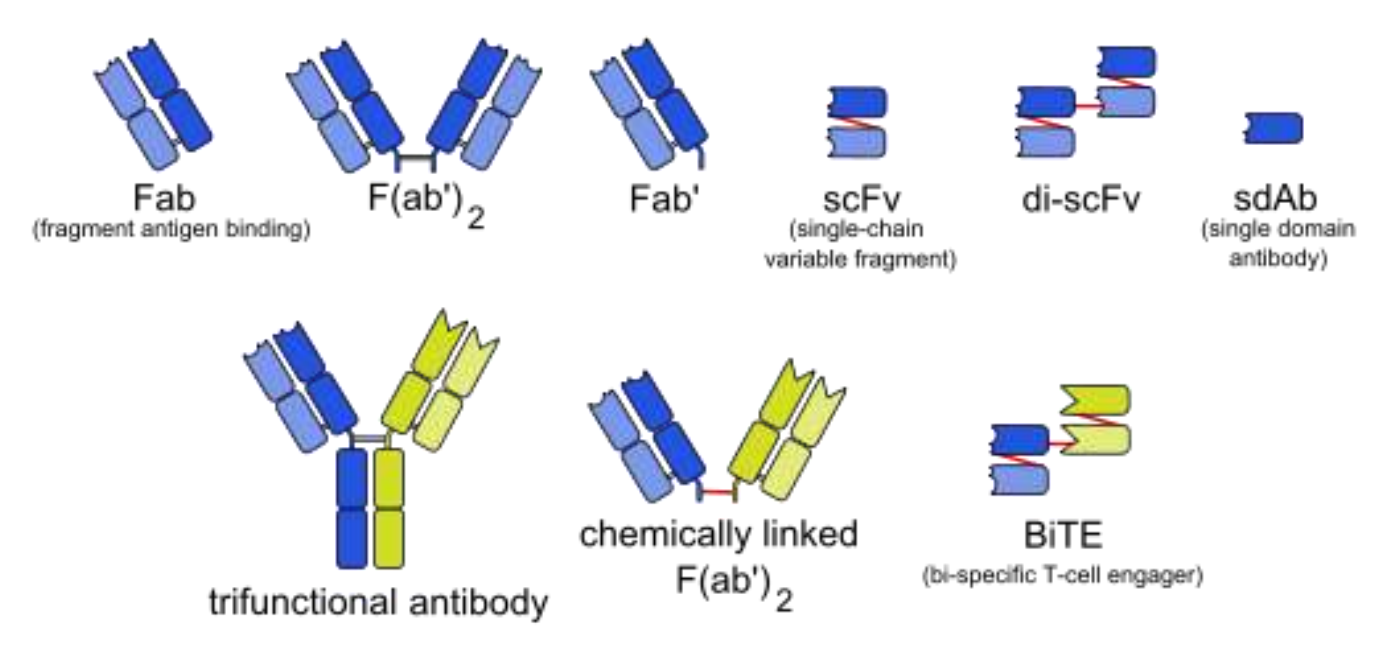
Figure 3-1 part 1 of 3 Immunobiology, 6/e. (© Garland Science 2005)

La structure de base des anticorps 3



32

Immunothérapie par anticorps monoclonaux



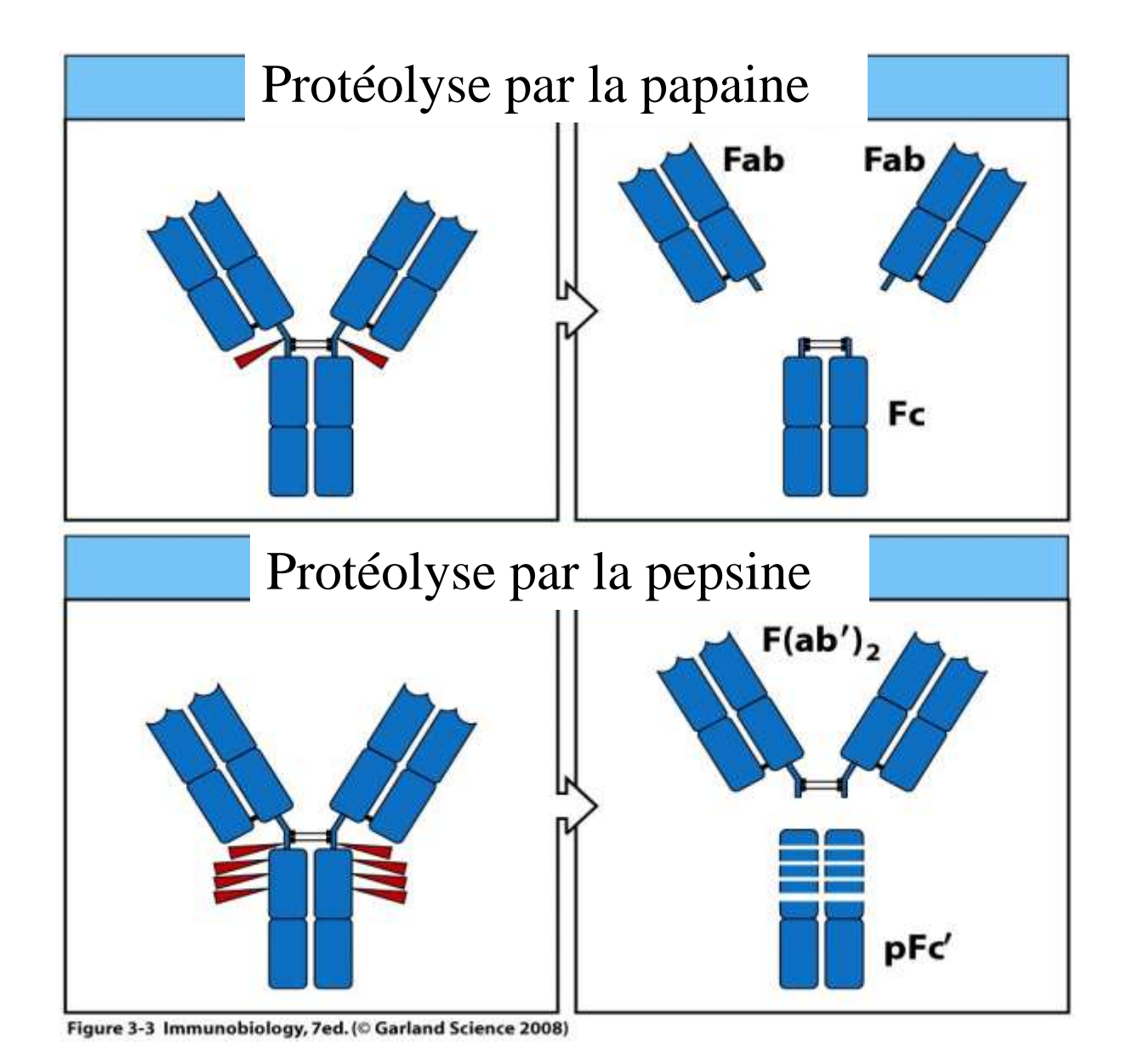
Wikipedia, cancer immunotheray

Cancer, maladies autoimmunes, Alzheimer...

Ramucirumab, Infliximab, Bapineuzumab...

2018 prix Nobel de médecine James Allison et Tasuku Honjo

Générer des fragments d'anticorps



Les isotypes d'immunoglobulines

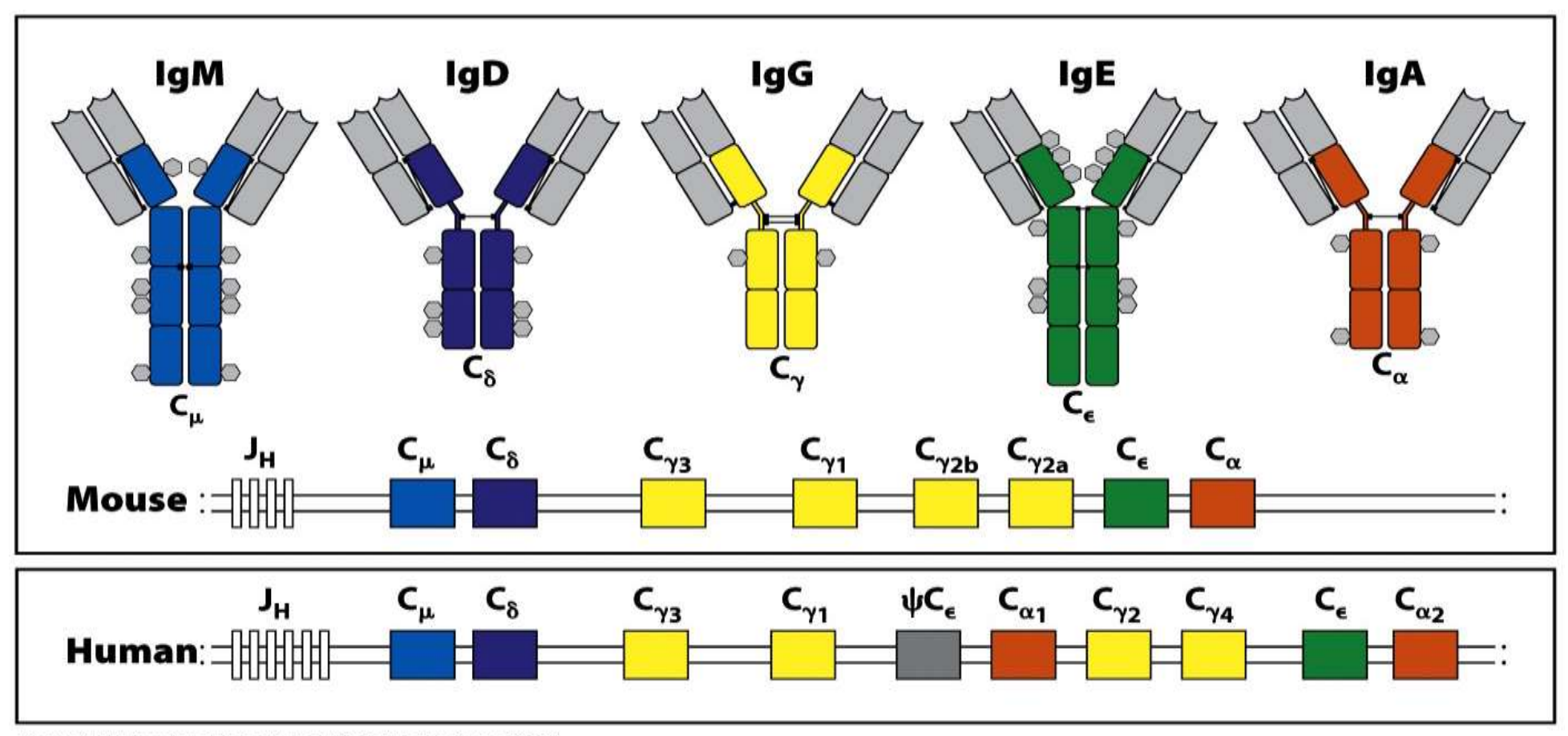
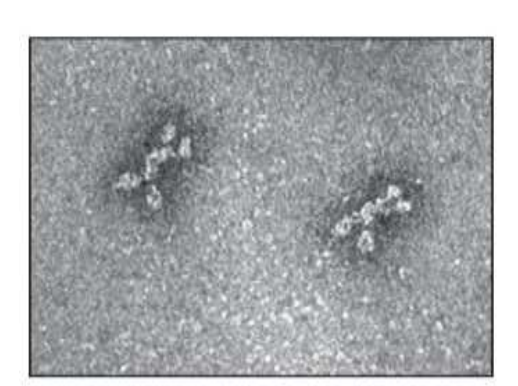
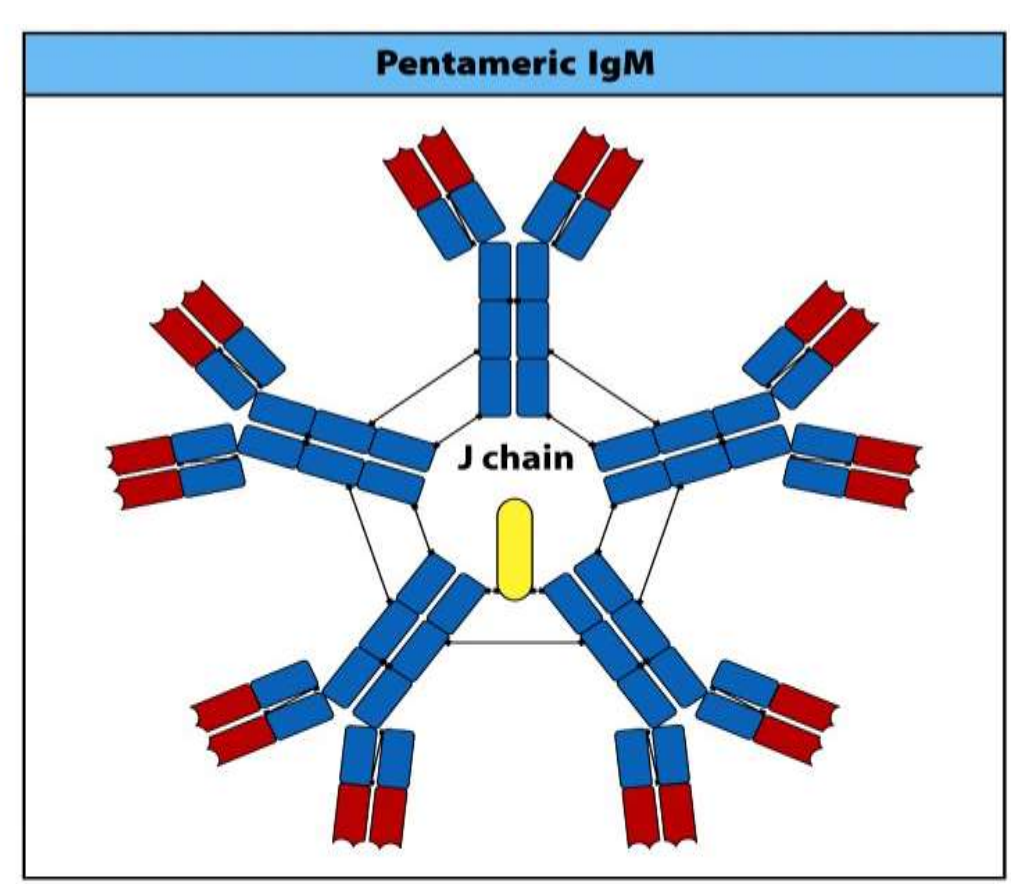


Figure 4-17 Immunobiology, 7ed. (© Garland Science 2008)

IgM pentamérique et IgA dimérique







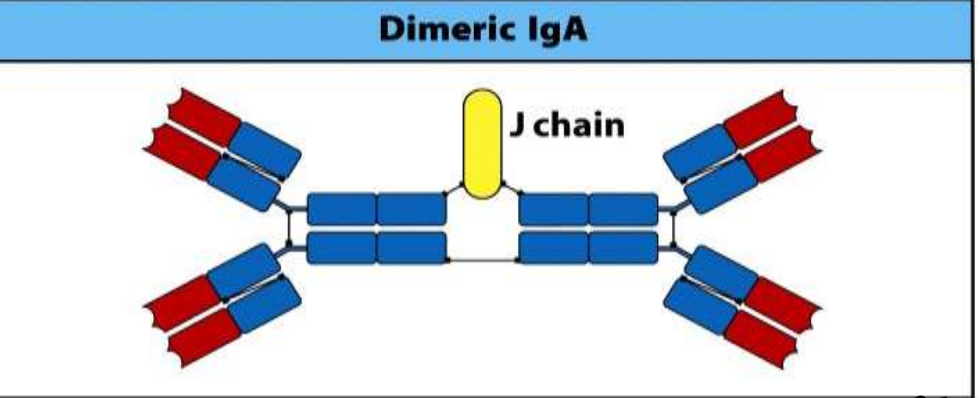


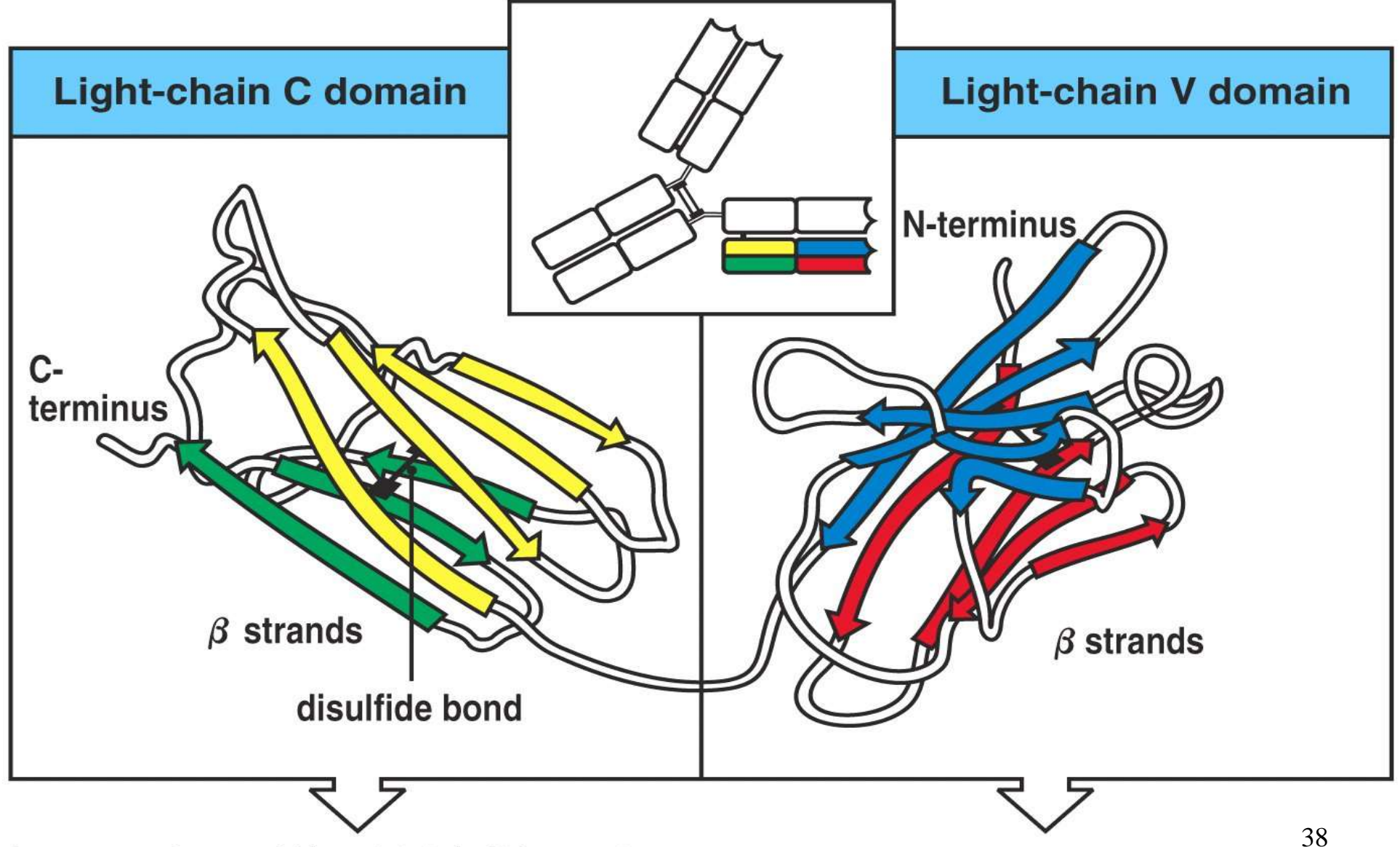
Figure 4-20 Immunobiology, 7ed. (© Garland Science 2008)

Propriétés des isotypes d'immunoglobulines (humaines)

	Immunoglobulin								
	lgG1	lgG2	lgG3	lgG4	IgM	lgA1	lgA2	lgD	lgE
Heavy chain	γ_1	γ_2	γ_3	γ_4	μ	α_1	α_2	δ	ϵ
Molecular weight (kDa)	146	146	165	146	970	160	160	184	188
Serum level (mean adult mg ml ⁻¹)	9	3	1	0.5	1.5	3.0	0.5	0.03	5 x 10 ⁻⁵
Half-life in serum (days)	21	20	7	21	10	6	6	3	2

Figure 4-17 part 1 of 2 Immunobiology, 6/e. (© Garland Science 2005)

Structure de la chaîne légère 1



Structure de la chaîne légère 2

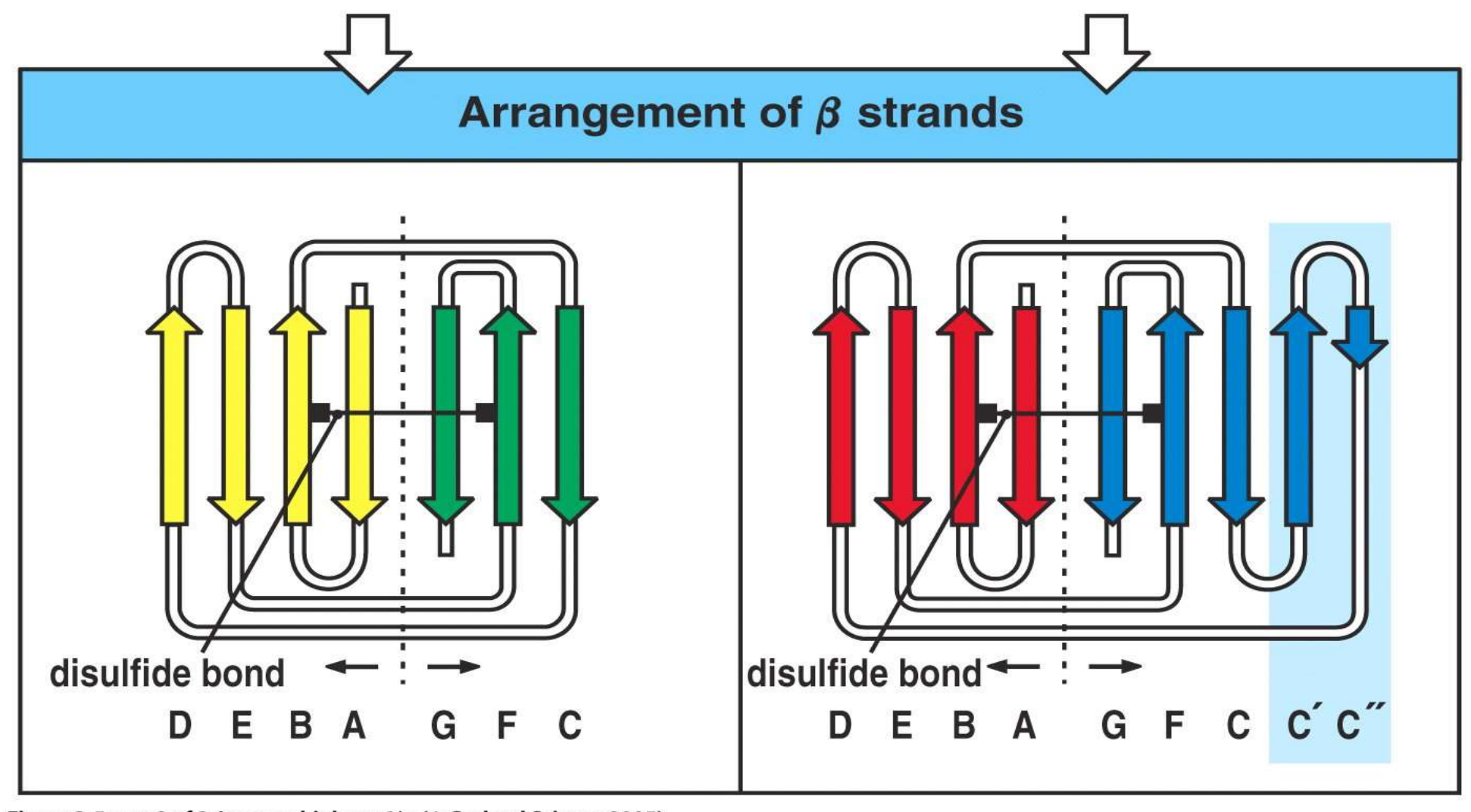
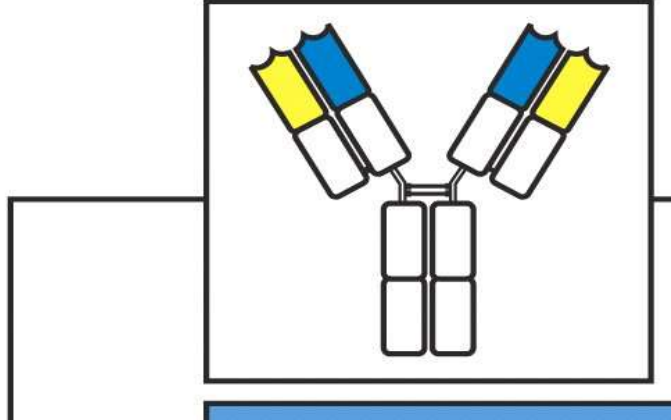
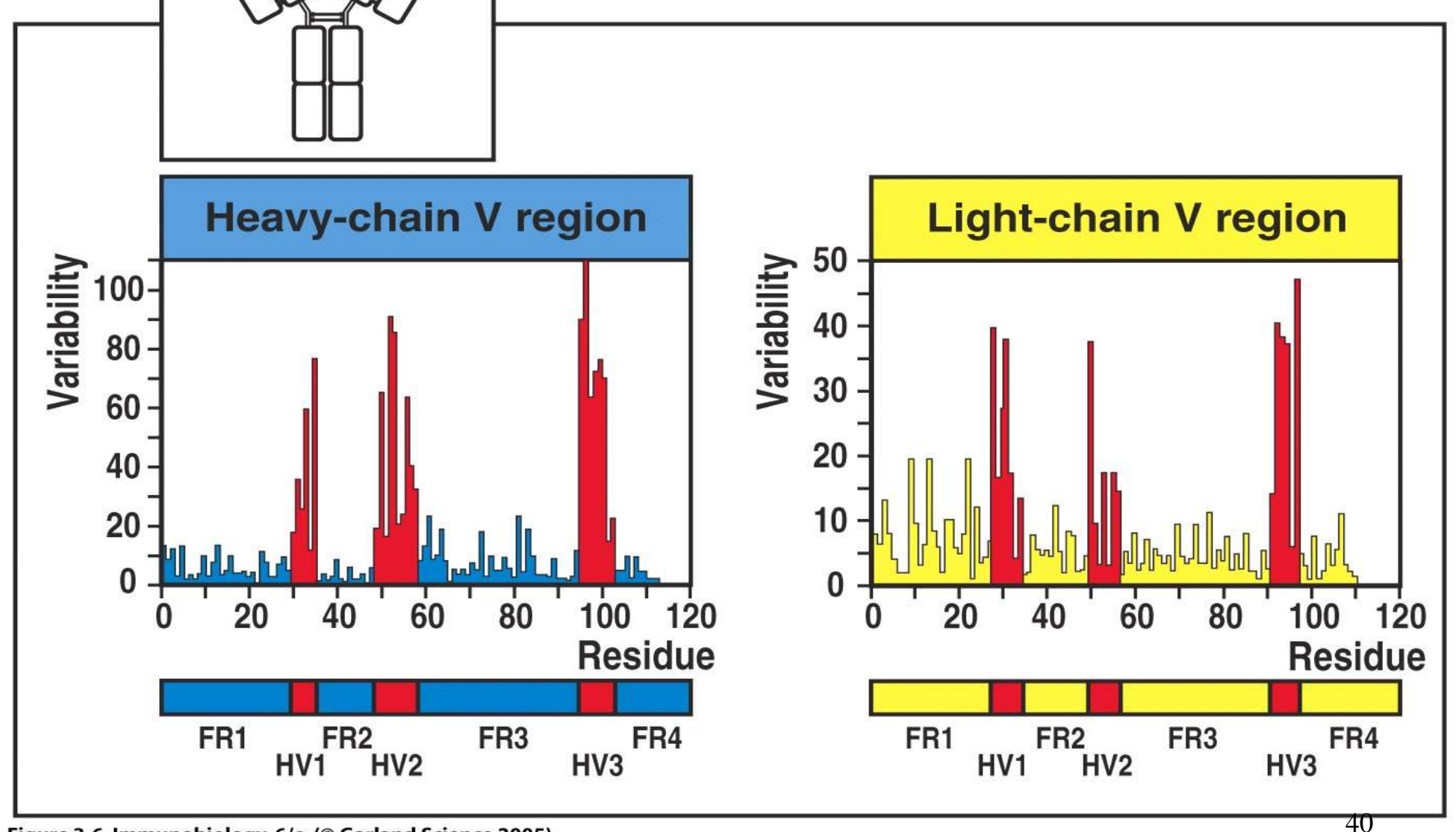
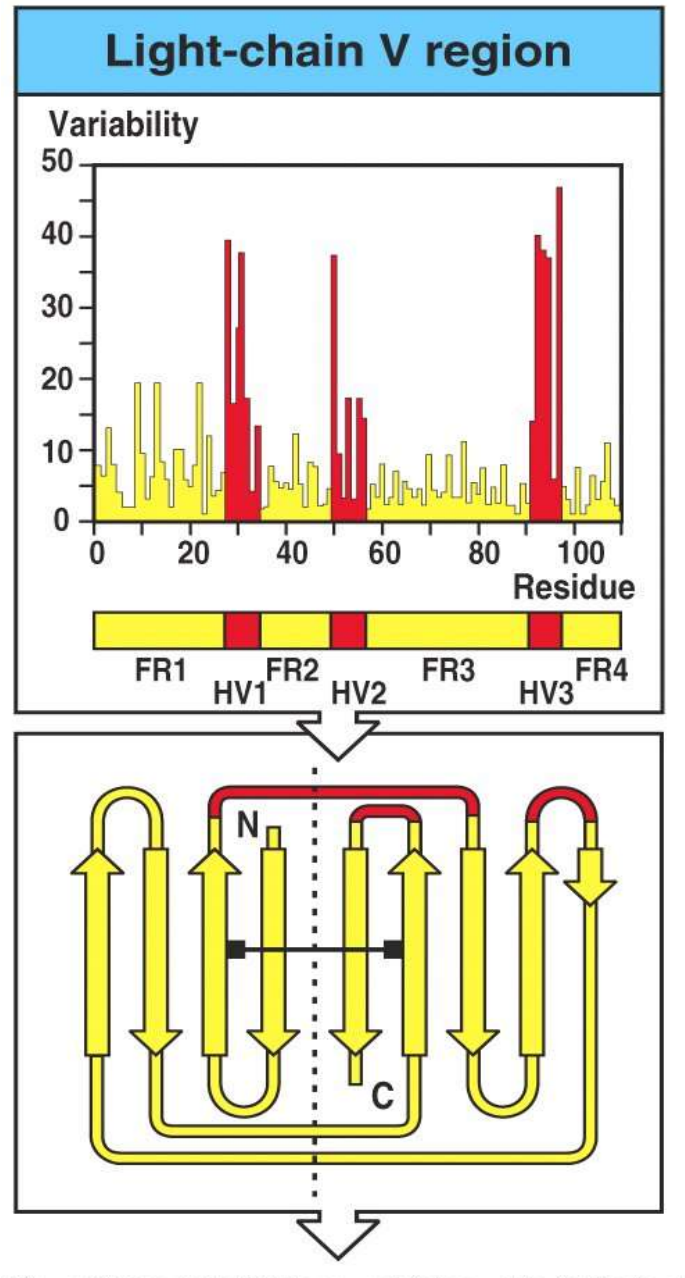


Figure 3-5 part 2 of 2 Immunobiology, 6/e. (© Garland Science 2005)

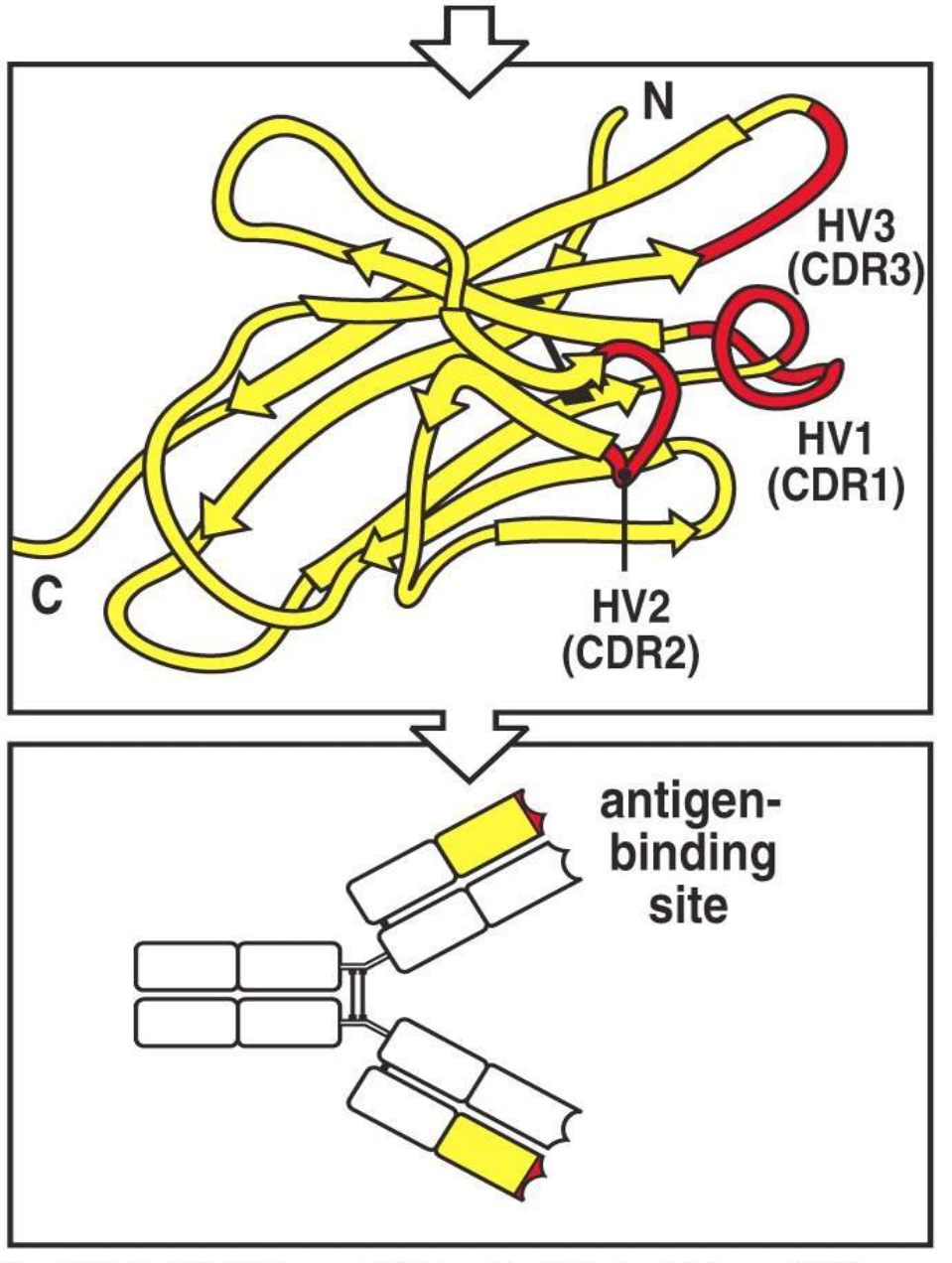


Variabilité inhomogène dans les domaines V





Les 3 régions hypervariables (HV) d'une domaine V de la chaîne légère



Les 3 boucles
hypervariables (HV) –
complementarity
determining regions
(CDR) d'une chaîne légère

Figure 3-7 part 2 of 2 Immunobiology, 6/e. (© Garland Science 2005)

Complémentarité entre anticorps et antigène

(paratope et épitope)

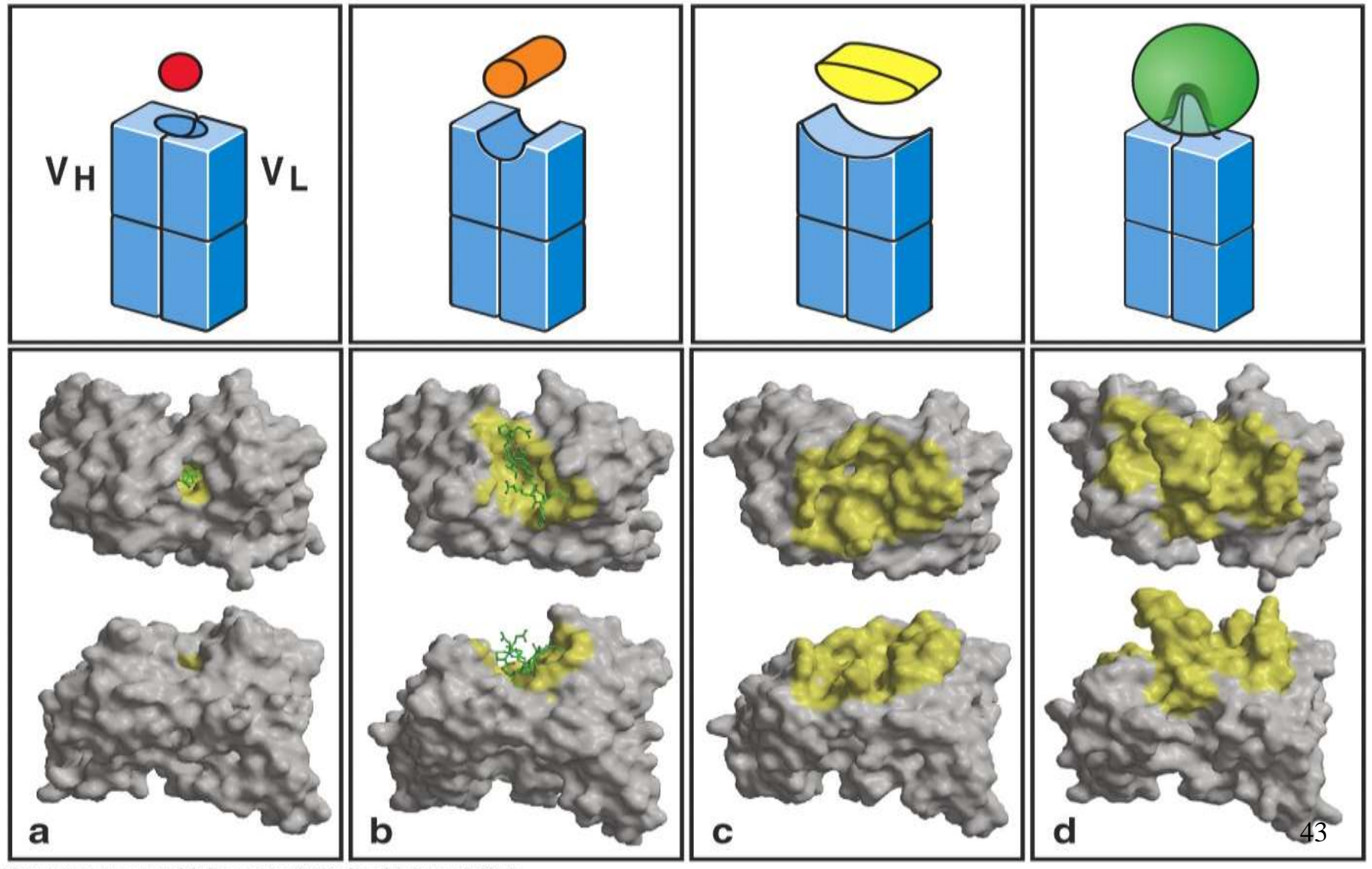
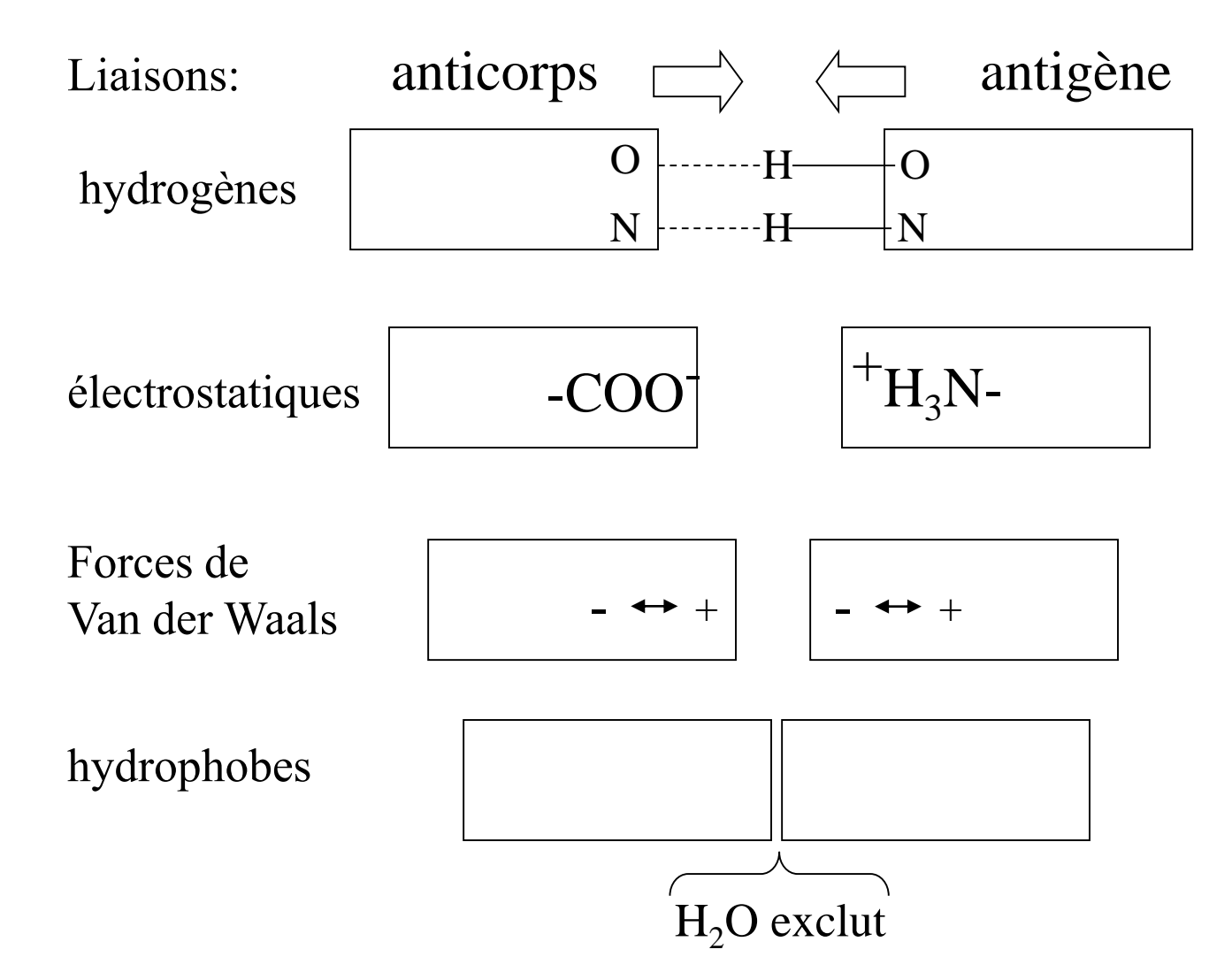
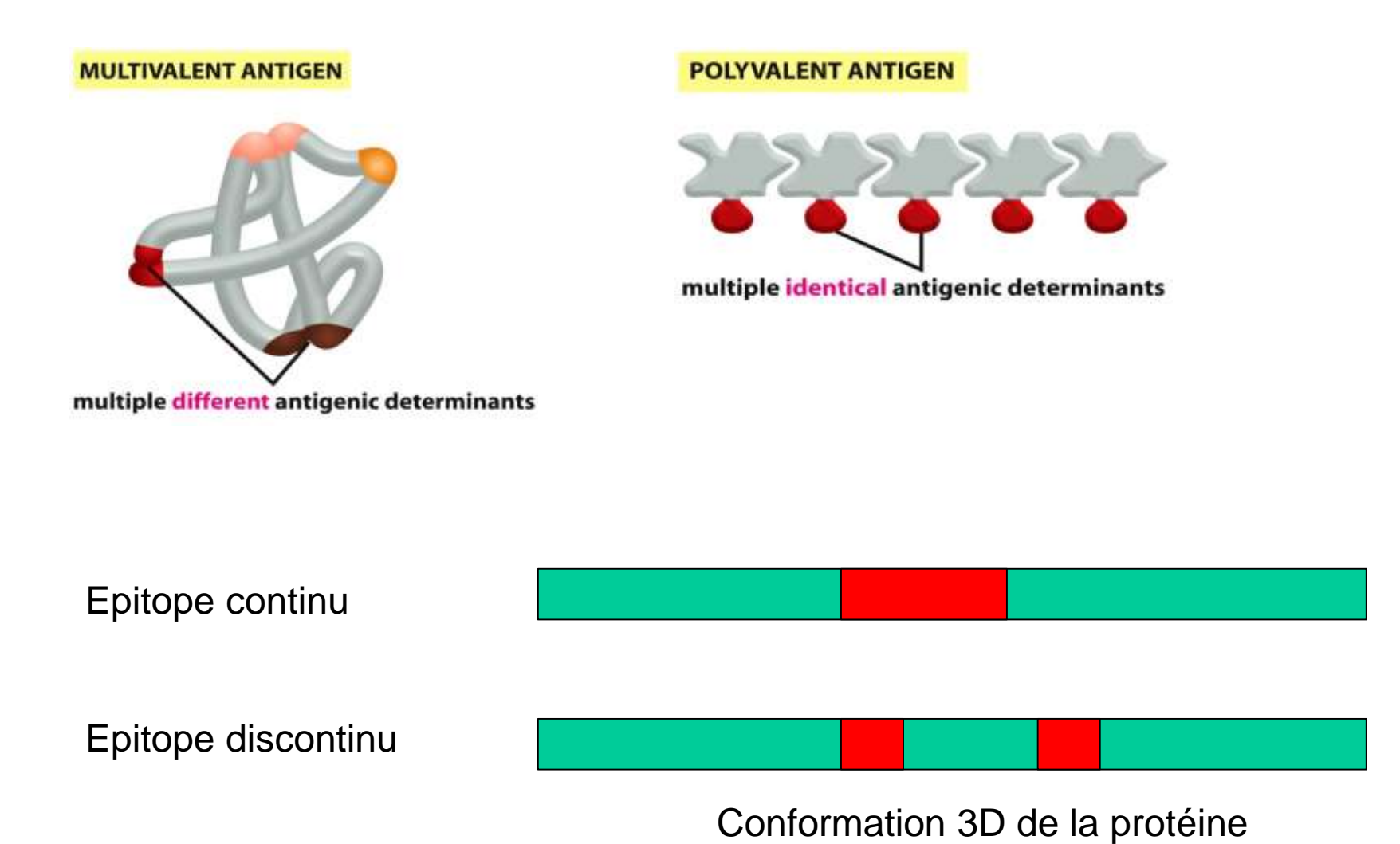


Figure 3-8 Immunobiology, 6/e. (© Garland Science 2005)

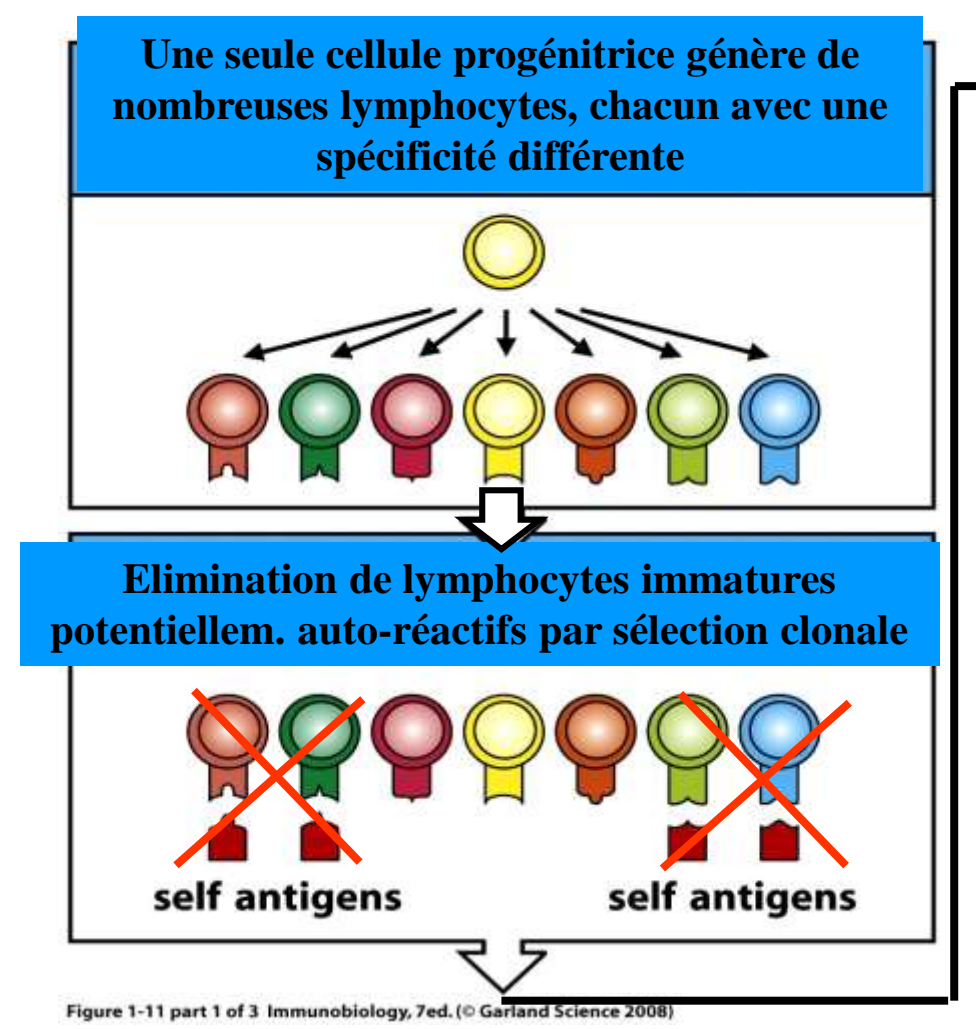
4 Forces d'interaction anticorps - antigène



Les antigènes sont reconnus au niveau d'épitopes ou déterminants antigéniques



La théorie de la sélection clonale



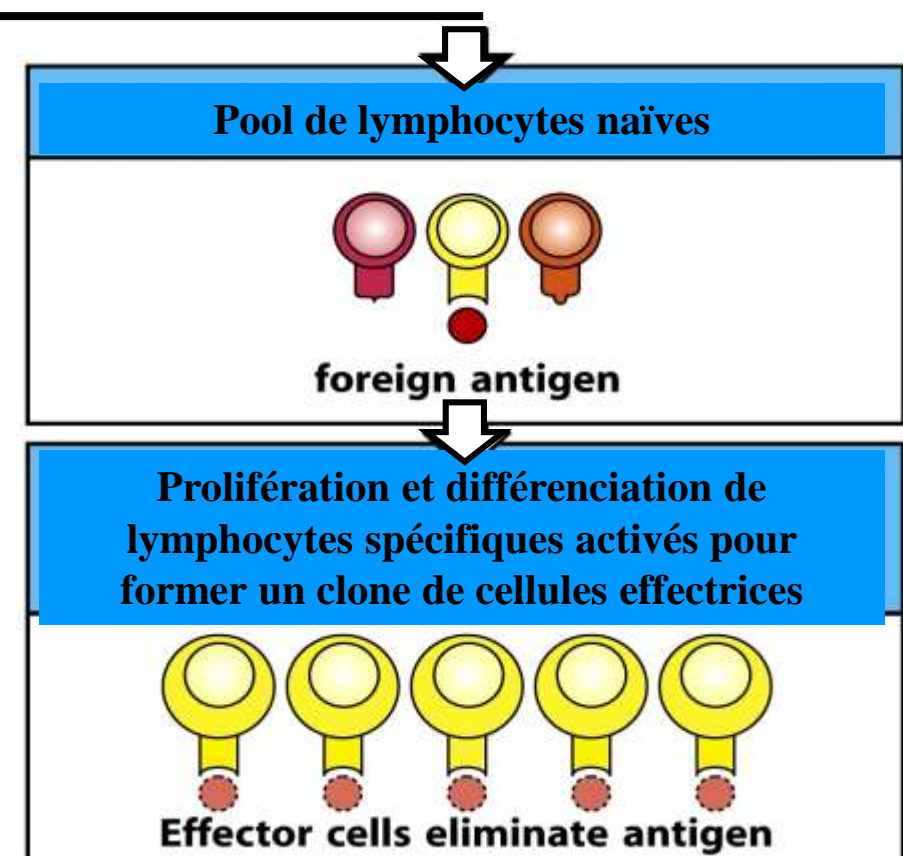
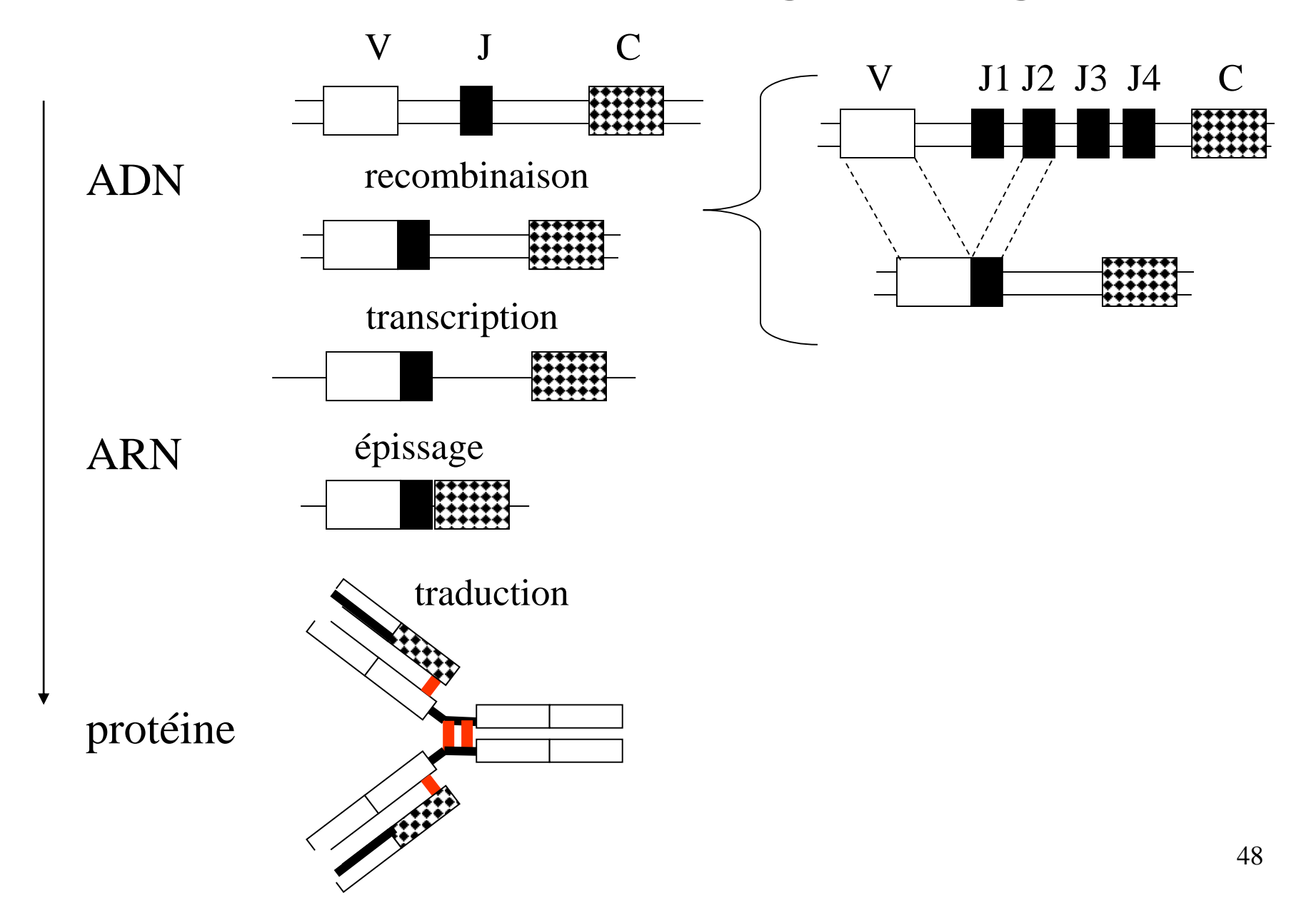


Figure 1-11 part 3 of 3 Immunobiology, 7ed. (© Garland Science 2008)

Les postulats de l'hypothèse de la sélection clonale

- Chaque lymphocyte porte un seul type de récepteur ayant une spécificité unique.
- Une interaction de forte affinité entre une molécule étrangère et le récepteur de l'antigène d'un lymphocyte conduit à la prolifération du lymphocyte.
- Les cellules effectrices dérivant d'un lymphocyte activé portent des récepteurs de l'antigène de spécificité identique à celle des récepteur de ce lymphocyte parental.
- Les lymphocytes exprimant des récepteurs spécifiques de molécules ubiquitaires du soi sont éliminés à un stade précoce du développement et sont donc absents du répertoire des lymphocytes matures.

Recombinaison des gènes d'Ig



Organisation des gènes des immunoglobulines humaines (chromosome 22, 2, 14)

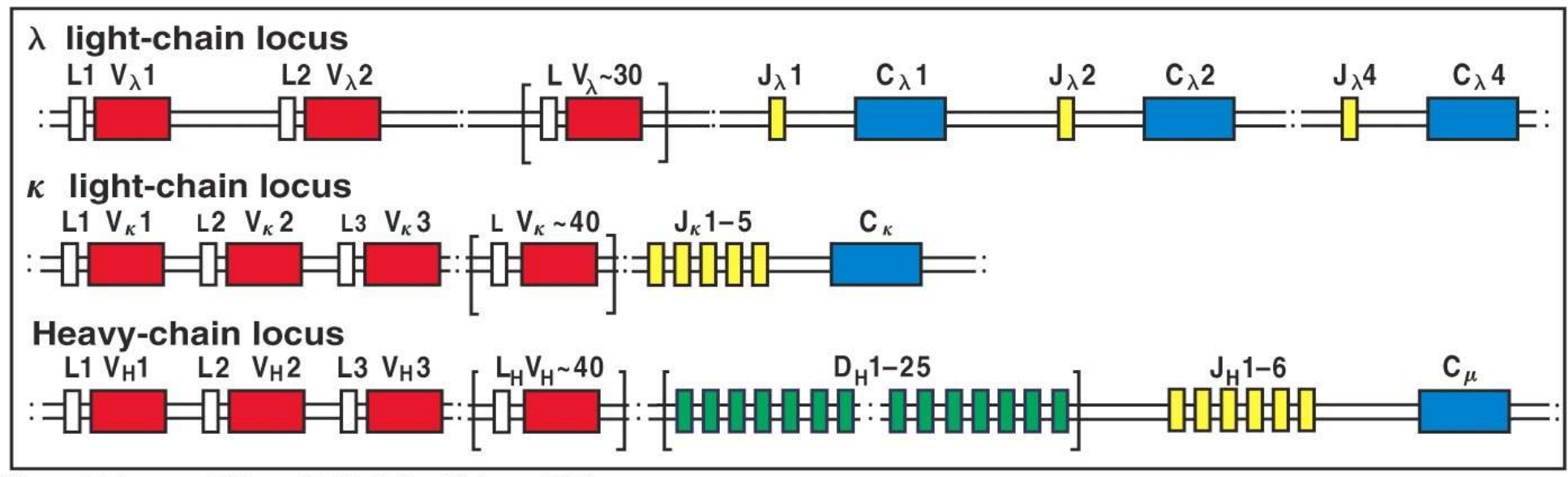


Figure 4-4 Immunobiology, 6/e. (© Garland Science 2005)

Nombre de segments fonctionnels de gènes dans les loci des immunoglobulines humaines

Segment	Lig cha	Heavy chain		
	κ	λ	Н	
Variable (V)	40	30	40	
Diversity (D)	0	0	25	
Joining (J)	5	4	6	

Figure 4-3 Immunobiology, 6/e. (© Garland Science 2005)

Chaîne légère : 40*5 + 30* 4= 320 possibilités

Chaîne lourde : 40*25*6= 6000 possibilités

La règle 12/23 dans la recombinaison des segments VJ et VDJ

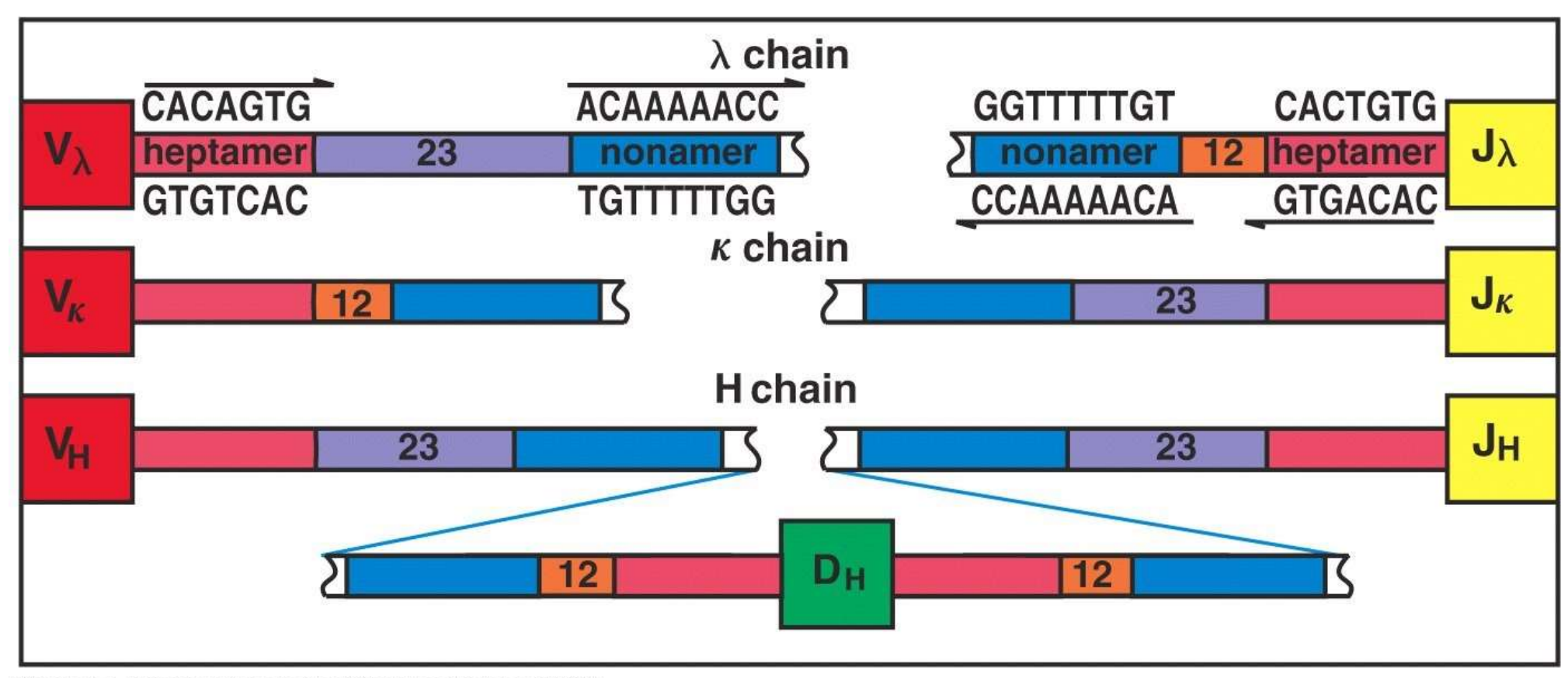


Figure 4-5 Immunobiology, 6/e. (© Garland Science 2005)

Le mécanisme de recombinaison dépend de l'orientation des gènes

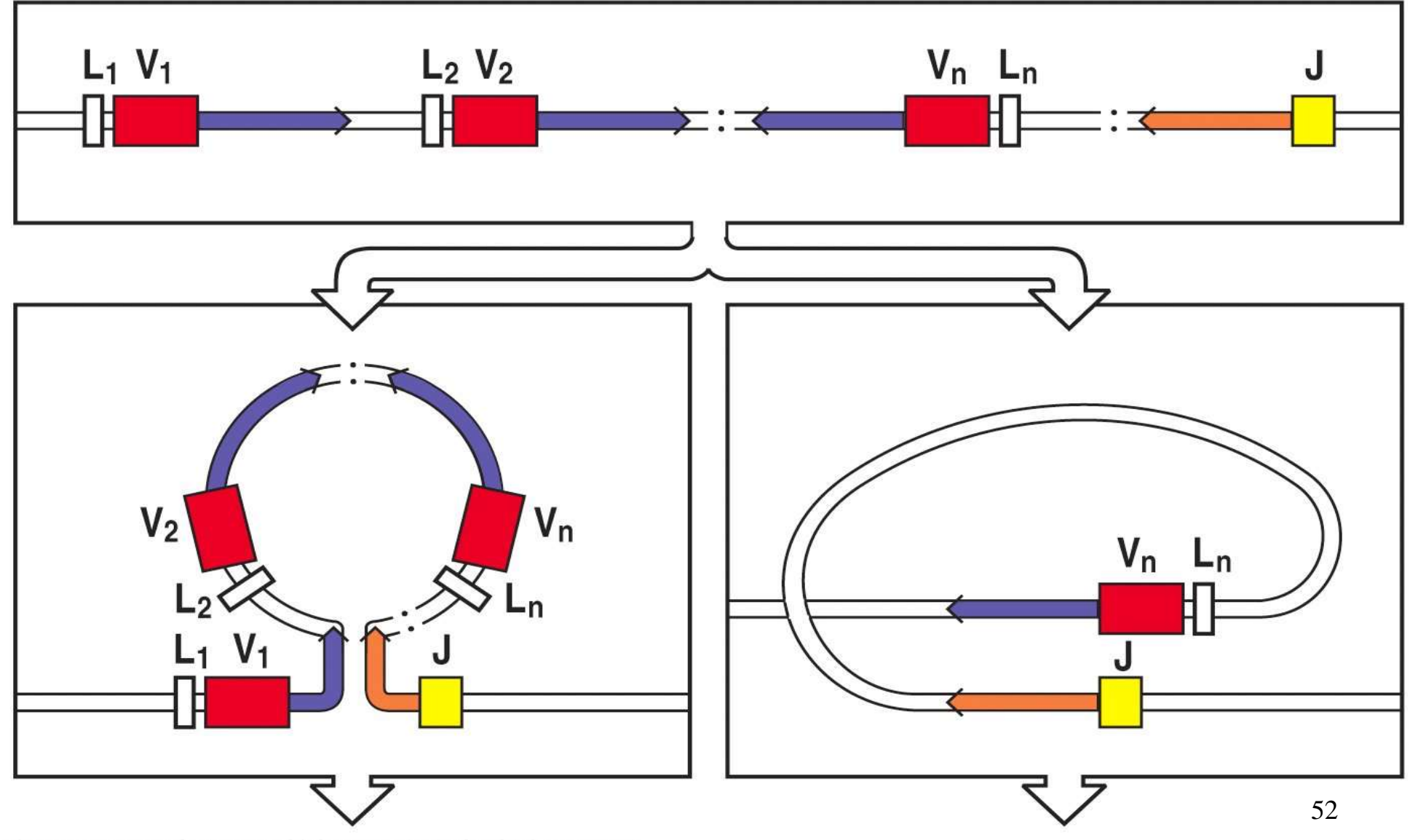


Figure 4-6 part 1 of 2 Immunobiology, 6/e. (© Garland Science 2005)

// réorganisation complexe « Looping out » V_2 V_n $L_n V_n J$

Figure 4-6 part 2 of 2 Immunobiology, 6/e. (© Garland Science 2005)

Diversité des immunoglobulines et du TCR

Element	Immuno	globulin	α:β T-cell receptors		
Licinom	Н	κ+λ	β	α	
Variable segments (V)	40	70	52	~70	
Diversity segments (D)	25	0	2	0	
D segments read in three frames	rarely	-	often		
Joining segments (J)	6	5(κ) 4(λ)	13	61	
Joints with N- and P-nucleotides	2	50% of joints	2	1	
Number of V gene pairs	1.9	x 10 ⁶	5.8 x 10 ⁶		
Junctional diversity	~3)	10 ⁷	~2 x 10 ¹¹		
Total diversity	~5 x	10 ¹³	~10 ¹⁸		

Figure 4-13 Immunobiology, 6/e. (© Garland Science 2005)

Hypermutation somatique

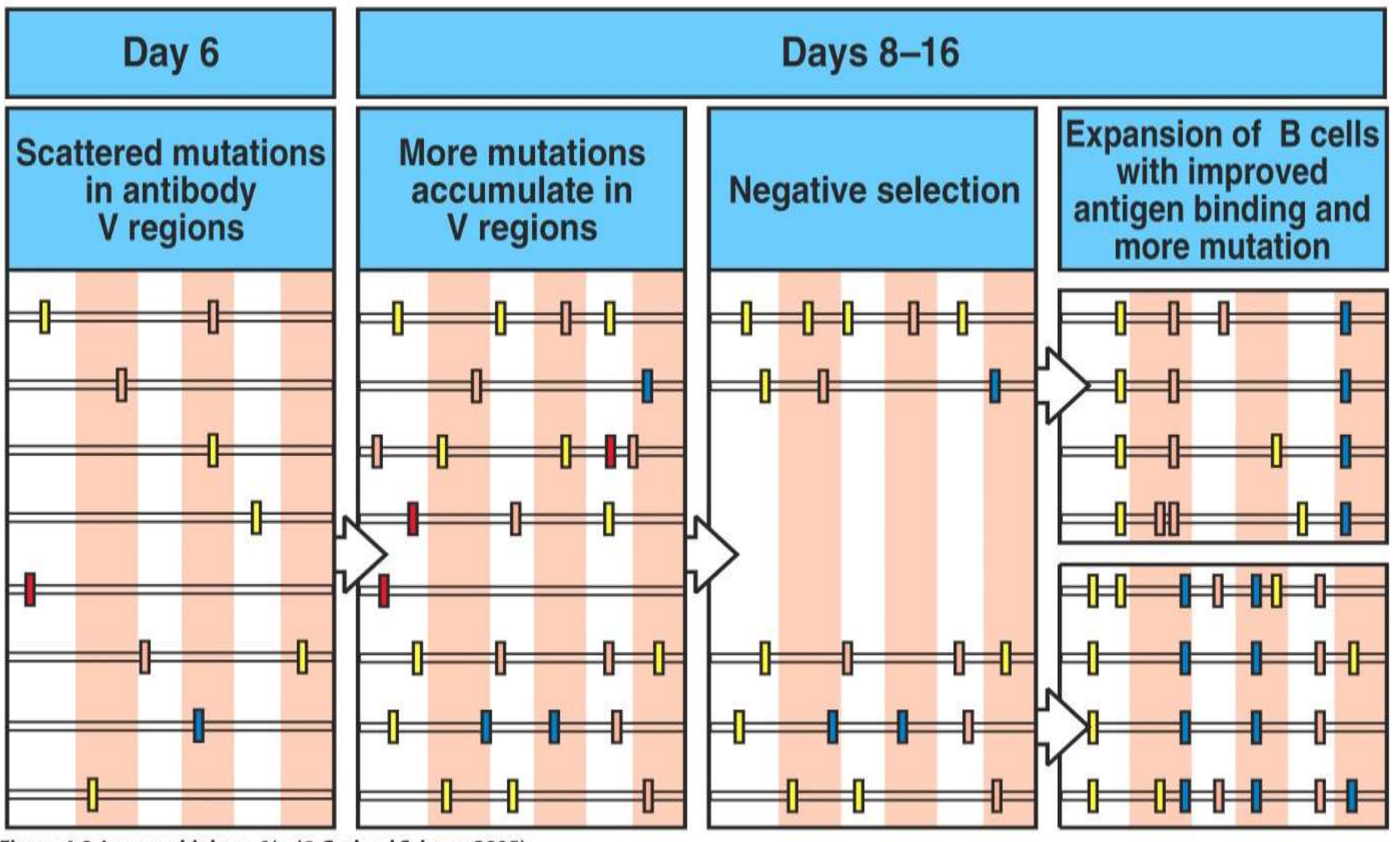
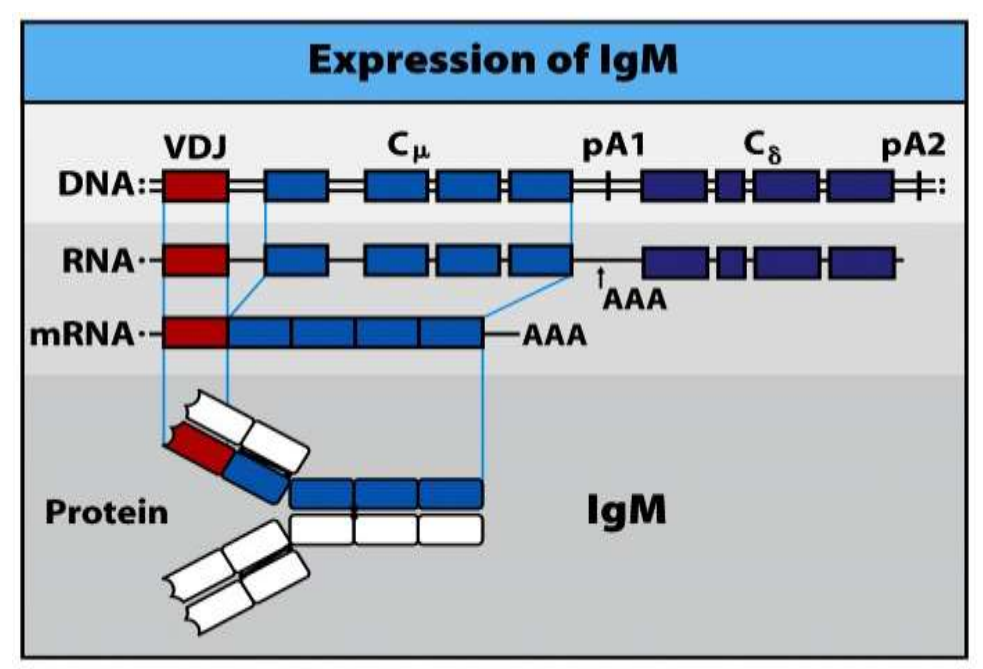


Figure 4-9 Immunobiology, 6/e. (© Garland Science 2005)

Mutations des gènes d'Ig dans 8 clones (lignes) de L_B : silencieuses (jaune), neutre (rose), délétères (rouge) ou positives (bleu)

Co-expression IgM et IgD par épissage alternative



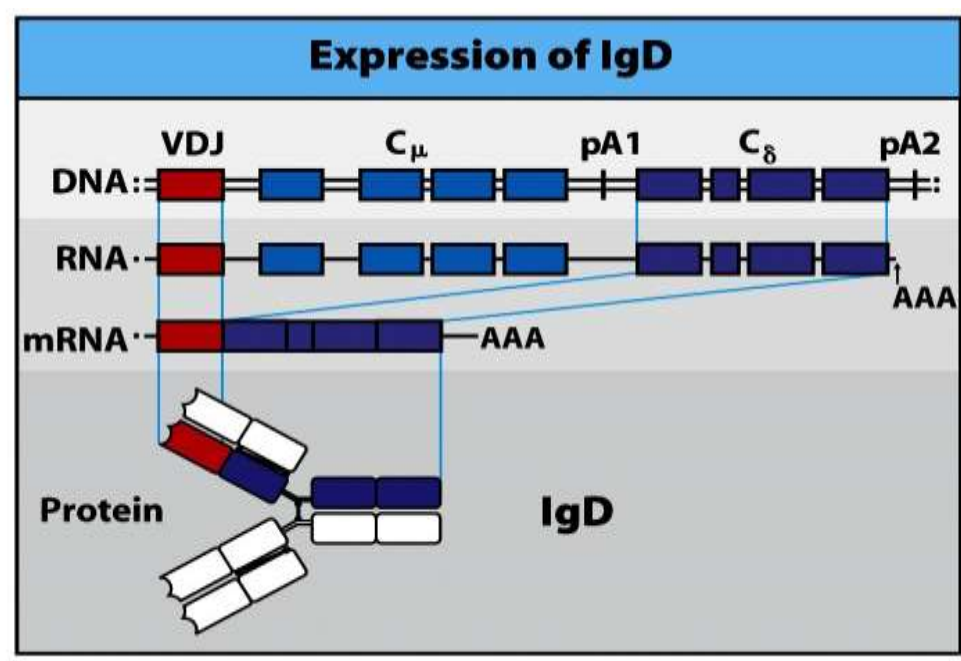
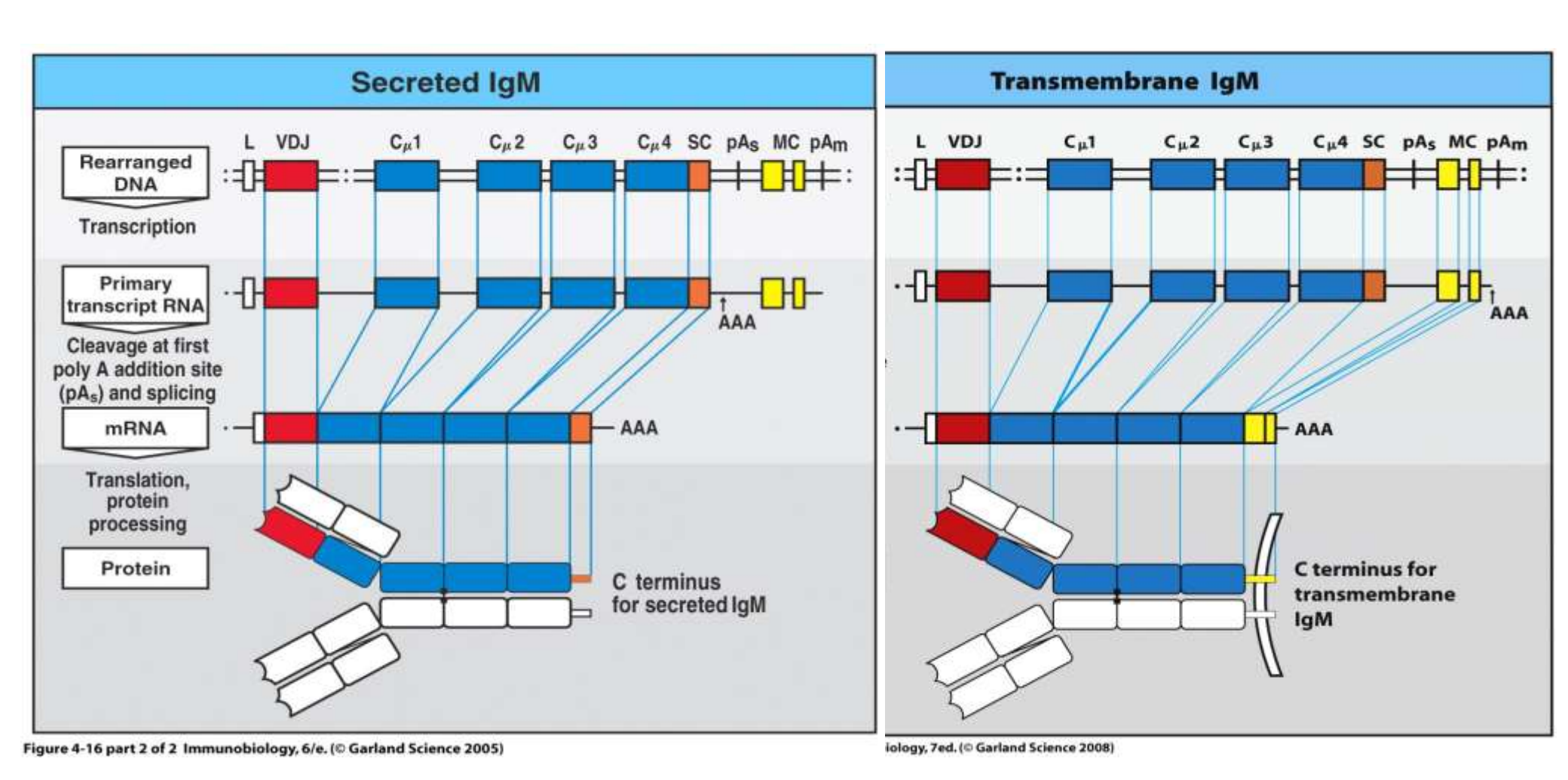


Figure 4-18 Immunobiology, 7ed. (© Garland Science 2008)

Par contre,

Le changement de classe (isotype switching) vers IgG, IgA ou IgE dépend de recombinaison ADN (irréversible).

Immunoglobulines transmembranaires (BCR) ou secrétées, épissage alternative



57

Quantité et affinité des anticorps augmentent par immunisation répétée

Ex.: simple ou double vaccination contre la grippe

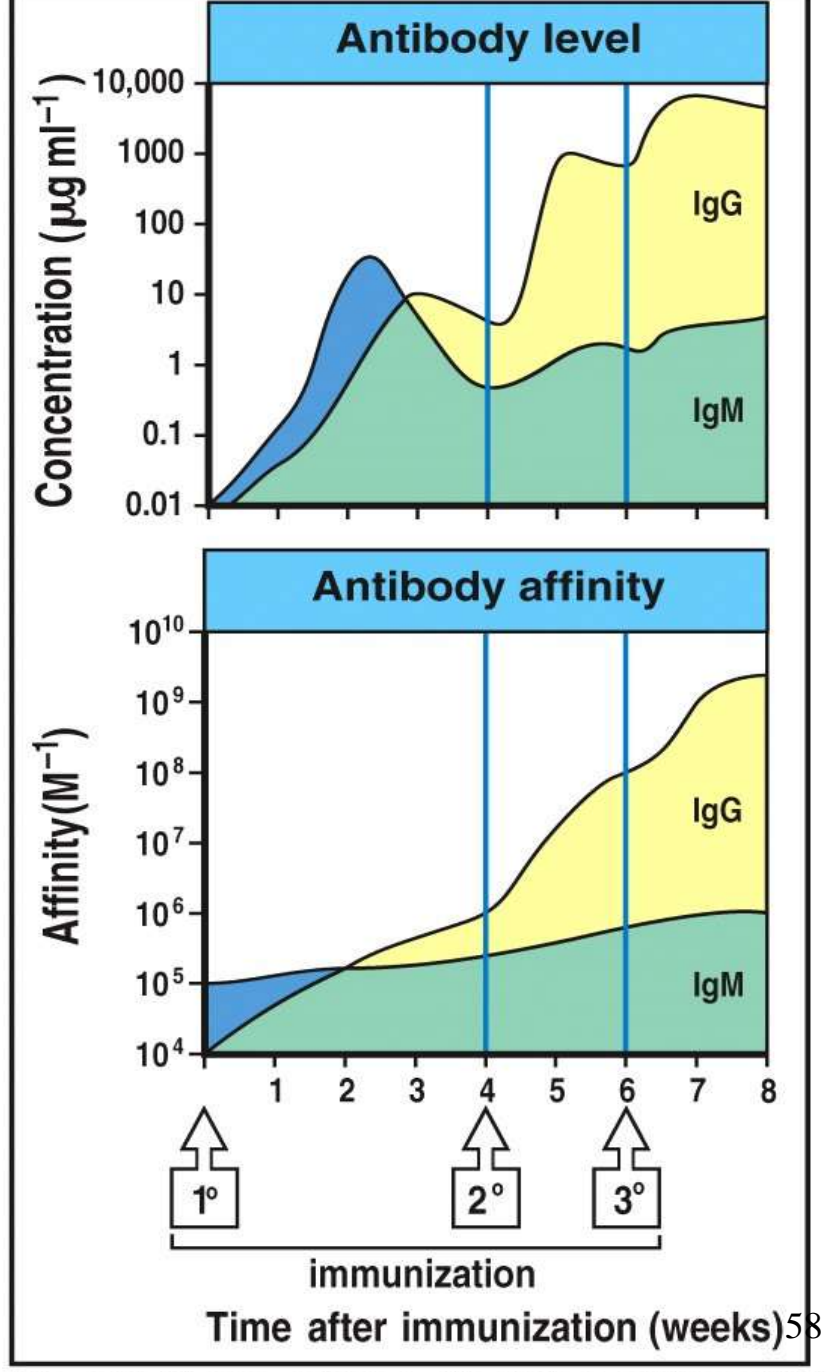


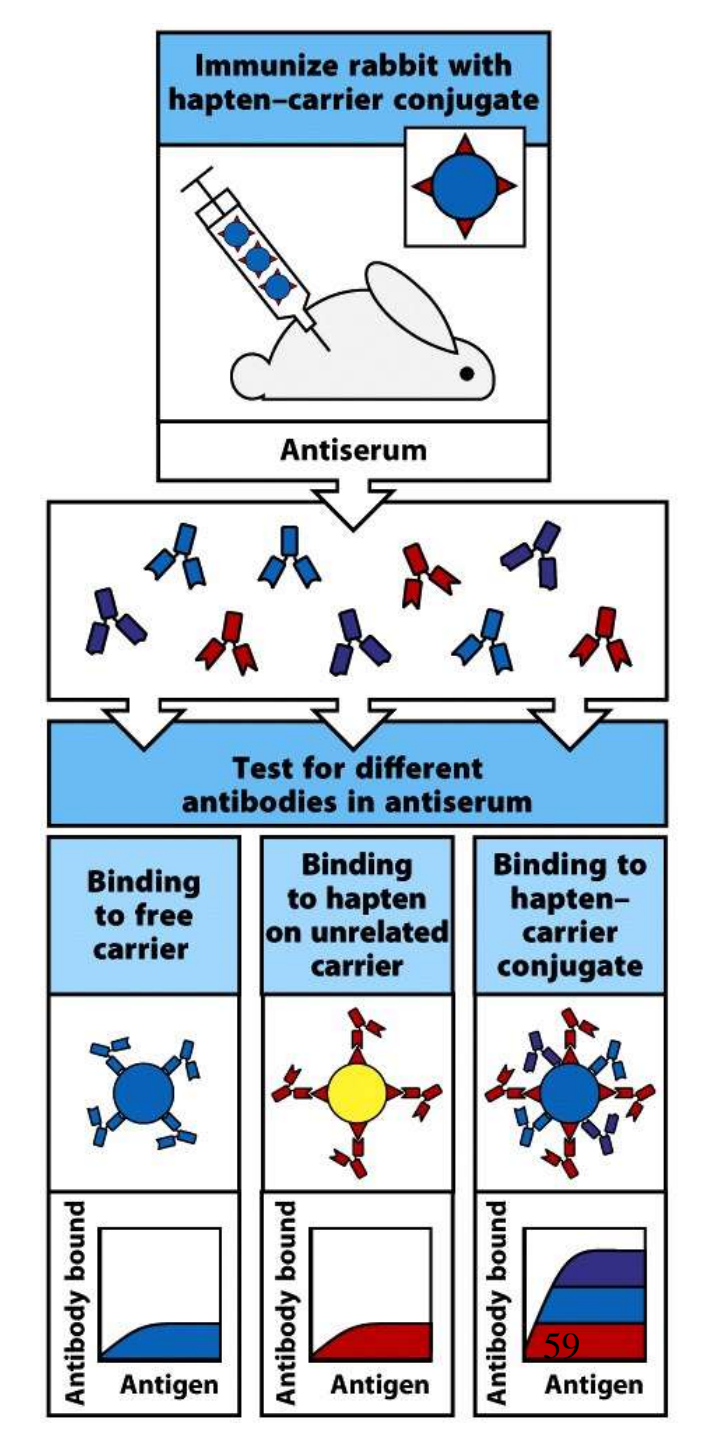
Figure 10-31 Immunobiology, 6/e. (© Garland Science 2005)

Production d'anticorps

- Injection répétée dans l'animal (antigène, haptène et adjuvent)
- récupération du sérum
- test d'efficacité, spécificité, evtlm purification

Anticorps polyclonal

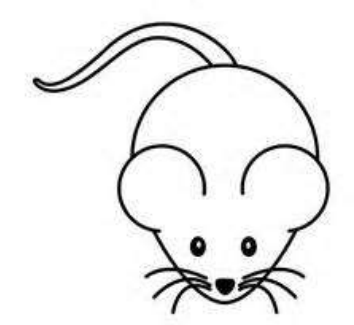
Haptène - antigène non-immunogénique Carrier - porteur de hapten qui le rend immunogénique Adjuvent - substance augmentant la réponse immunitaire



Immortaliser des clones produisant l'anticorps de choix

- fusion des plasmocytes de la rate avec cellules immortalisées (myelome)
- sélection des clones (hybridome)
- production (culture des hybridomes)
 et isolation de l'anticorps

Anticorps monoclonal



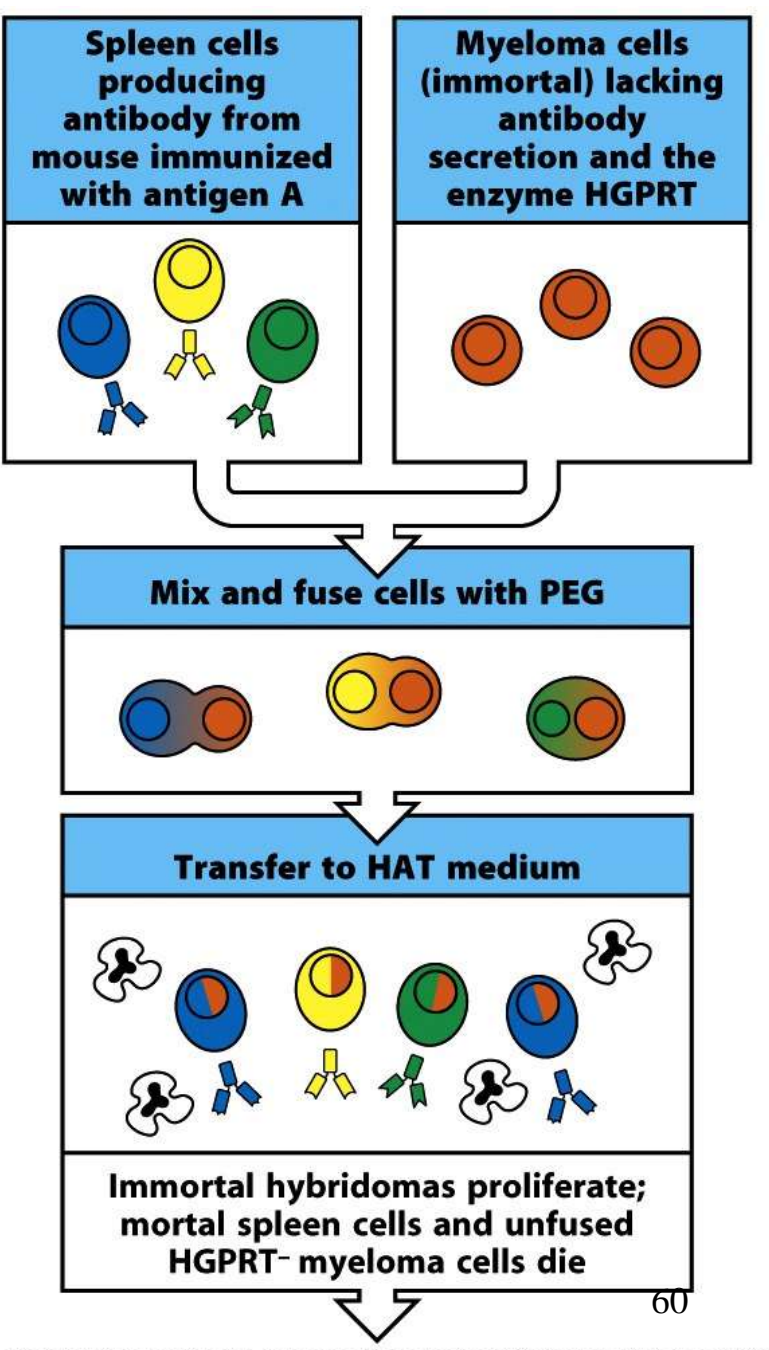


Figure A-15 part 1 of 2 Immunobiology, 7ed. (© Garland Science 2008)

Le BCR

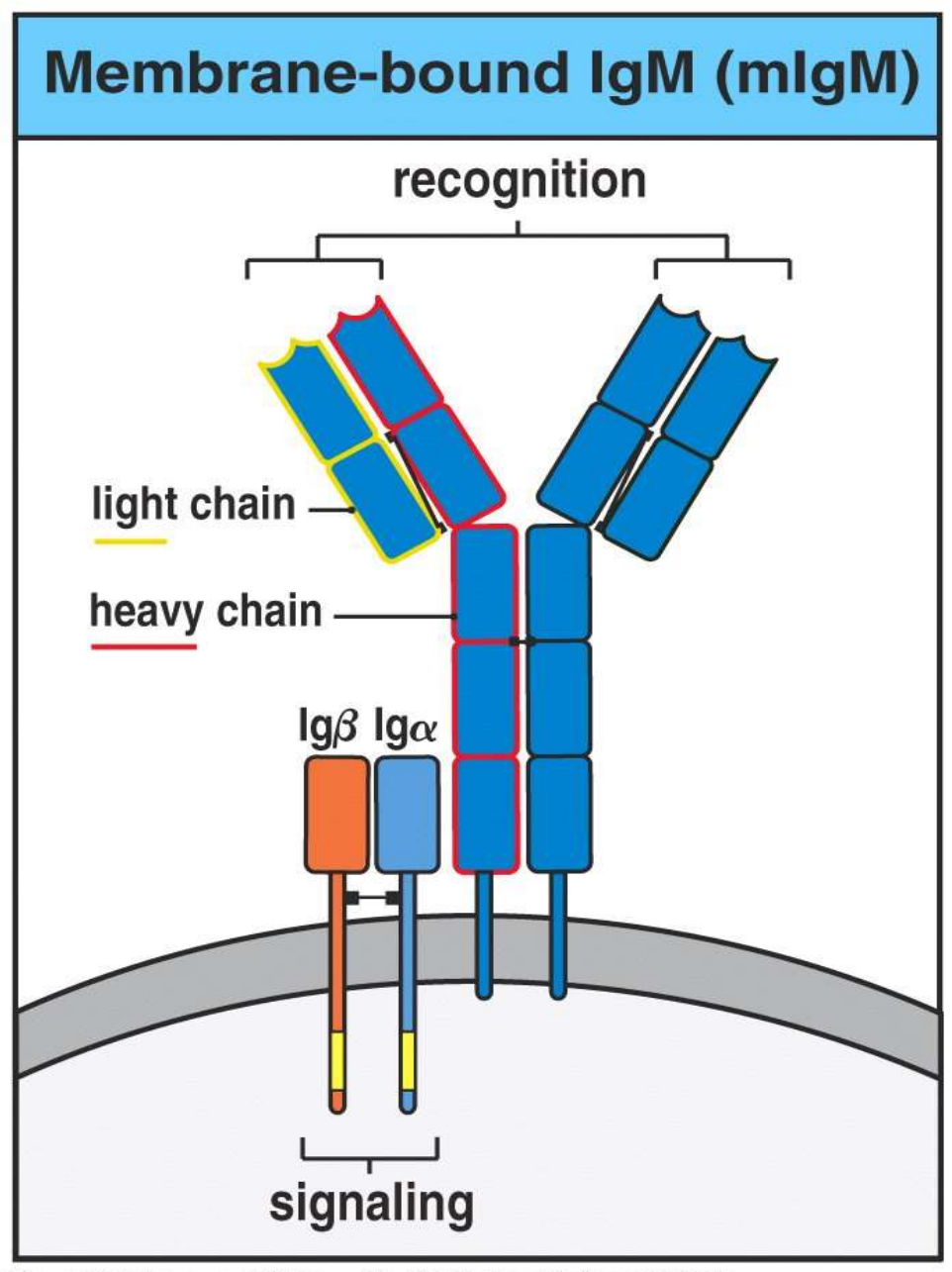


Figure 6-8 Immunobiology, 6/e. (© Garland Science 2005)

Phosphorylation des ITAMs sur le BCR par les kinases de la famille src

Immunoreceptor tyrosine-based activation motifs ITAMs

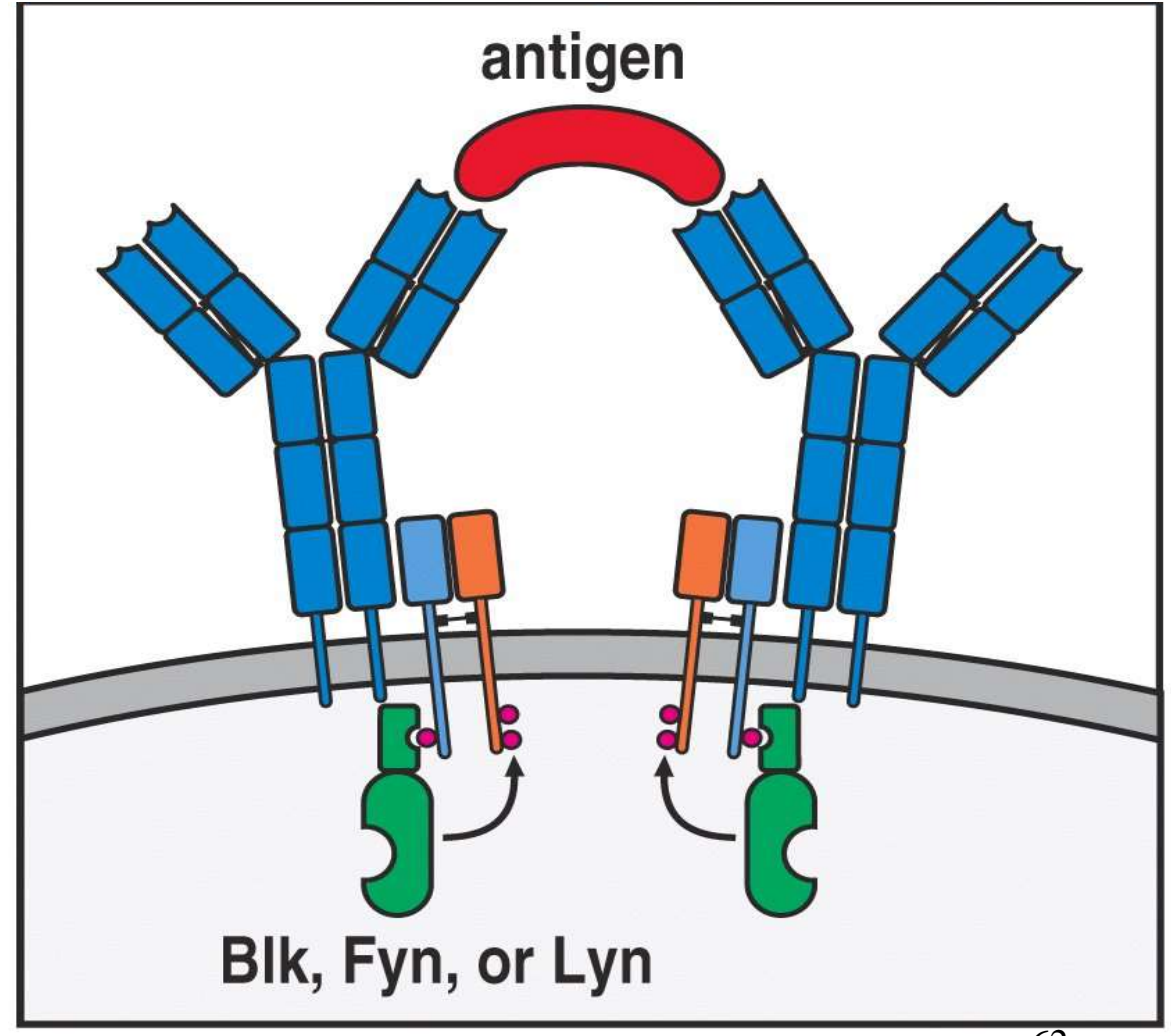


Figure 6-10 Immunobiology, 6/e. (© Garland Science 2005)

Les co-récepteurs du BCR

CD21 lie C3d et s'associe avec le BCR

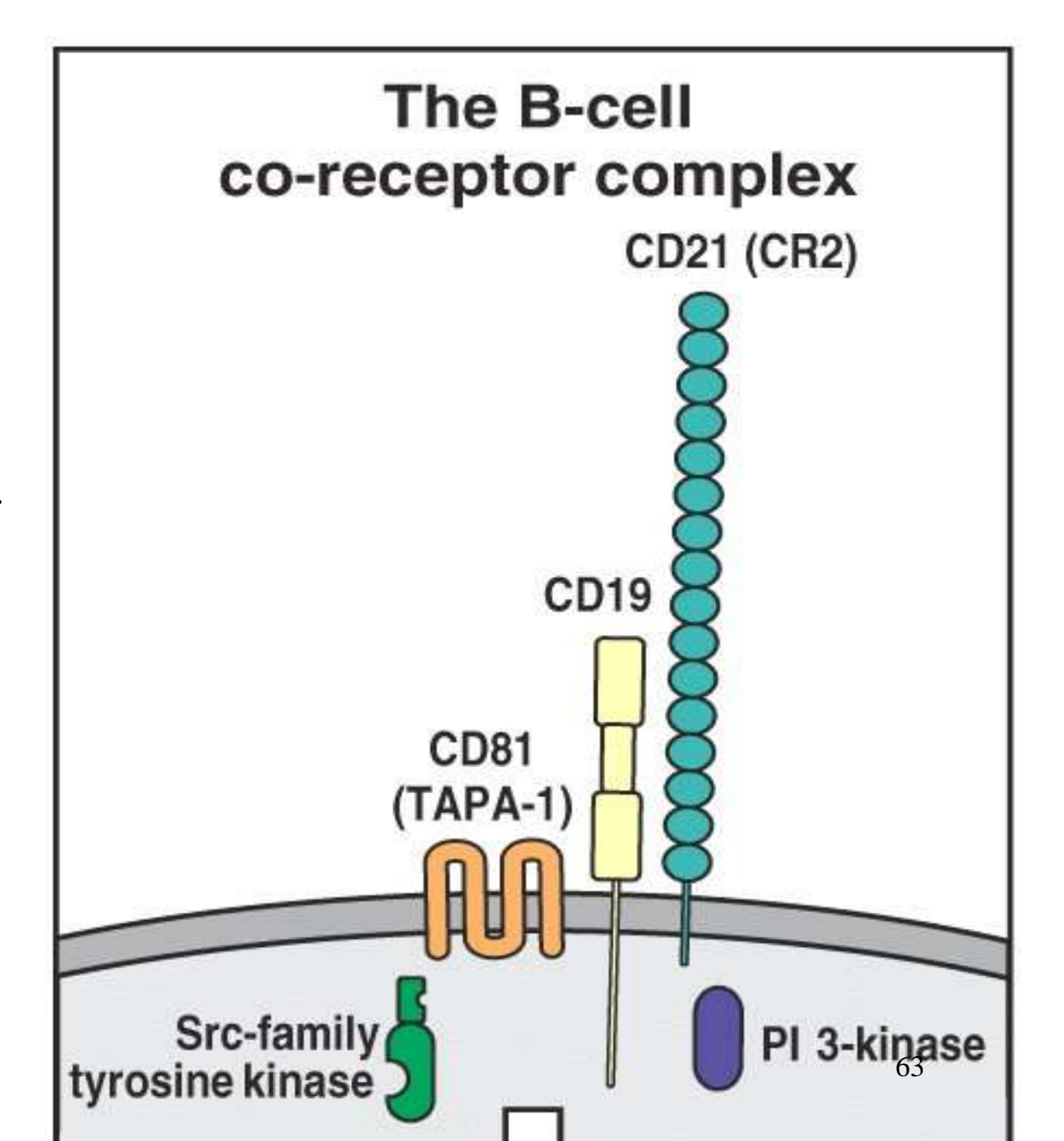


Phosphorylation de CD19 par les kinases associés au BCR



CD19 lie src-kinases et active PI3kinase

Rôle CD81 ??



Capture et présentation d'antigène par le lymphocyte B

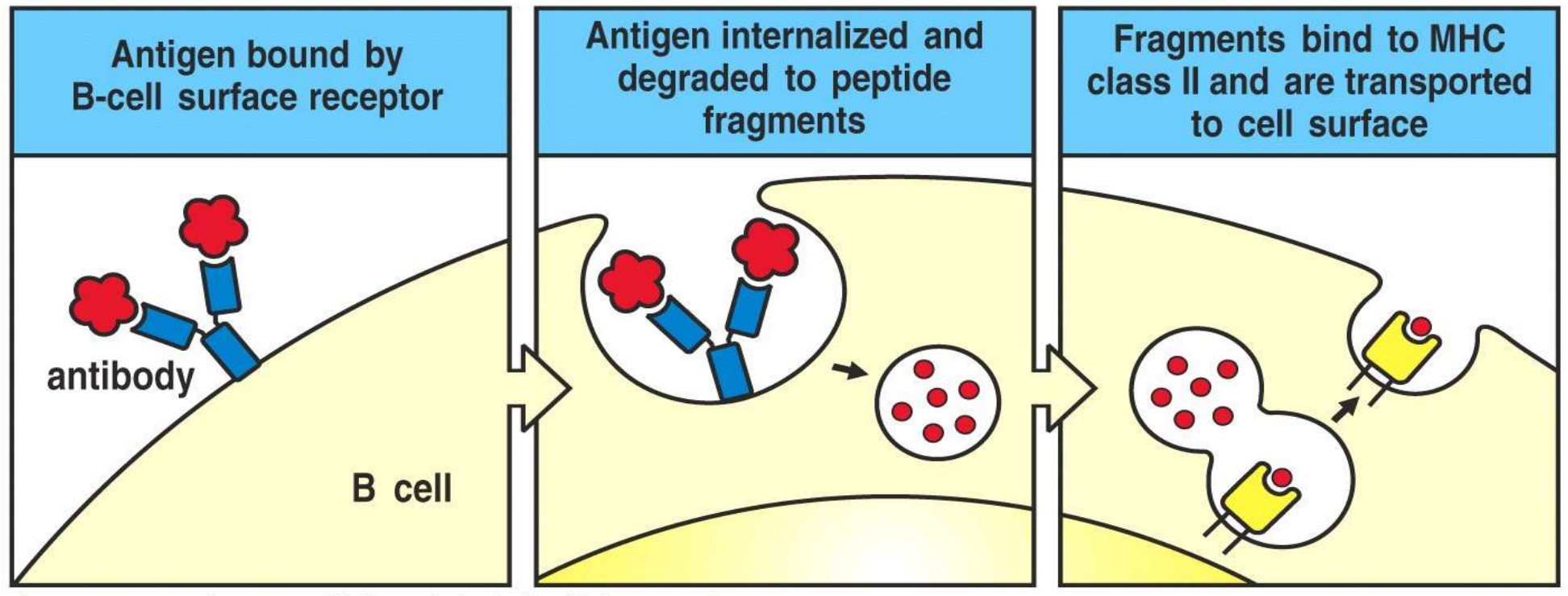


Figure 1-29 part 2 of 2 Immunobiology, 6/e. (© Garland Science 2005)

Production des anticorps

plasmocyte

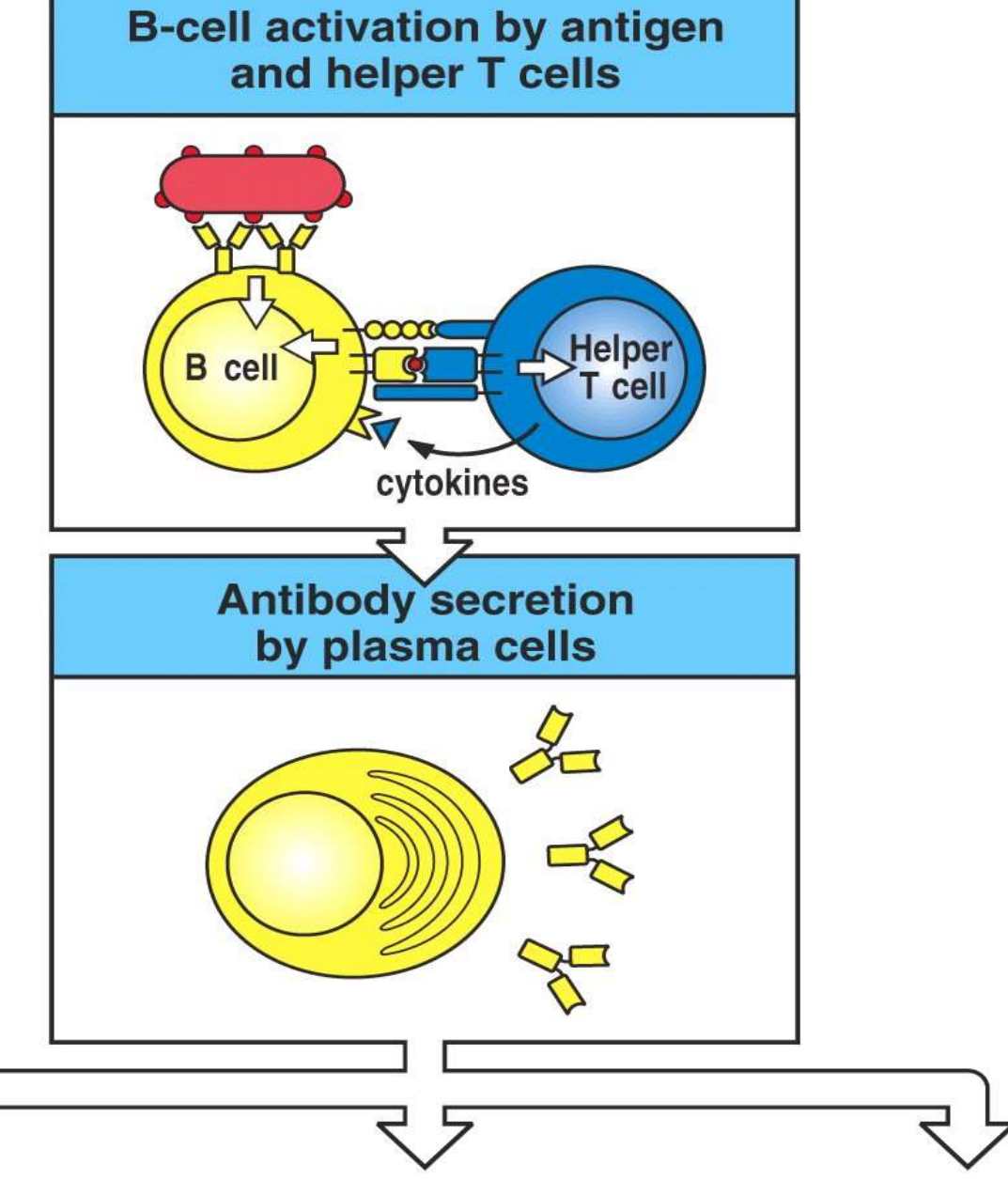


Figure 9-1 part 1 of 2 Immunobiology, 6/e. (© Garland Science 2005)

Destin des lymphocytes B

1. moelle osseuse

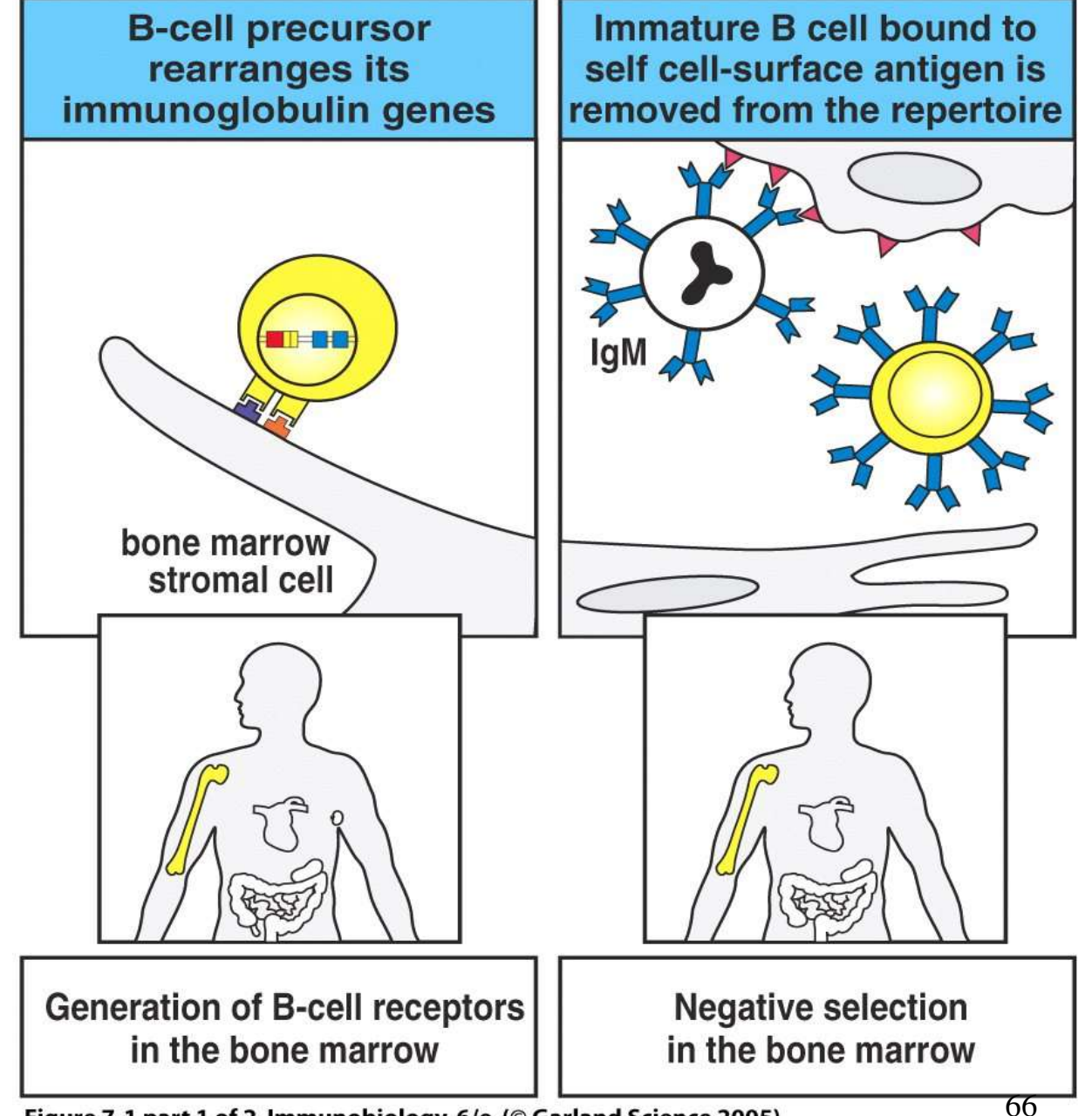


Figure 7-1 part 1 of 2 Immunobiology, 6/e. (© Garland Science 2005)

Destin des lymphocytes B

2. organes Lymphoïdes secondaires

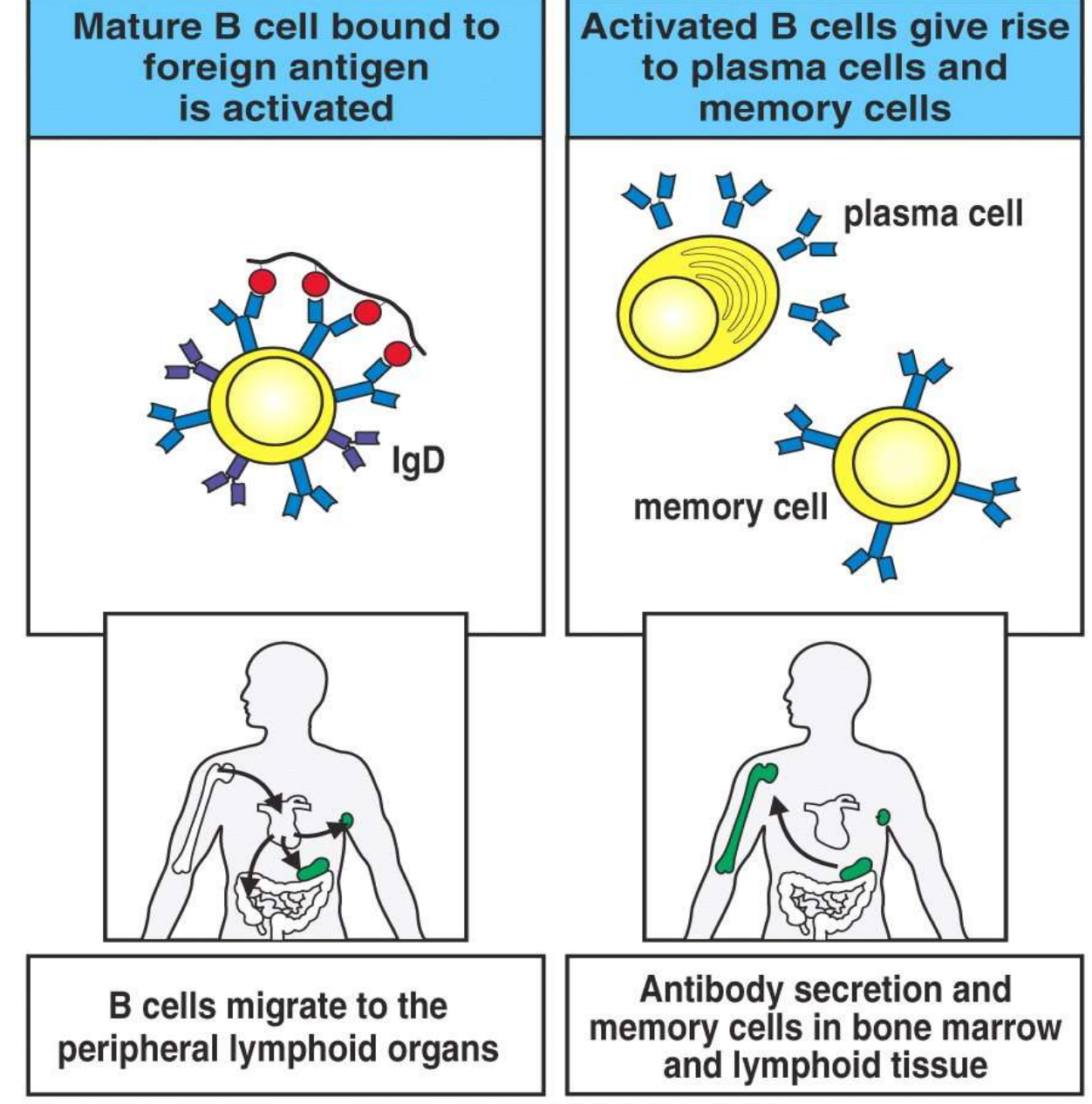


Figure 7-1 part 2 of 2 Immunobiology, 6/e. (© Garland Science 2005)

Réarrangement des gènes d'immunoglobulines pendant la maturation des lymphocytes B

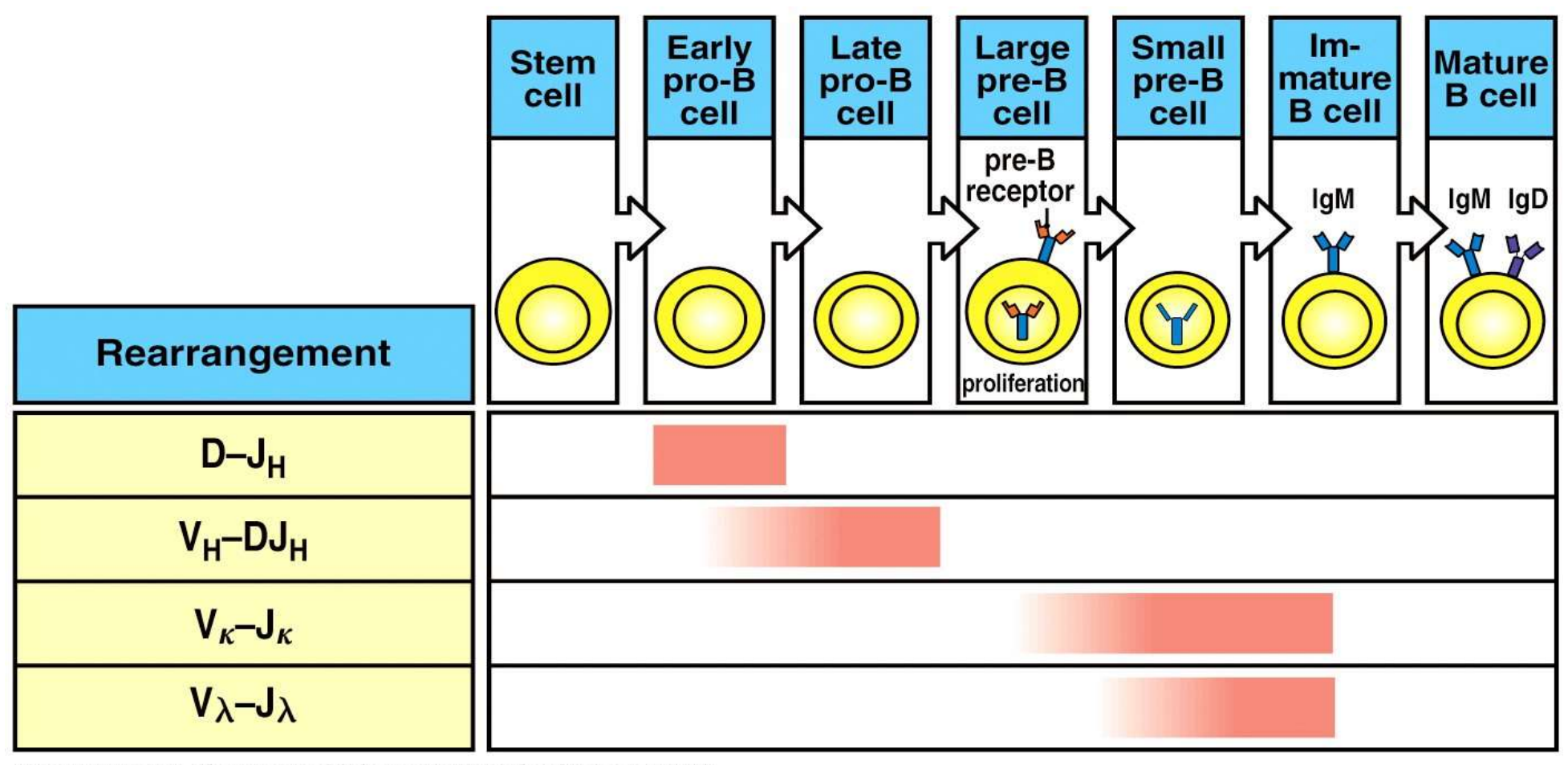
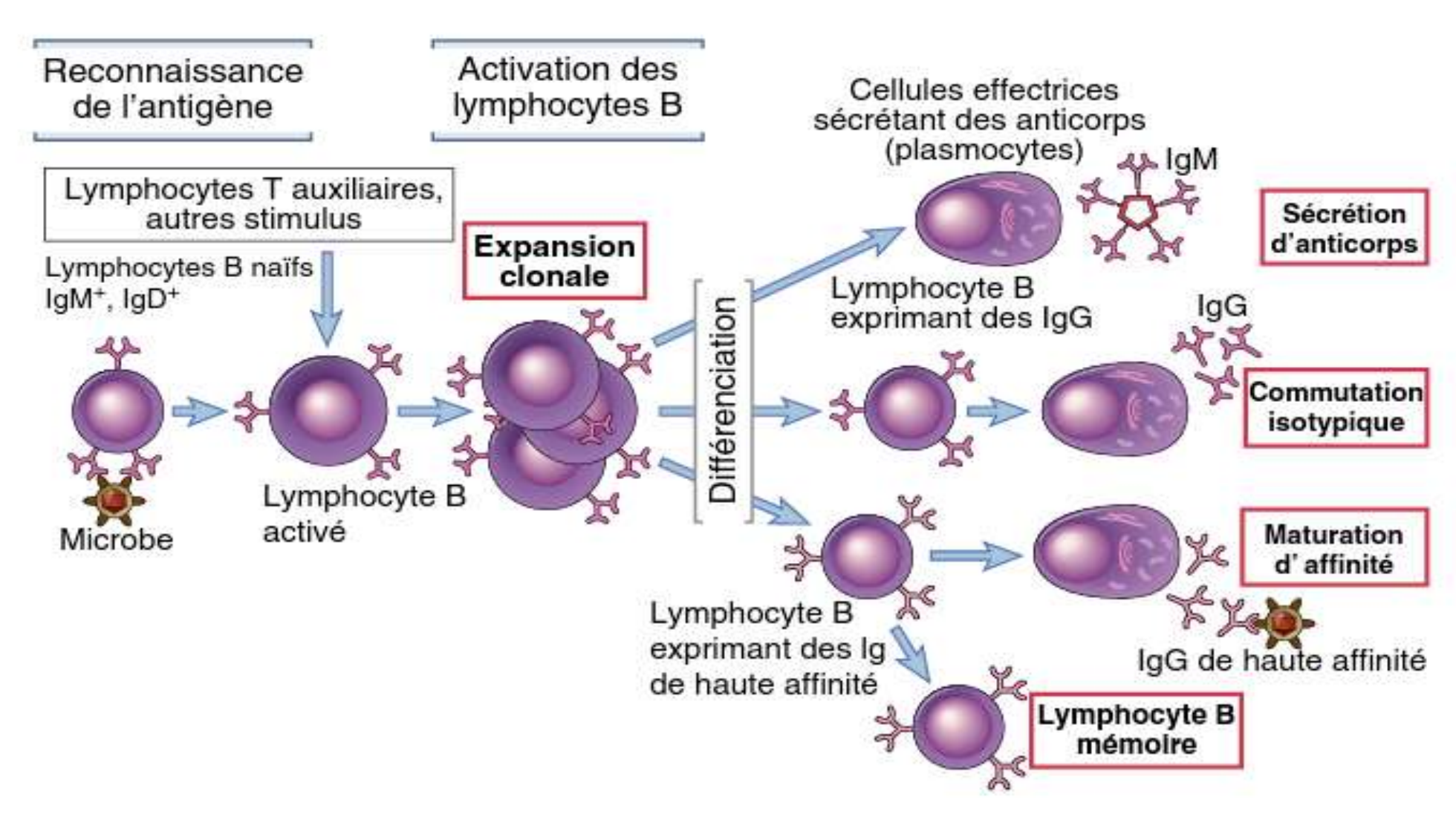


Figure 7-7 part 1 of 2 Immunobiology, 6/e. (© Garland Science 2005)

Phases des réponses immunitaires humorales



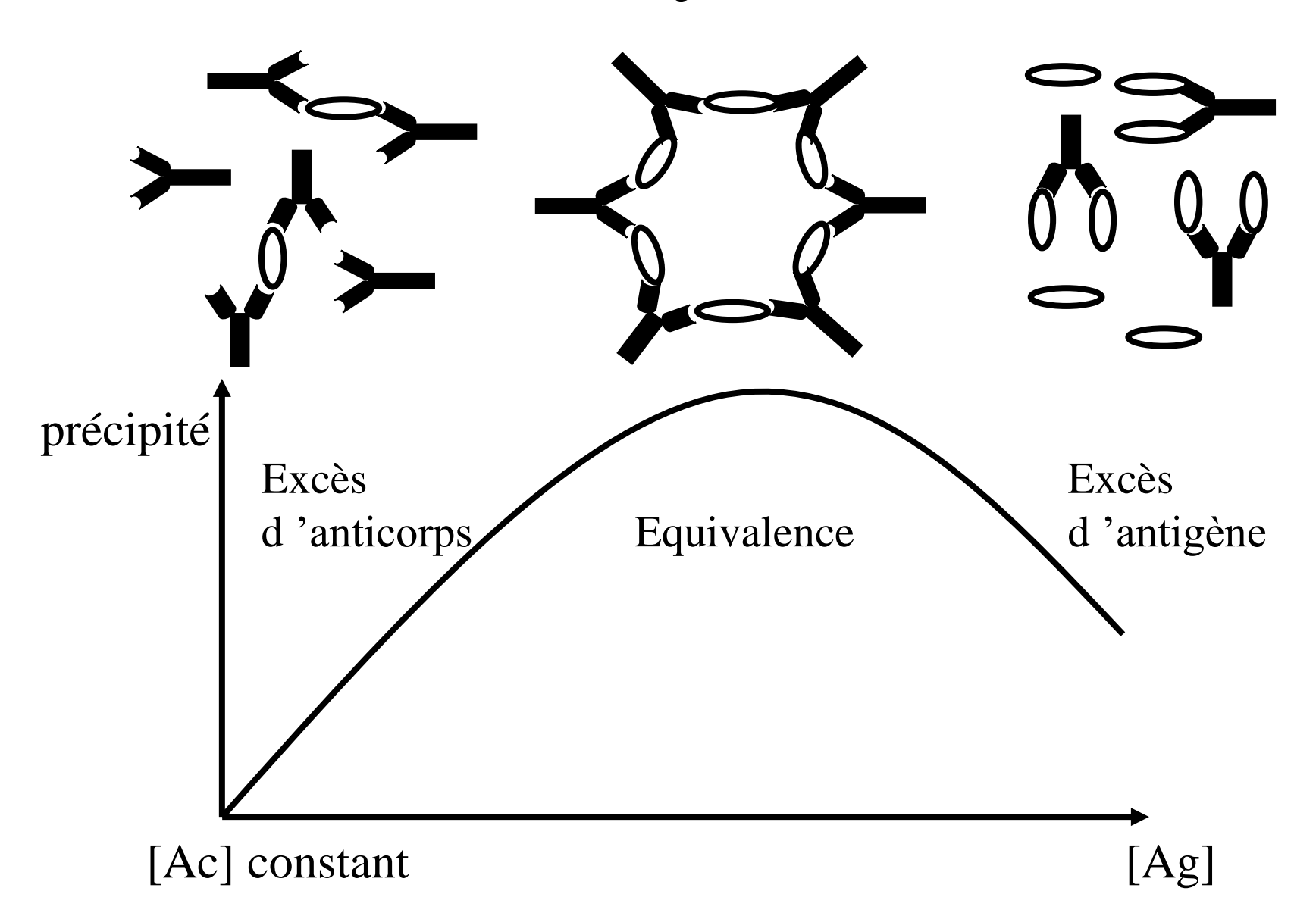
Le principe d'application des anticorps

et

Les fonctions des immunoglobulines

Courbe de précipitation

Heidelberger et Kendall



3 fonctions des immunoglobulines

Neutralisation opsonisation activation du complément

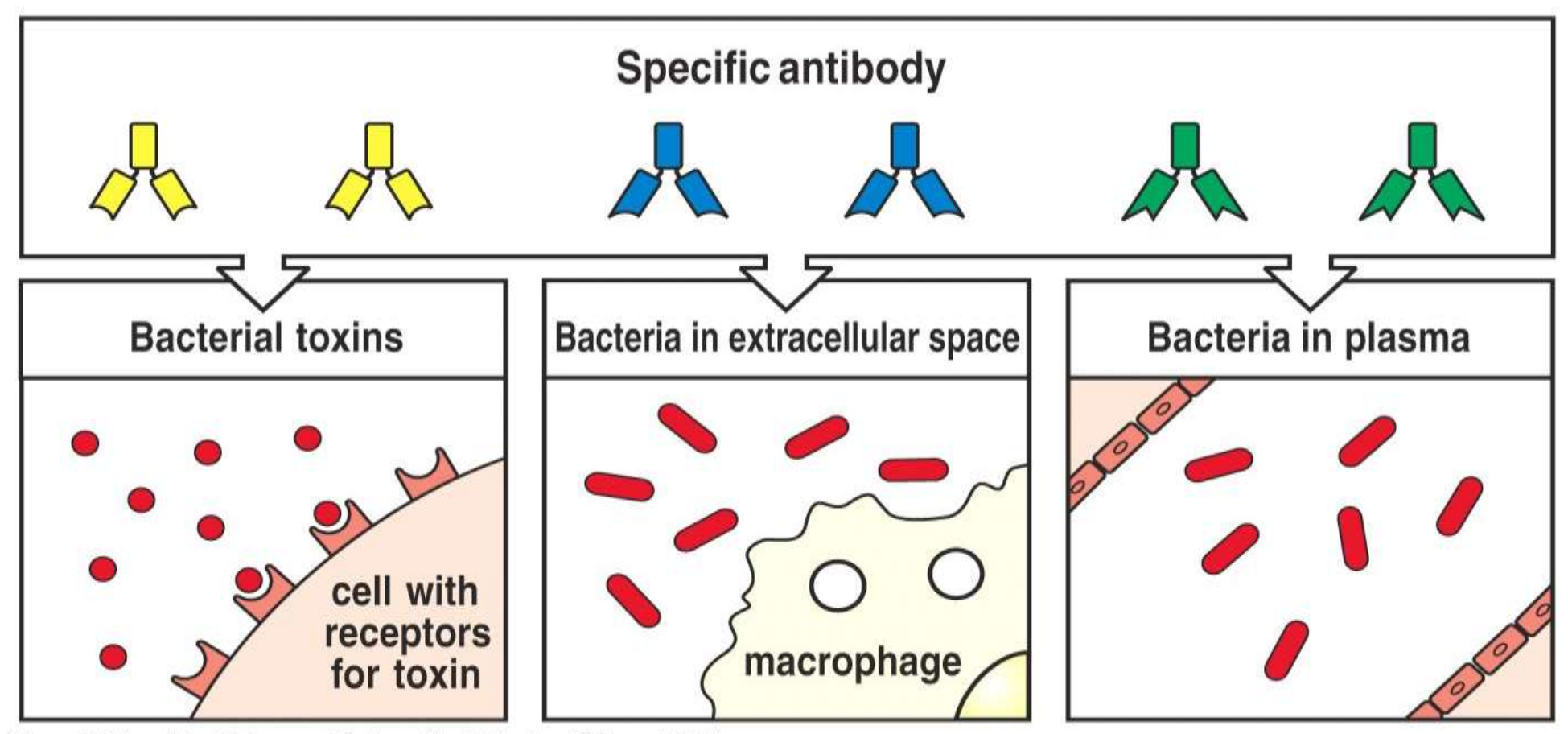


Figure 1-24 part 1 of 3 Immunobiology, 6/e. (© Garland Science 2005)

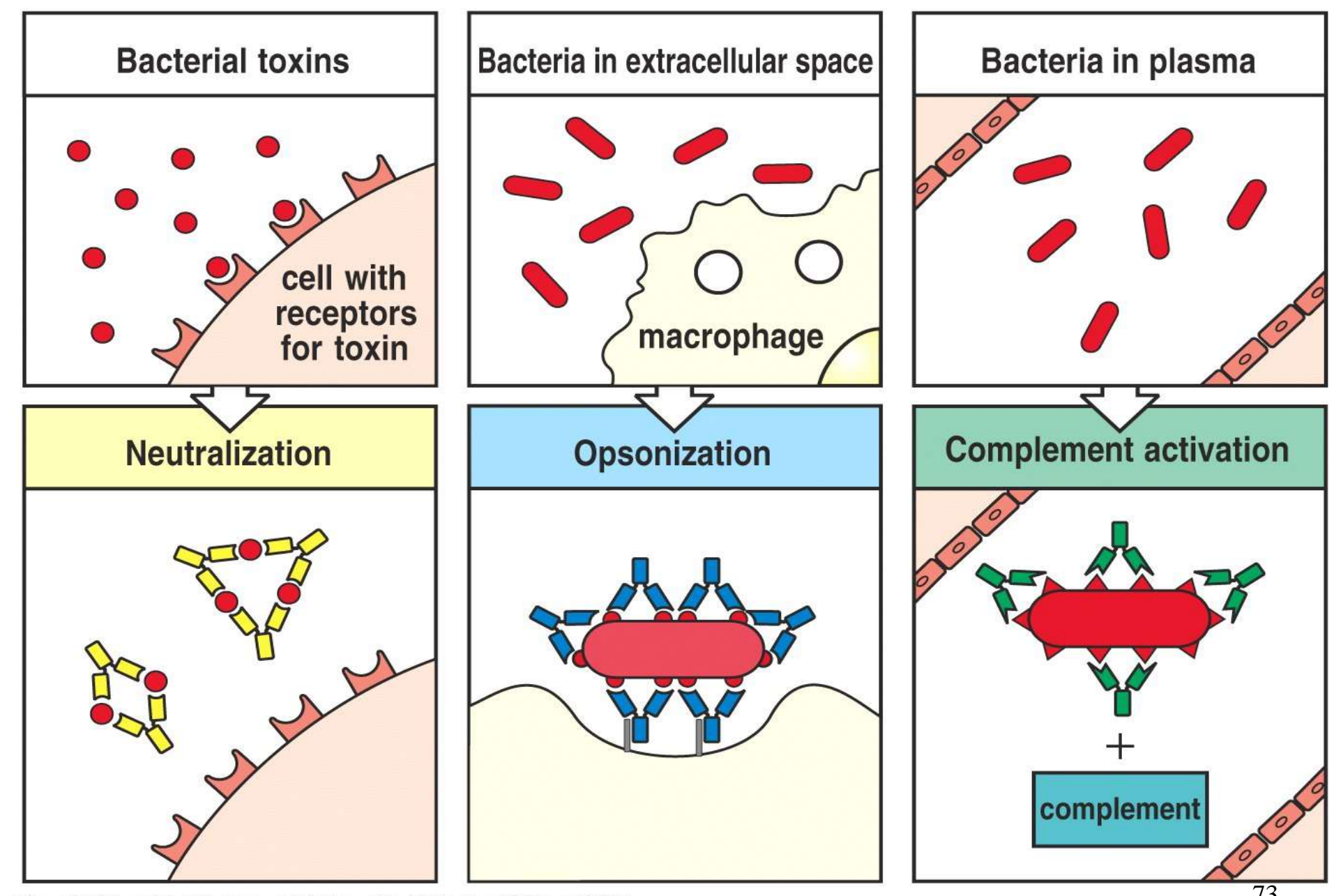


Figure 1-24 part 2 of 3 Immunobiology, 6/e. (© Garland Science 2005)

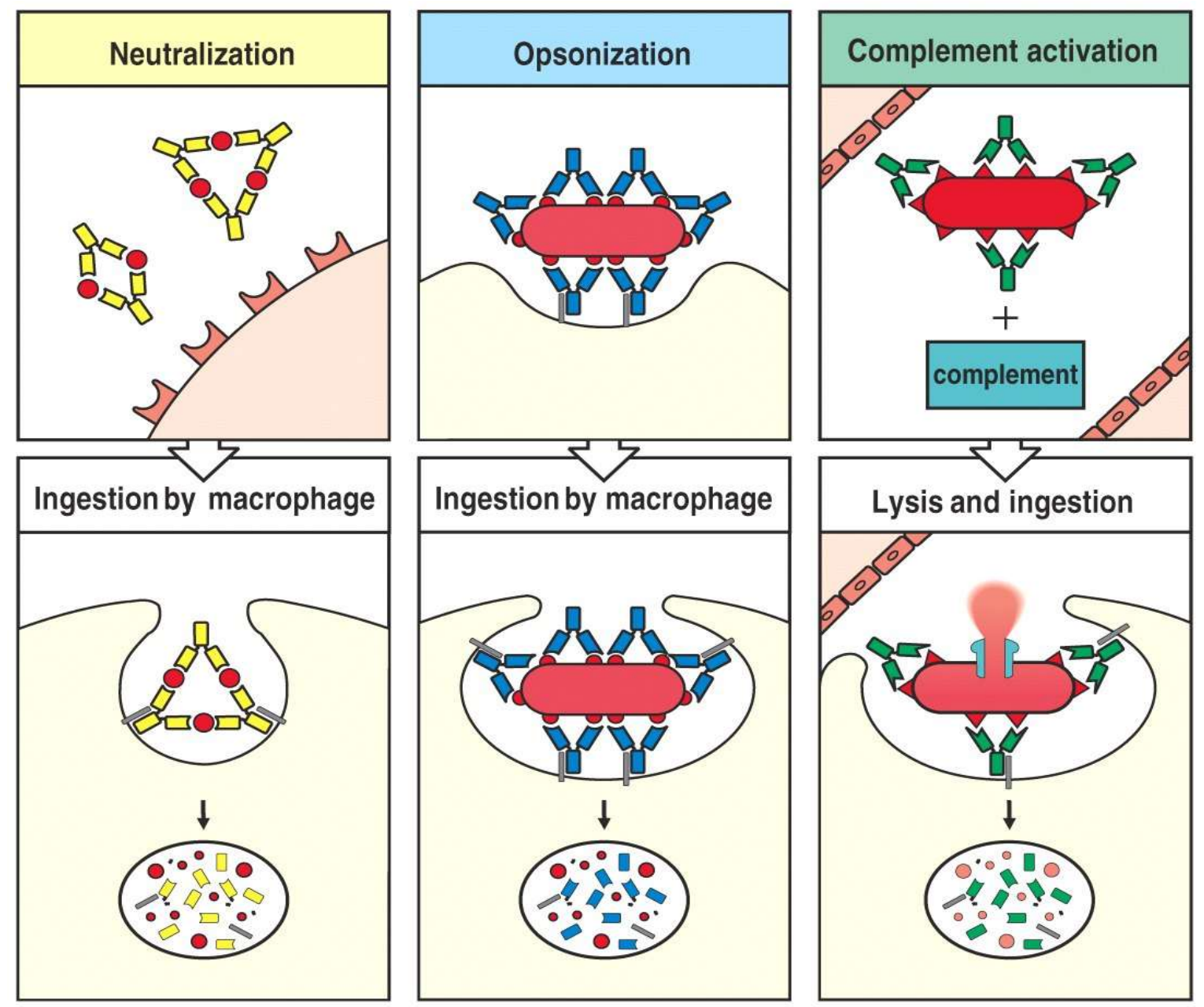


Figure 1-24 part 3 of 3 Immunobiology, 6/e. (© Garland Science 2005)

La distribution des isotypes d'immunoglobulines

Distribution	IgM	lgD	lgG1	lgG2	lgG3	lgG4	lgA	lgE
Transport across epithelium	+	I	ı	I	1	ı	+++ (dimer)	
Transport across placenta	ı	I	+++	+	++	+/-	I	_
Diffusion into extravascular sites	+/-	_	+++	+++	+++	+++	++ (monomer)	+
Mean serum level (mg ml ⁻¹)	1.5	0.04	9	3	1	0.5	2.1	3×10⁻⁵

Figure 9-19 part 2 of 2 Immunobiology, 6/e. (© Garland Science 2005)

Les fonctions des isotypes d'immunoglobulines

Functional activity	lgM	lgD	lgG1	lgG2	lgG3	lgG4	lgA	lgE
Neutralization	+		++	++	++	++	++	Ī
Opsonization	+	ı	+++	*	++	+	+	-
Sensitization for killing by NK cells	-	_	++	_	++	-	_	_
Sensitization of mast cells		_	+	_	+	-		+++
Activates complement system	+++		++	+	+++		+	

Figure 9-19 part 1 of 2 Immunobiology, 6/e. (© Garland Science 2005)

Distribution des immunoglobulines dans l'organisme

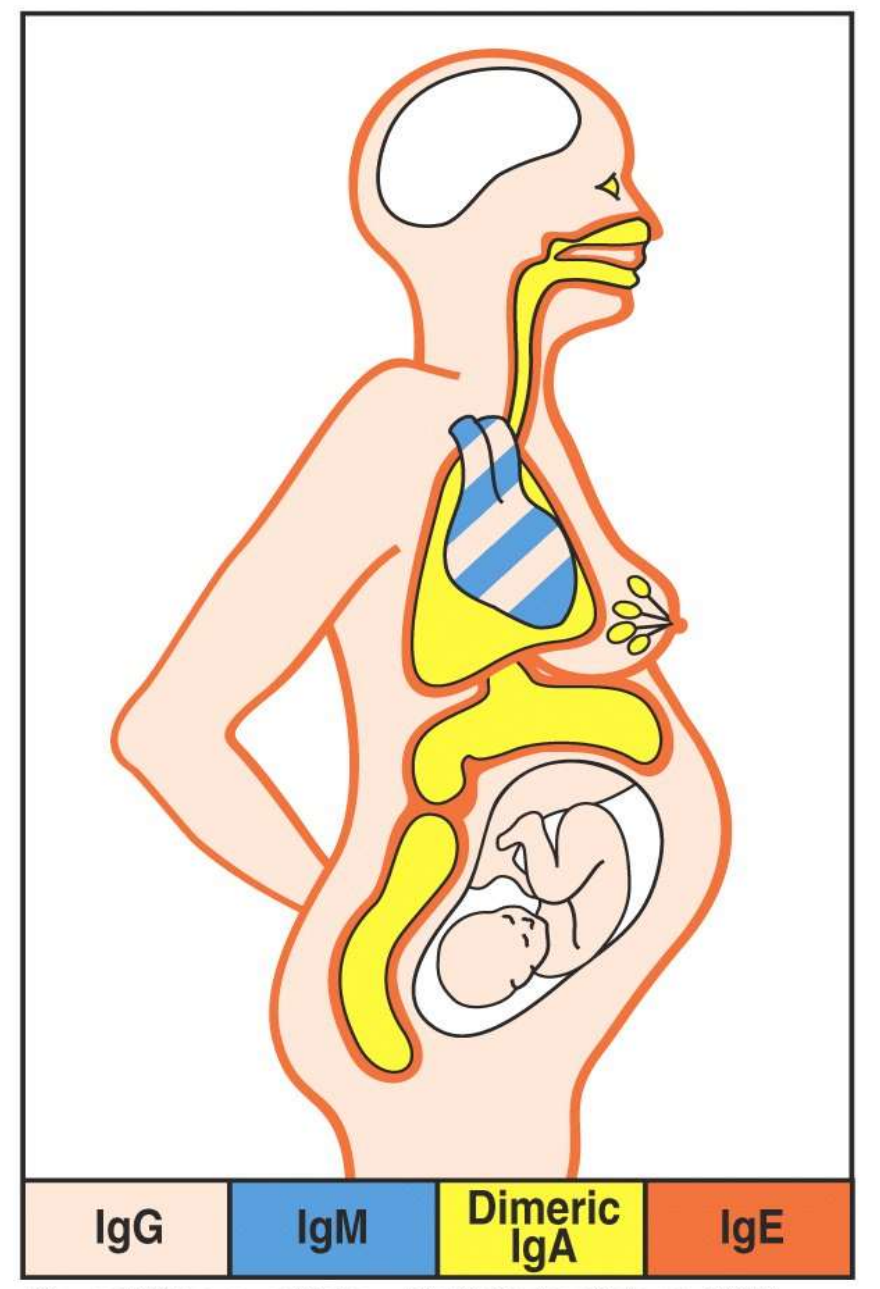


Figure 9-22 Immunobiology, 6/e. (© Garland Science 2005)

Sécrétion épithéliale des IgA

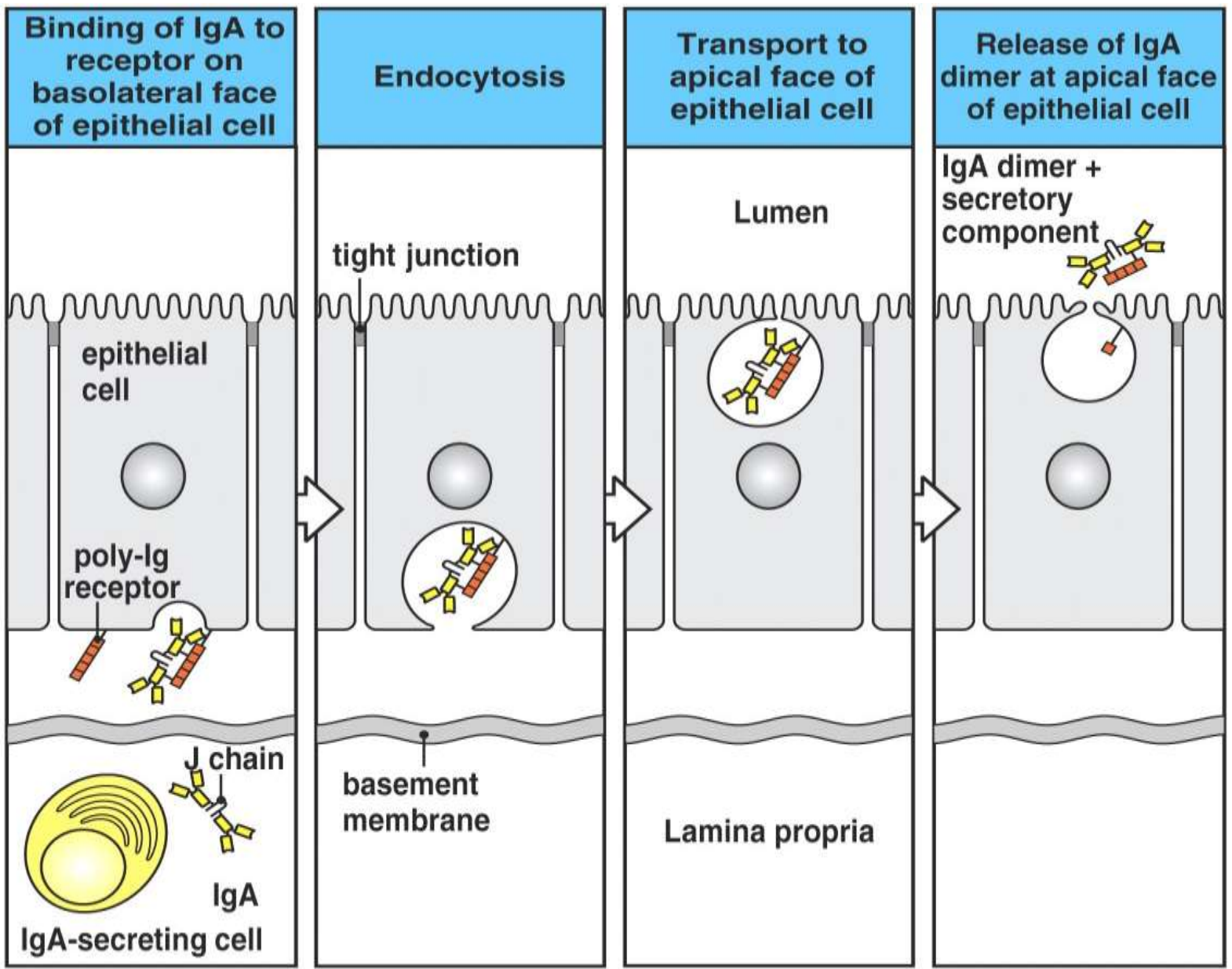


Figure 9-20 Immunobiology, 6/e. (© Garland Science 2005)

Les Récepteurs Fc I

Receptor	FcγRI (CD64)	FcγRII-A (CD32)	FcγRII-B2 (CD32)	FcγRII-B1 (CD32)
Structure	α 72 kDa	α 40 kDa		
	' Ш	γ-like domain	[] ITIM	ITIM
Binding	IgG1 10 ⁸ M ⁻¹	lgG1 2×10 ⁶ M ^{−1}	lgG1 2×10 ⁶ M ⁻¹	lgG1 2×10 ⁶ M ⁻¹
Order of affinity	1) IgG1=IgG3 2) IgG4 3) IgG2	1) lgG1 2) lgG3=lgG2* 3) lgG4	1) IgG1=IgG3 2) IgG4 3) IgG2	1) lgG1=lgG3 2) lgG4 3) lgG2
Cell type	Macrophages Neutrophils† Eosinophils† Dendritic cells	Macrophages Neutrophils Eosinophils Platelets Langerhans' cells	Macrophages Neutrophils Eosinophils	B cells Mast cells
Effect of ligation	Uptake Stimulation Activation of respiratory burst Induction of killing	Uptake Granule release (eosinophils)	Uptake Inhibition of stimulation	No uptake Inhibition of stimulation

Figure 9-30 part 1 of 2 Immunobiology, 6/e. (© Garland Science 2005)

Les Récepteurs Fc II

Receptor	FcγRIII (CD16)	Fc∈RI	FcαRI (CD89)	Fc α/μR
Structure	α 50–70 kDa	α 45 kDa β 33 kDa γ9 kDa	α 55–75 kDa γ9 kDa	α 70 kDa
Binding Order of affinity	IgG1 5×10 ⁵ M ⁻¹ IgG1⊨IgG3	IgE 10 ¹⁰ M ⁻¹	IgA1, IgA2 10 ⁷ M ⁻¹ IgA1=IgA2	IgA, IgM 3 ×10 ⁹ M ⁻¹ 1) IgM 2) IgA
Cell type	NK cells Eosinophils Macrophages Neutrophils Mast cells	Mast cells Eosinophils† Basophils	Macrophages Neutrophils Eosinophils [‡]	Macrophages B cells
Effect of ligation	Induction of killing (NK cells)	Secretion of granules	Uptake Induction of killing	Uptake

Figure 9-30 part 2 of 2 Immunobiology, 6/e. (© Garland Science 2005)

80

ADCC

Cytotoxicité dépendant d'anticorps, à médiation cellulaire

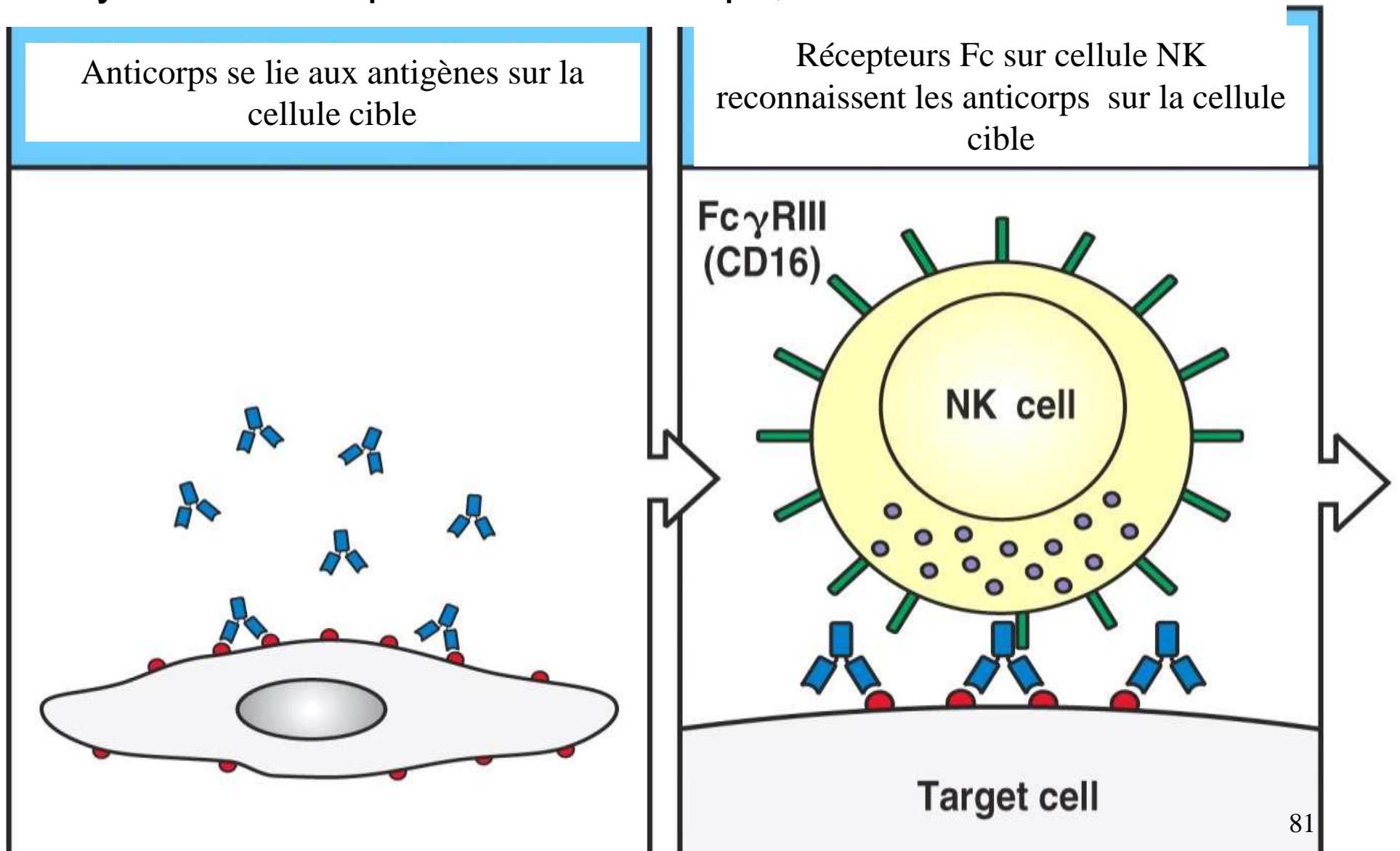


Figure 9-34 part 1 of 2 Immunobiology, 6/e. (© Garland Science 2005)

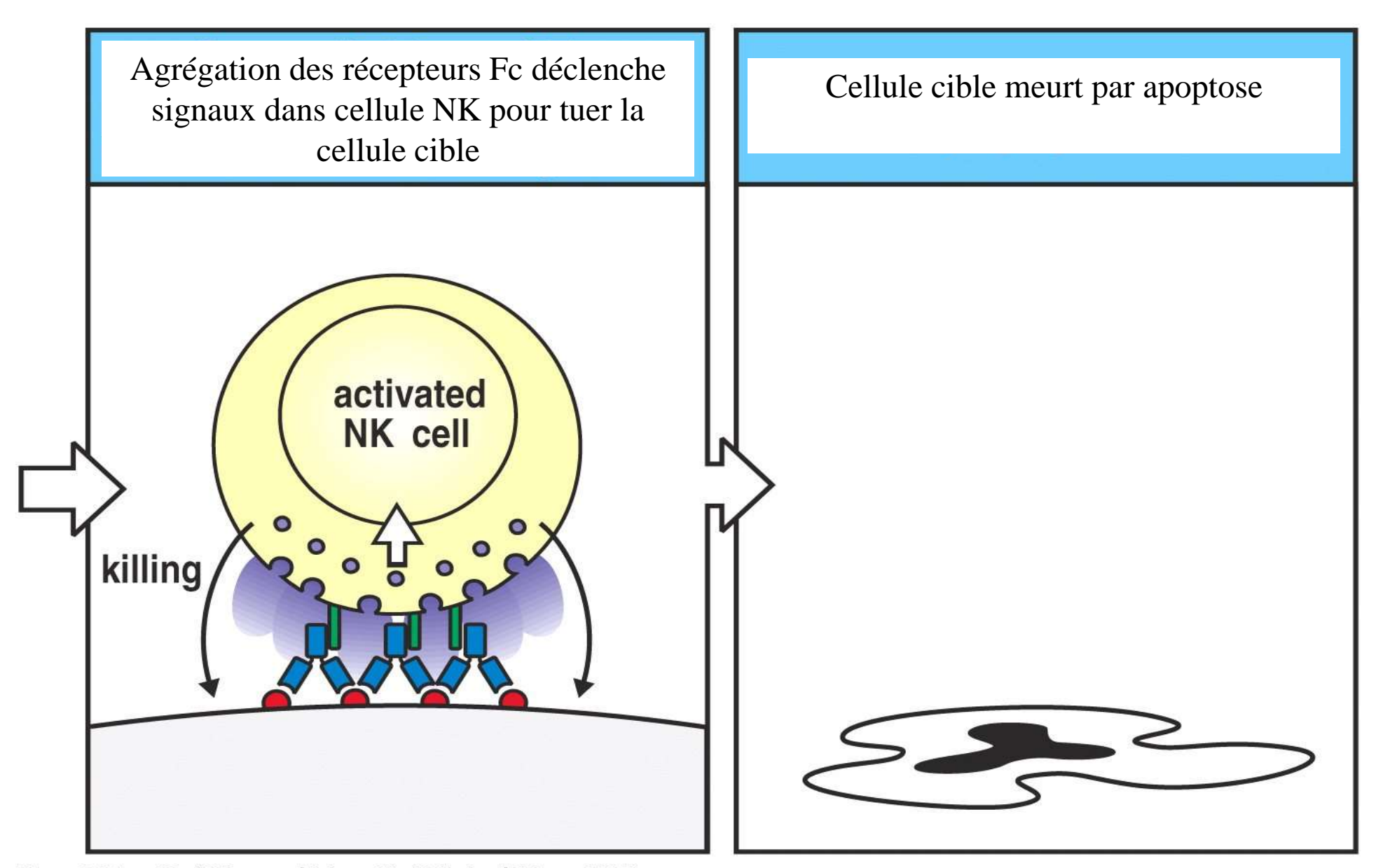


Figure 9-34 part 2 of 2 Immunobiology, 6/e. (© Garland Science 2005)

Résumé

- Immunoglobulines/Anticorps dans la réponse immunitaire
- Lymphocytes B, producteurs d'anticorps après différenciation et stimulation
- La structure des anticorps: glycoprotéines avec 2 chaînes lourdes, 2 chaînes légères, domaines constants et variables; 5 classes (isotypes) d'anticorps définit par leur chaîne lourde
 - Production des anticorps; réponse primaire et secondaire, vaccination
- Variabilité et spécificité; sélection clonale et recombinaison de gènes; régions hypervariables complémentaires à l'antigène
- Le BCR et le développement du lymphocyte B; immunoglobuline membranaire
- Applications et Fonctions des Anticorps: précipitation d'antigène; neutralisation, opsonisation, activation du complément; localisation différentielle des isotypes
- Les récepteurs Fc: interaction anticorps leukocyte, Signalisation, contrôle de fonctions cellulaires spécifiques
 - ADCC; cytotoxicité contre cellules reconnues par anticorps

Immunité innée et inflammation

Le système du complément

Les TLRs

Cytokines et chemokines

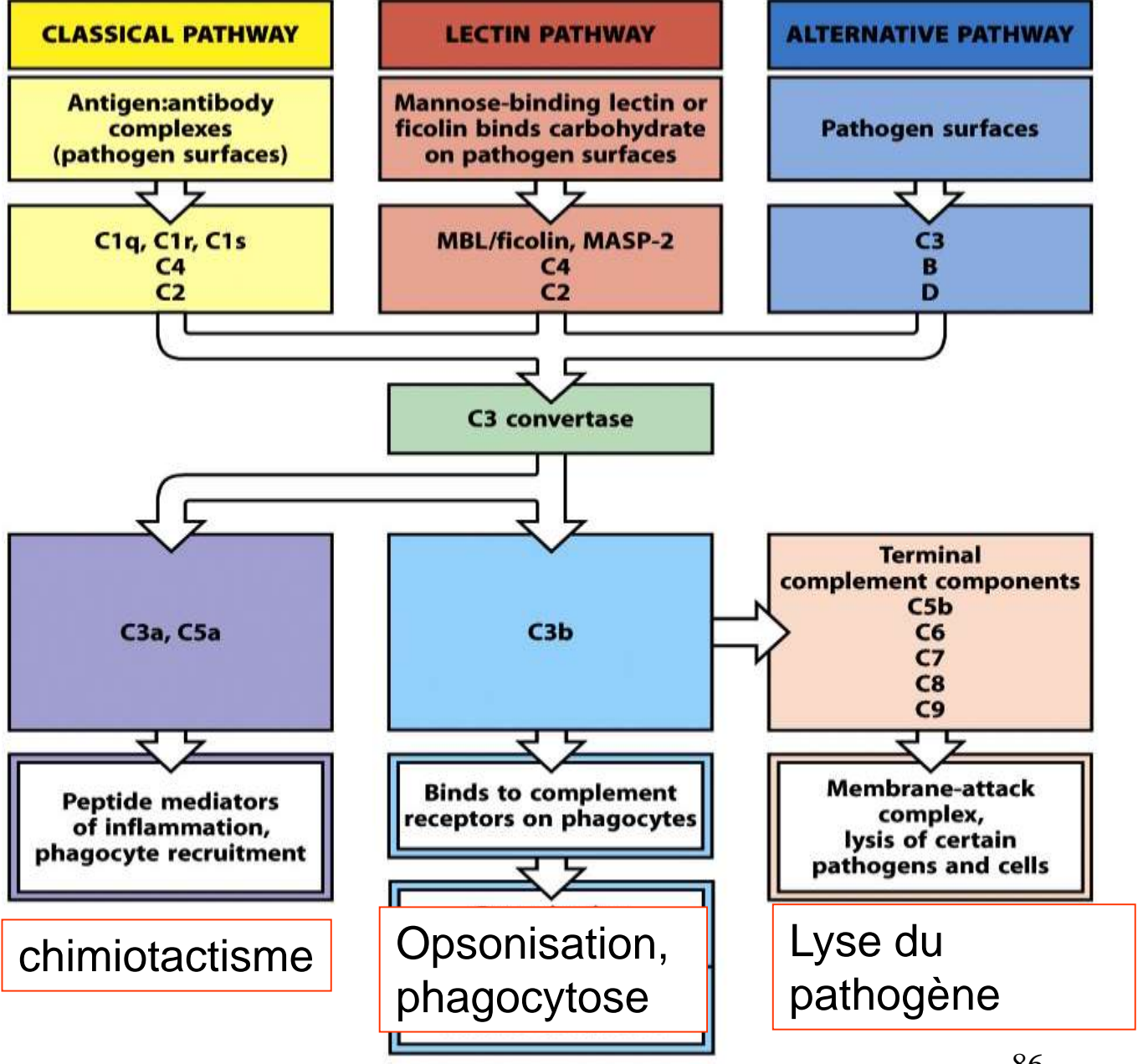
Phagocytose

Éosinophiles et mastocytes

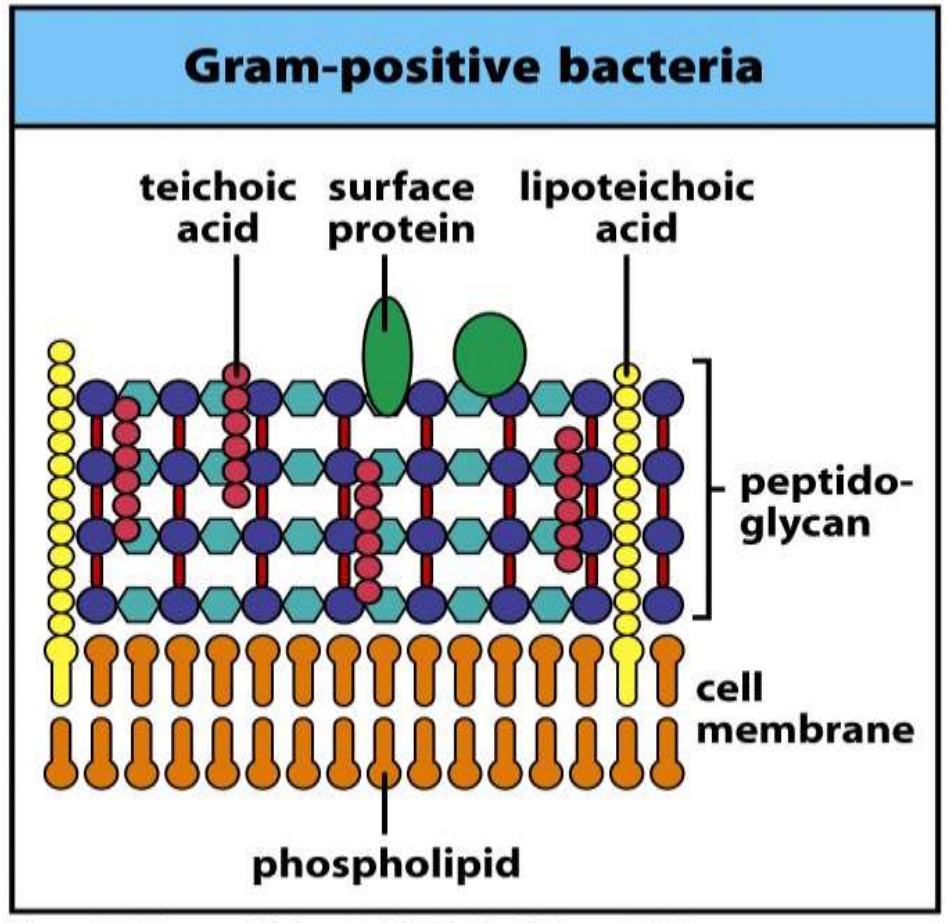
Extravasation

Inflammation

Le système du complément



Les motifs associés aux pathogènes (PAMP), l'exemple du LPS



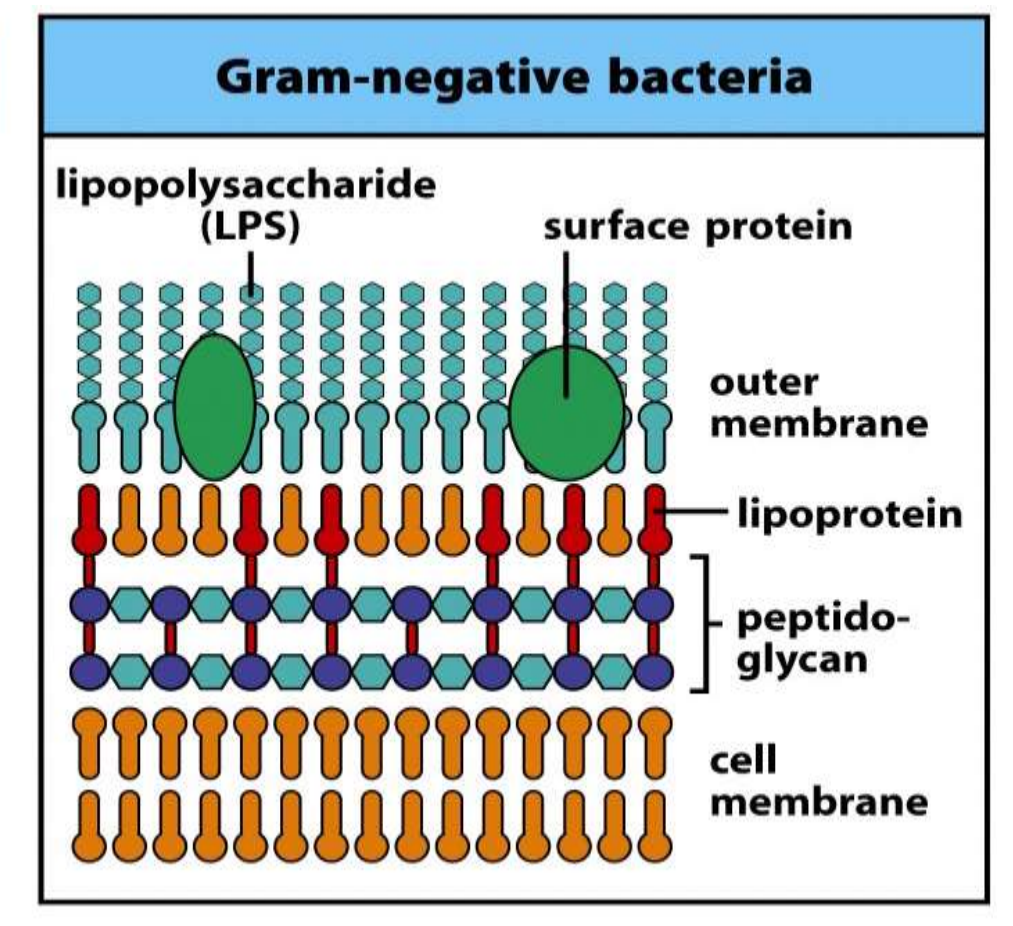


Figure 2-14 Immunobiology, 7ed. (© Garland Science 2008)

Les TLRs à la surface des leukocytes et dans les endosomes

Toll-like receptor = TLR

SARS-CoV2 génome

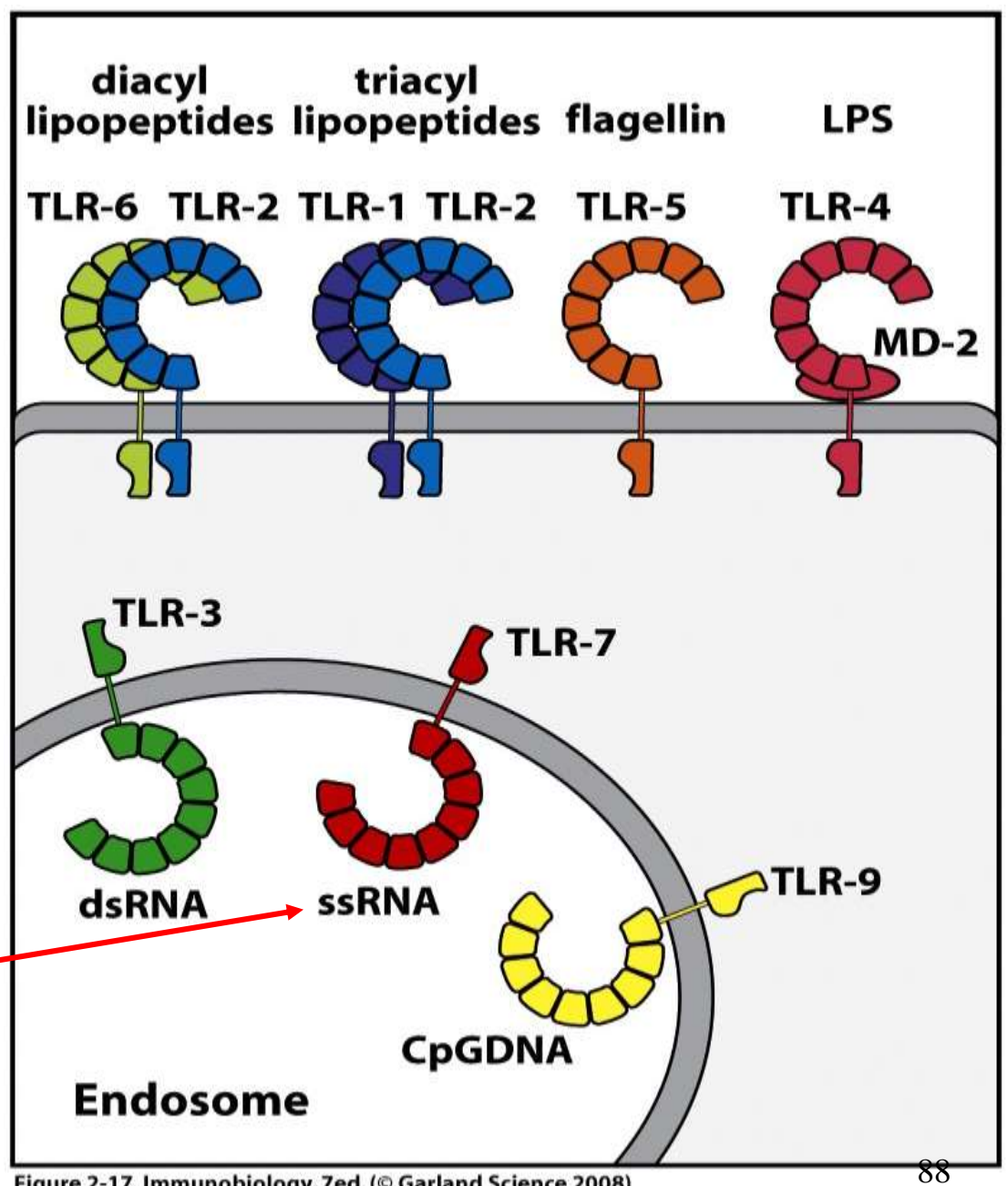


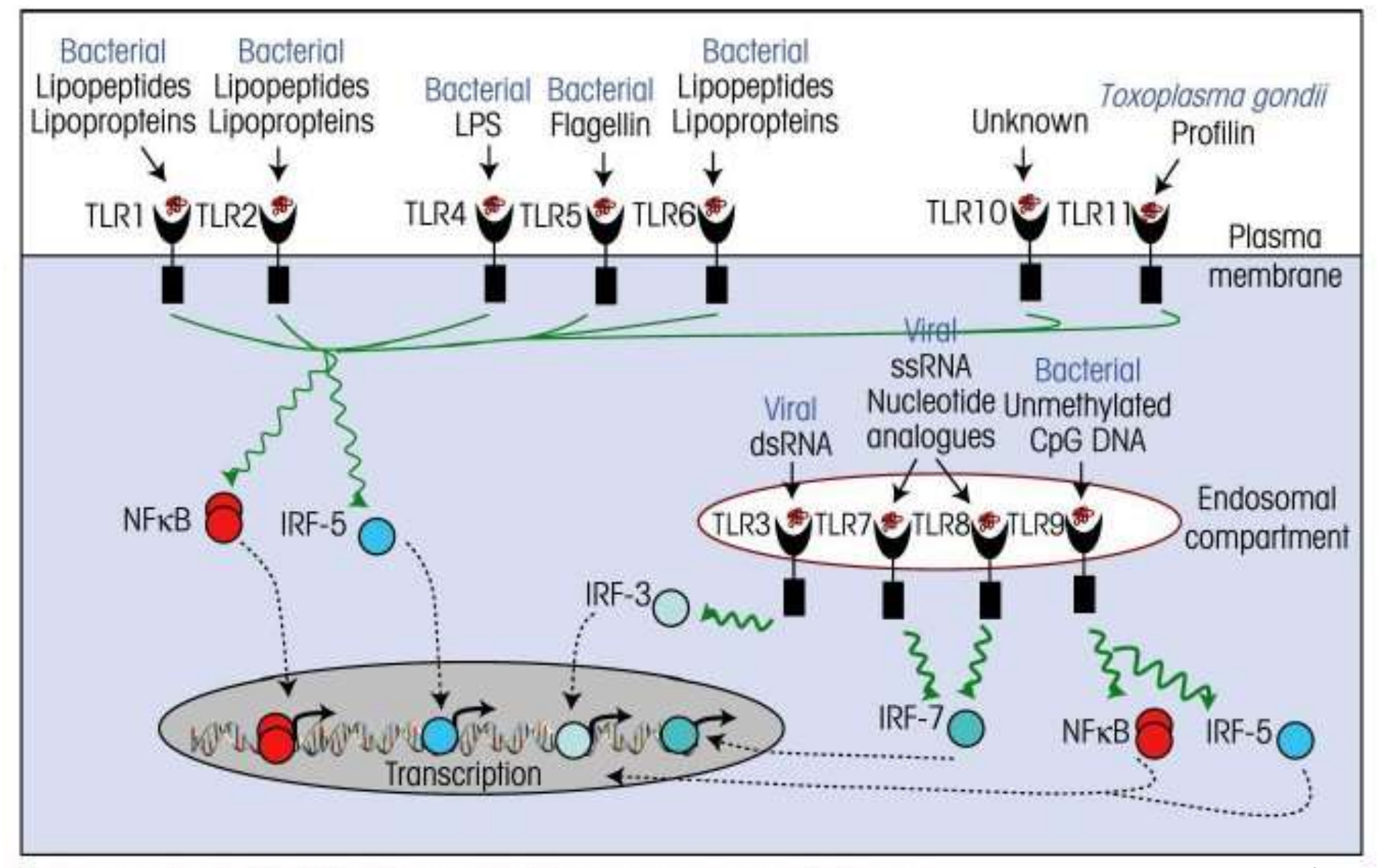
Figure 2-17 Immunobiology, 7ed. (© Garland Science 2008)

Les ligands des TLRs

Innate immune recognition by Toll-like receptors				
Toll-like receptor	Ligand			
TLR-1:TLR-2 heterodimer	Peptidoglycan Lipoproteins Lipoarabinomannan (mycobacteria)			
TLR-2:TLR-6 heterodimer	GPI (<i>T. cruzi</i>) Zymosan (yeast)			
TLR-3	dsRNA			
TLR-4 dimer (plus MD-2 and CD14)	LPS (Gram-negative bacteria) Lipoteichoic acids (Gram-positive bacteria)			
TLR-5	Flagellin			
TLR-7	ssRNA			
TLR-8	G-rich oligonucleotides			
TLR-9	Unmethylated CpG DNA 89			

Figure 2-16 Immunobiology, 7ed. (© Garland Science 2008)

Les TLRs activent plusieurs voies de signalisation



90

Les récepteurs NOD reconnaissent les protéoglycanes à l'intérieur de la cellule

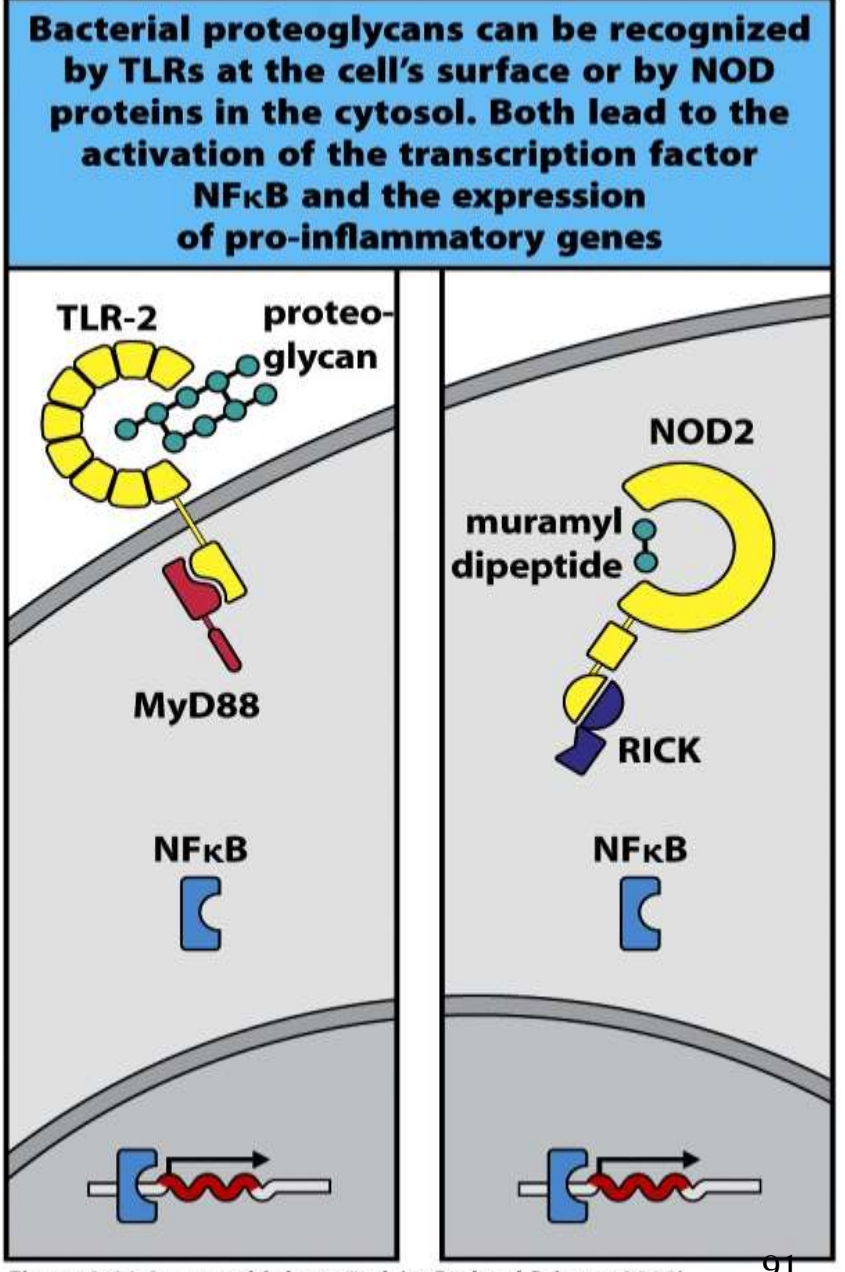
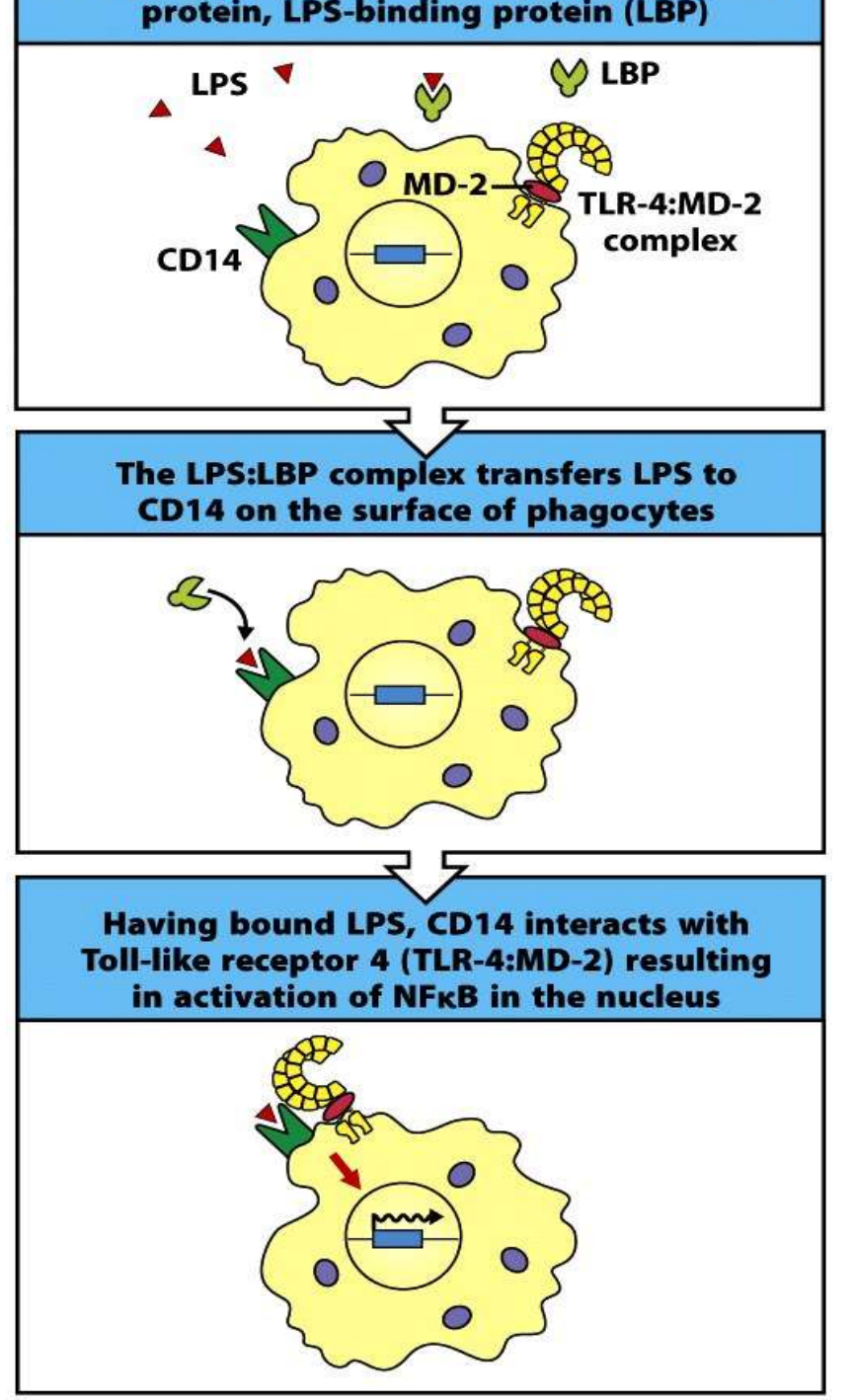


Figure 2-20 Immunobiology, 7ed. (© Garland Science 2008)

La chaine de détection du LPS

LPS
-> protéine de liaison du LPS (LBP)
-> CD14
-> complexe TLR4:MD2
-> activation NFkB
-> transcription



92

Figure 2-19 Immunohiology 7ed (© Garland Science 2008)

Sécrétion de chemokines et cytokines par les macrophages activés

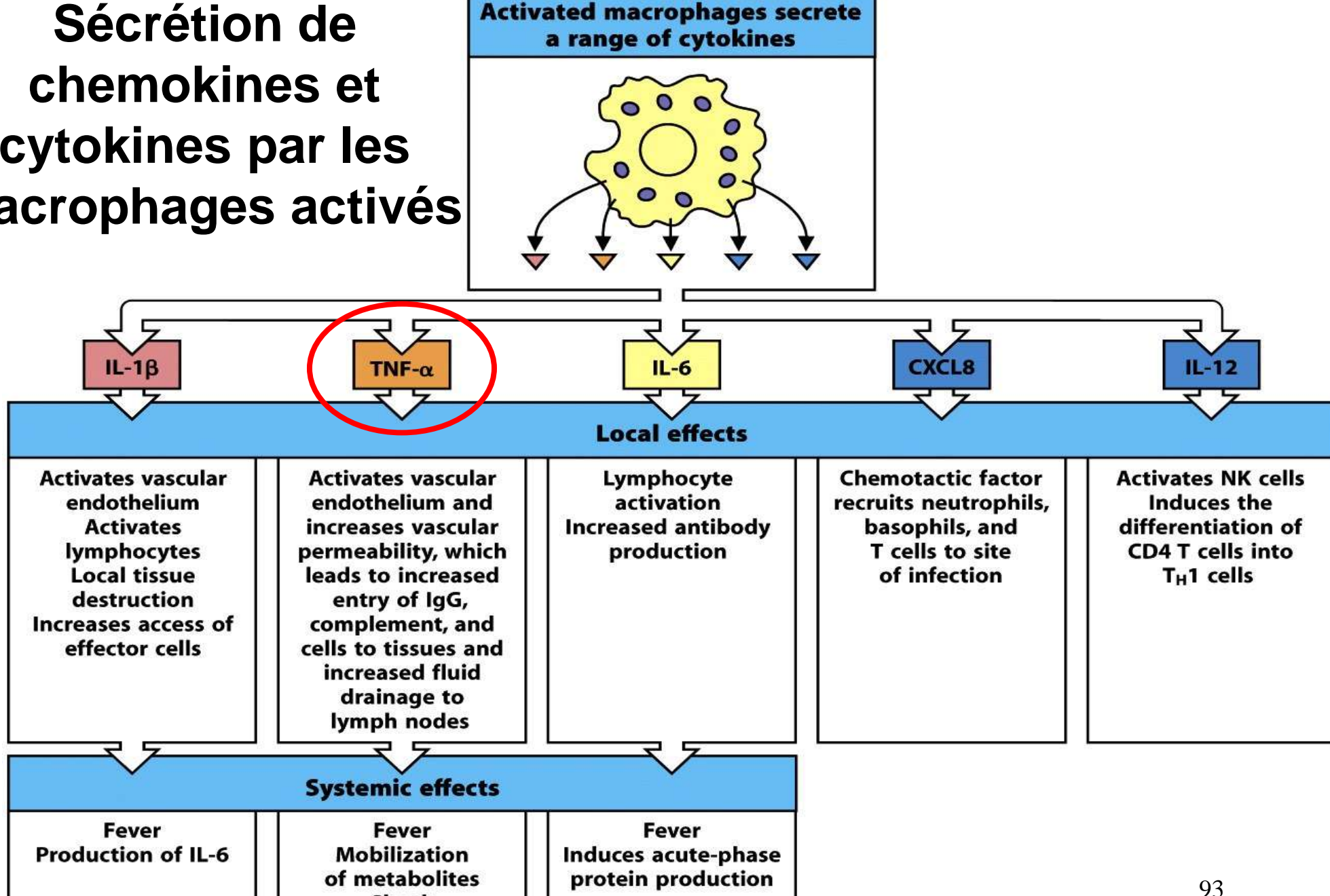


Figure 2-44 Immunobiology, 7ed. (© Garland Science 2008)

Shock

Les protéines de la phase aiguë

bactéries

- -> macrophage
- -> sécrétion IL6
- -> hépatocytes
- -> libération protéines de la phase aiguë
 - -> renforcement de la réponse immunitaire

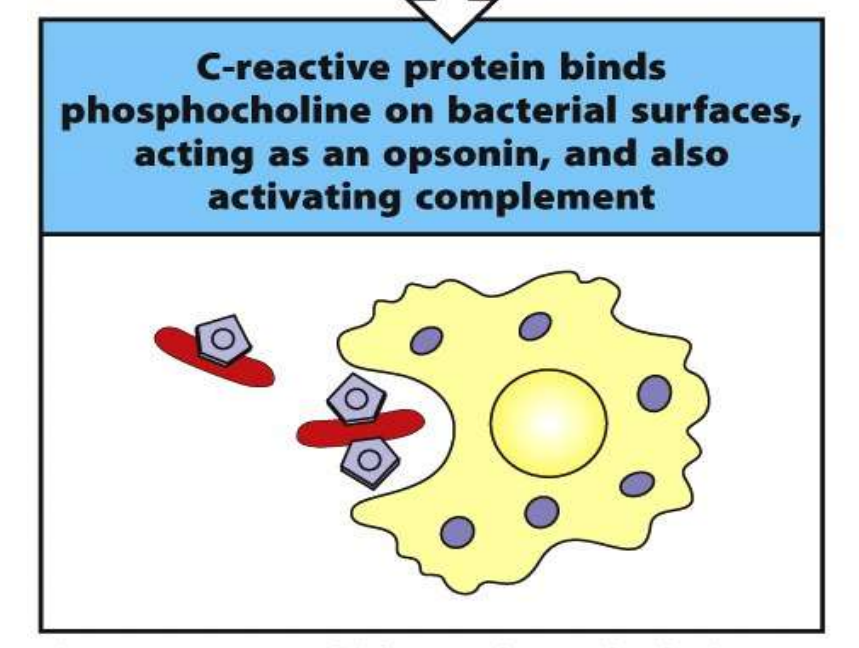
Bacteria induce macrophages to produce IL-6, which acts on hepatocytes to induce synthesis of acute-phase proteins

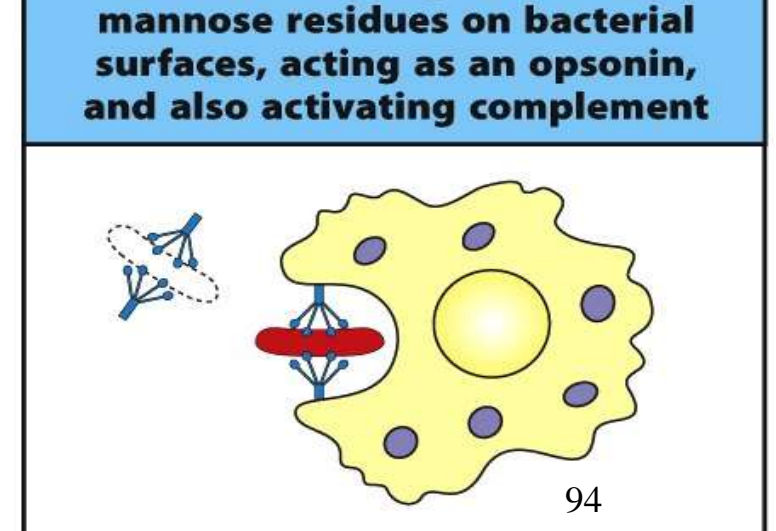
IL-6

SP-A

SP-D

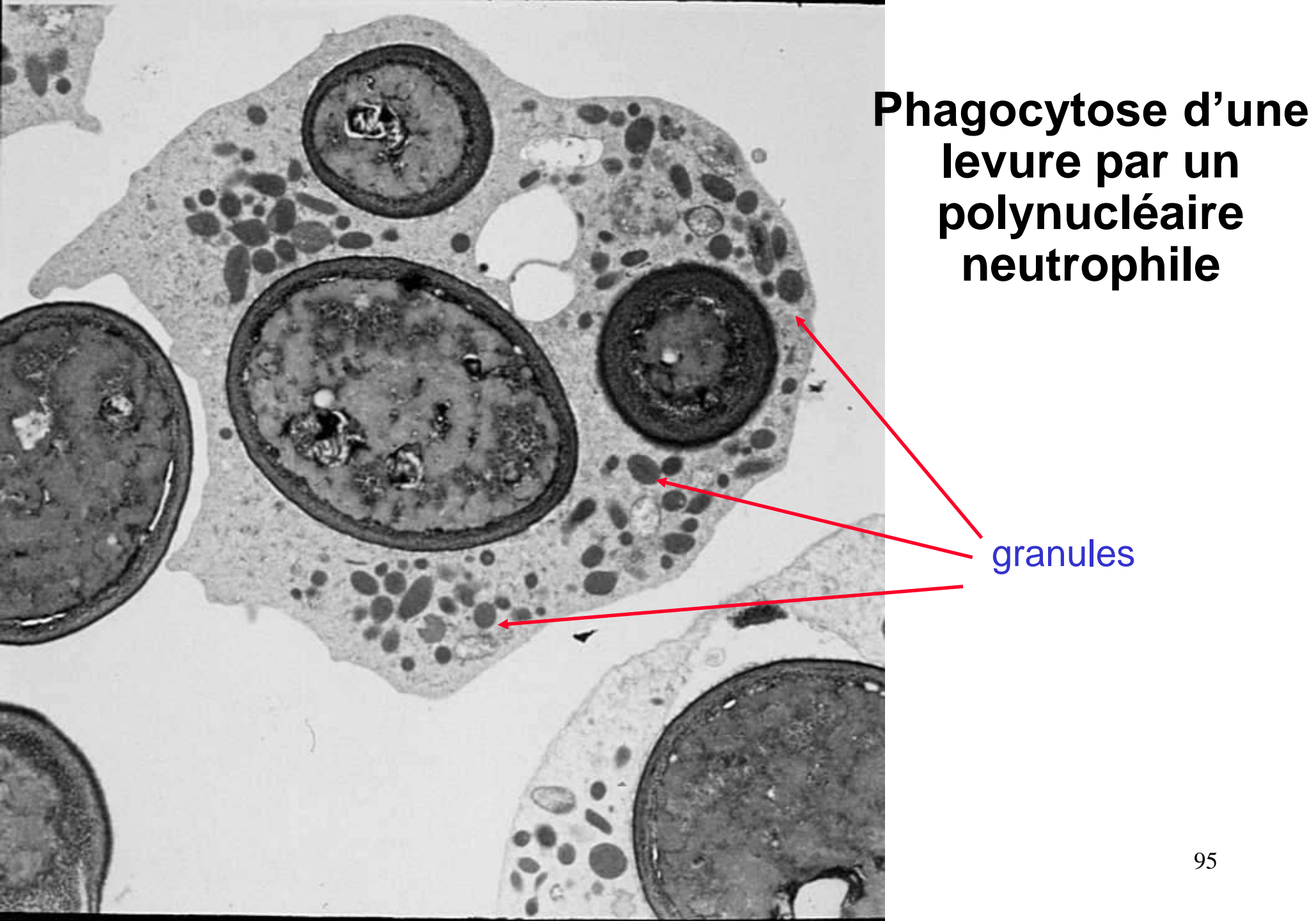
mannose-binding lectin fibrinogen serum C-reactive amyloid protein protein



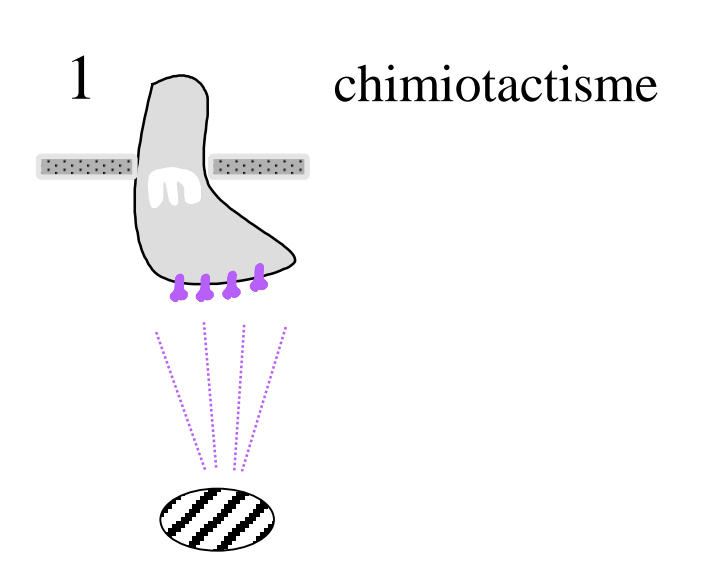


Mannose-binding lectin binds

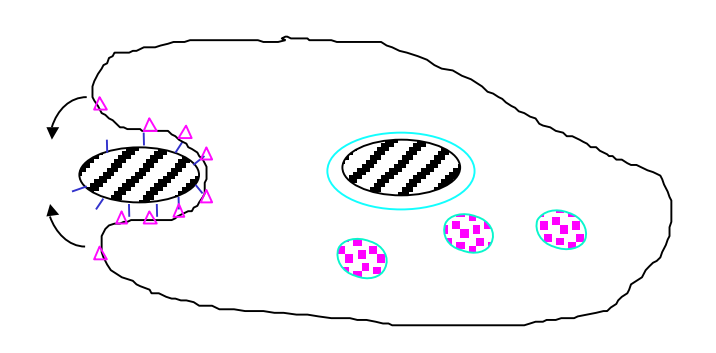
Figure 2-52 Immunobiology, 7ed. (© Garland Science 2008)



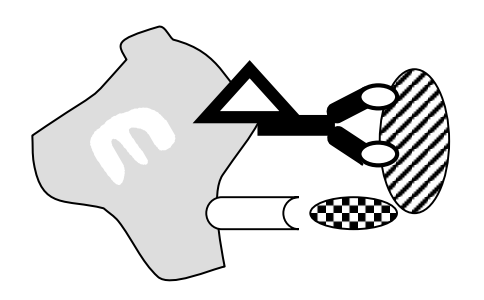
Etapes de la phagocytose



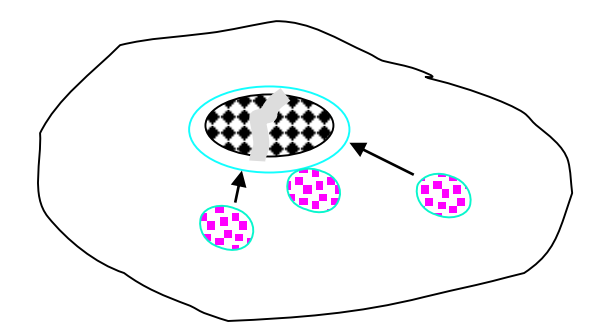
3 internalisation



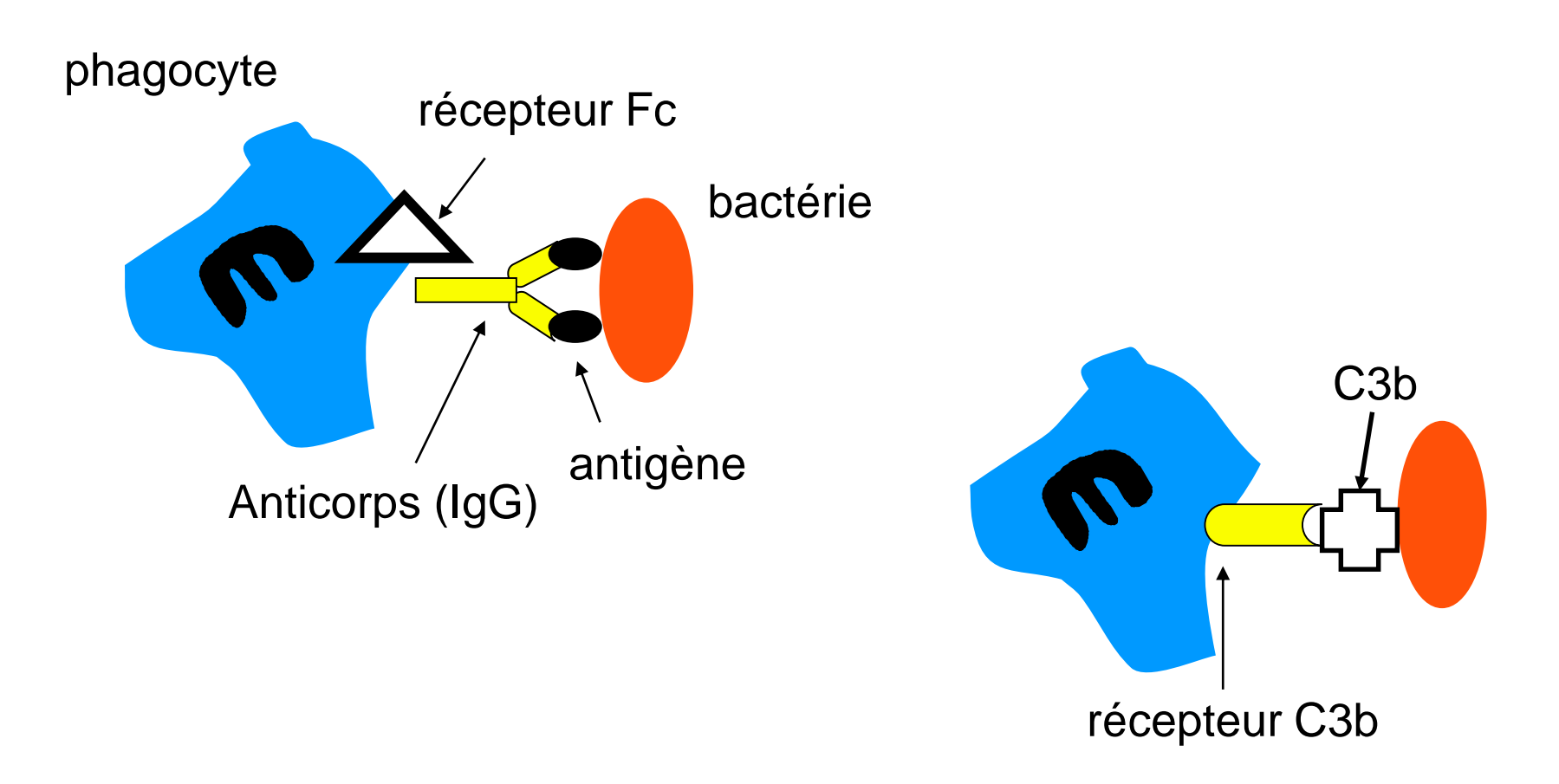
2 reconnaissance / adhérence



4 maturation du phagosome



Opsonisation: couvrir la surface d'une particule pour améliorer sa phagocytose



Phagocytes : polynucléaires neutrophiles et macrophages

Cellules myéloïdes: polynucléaires neutrophiles et éosinophiles

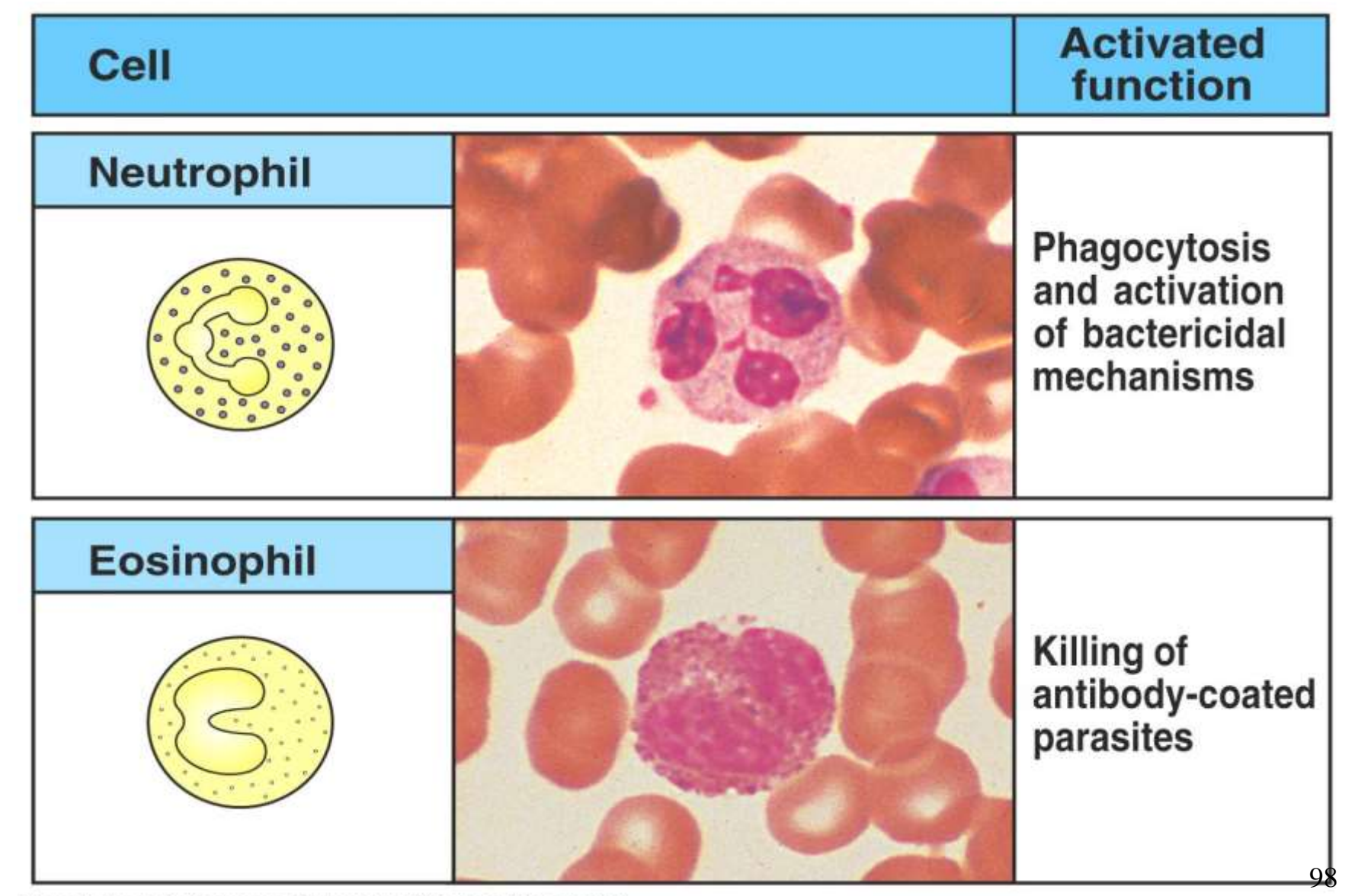


Figure 1-4 part 2 of 3 Immunobiology, 6/e. (© Garland Science 2005)

Production de formes réactives d'oxygène

NADPH + O₂

NADPH-oxydase

NADP+ + O₂

Ge-P-déhydrogénase

Pentose-P + NADPH

$$2O_2^- + 2H^+ \xrightarrow{\text{Superoxide dismutase}} H_2O_2 + {}^{1}O_2$$

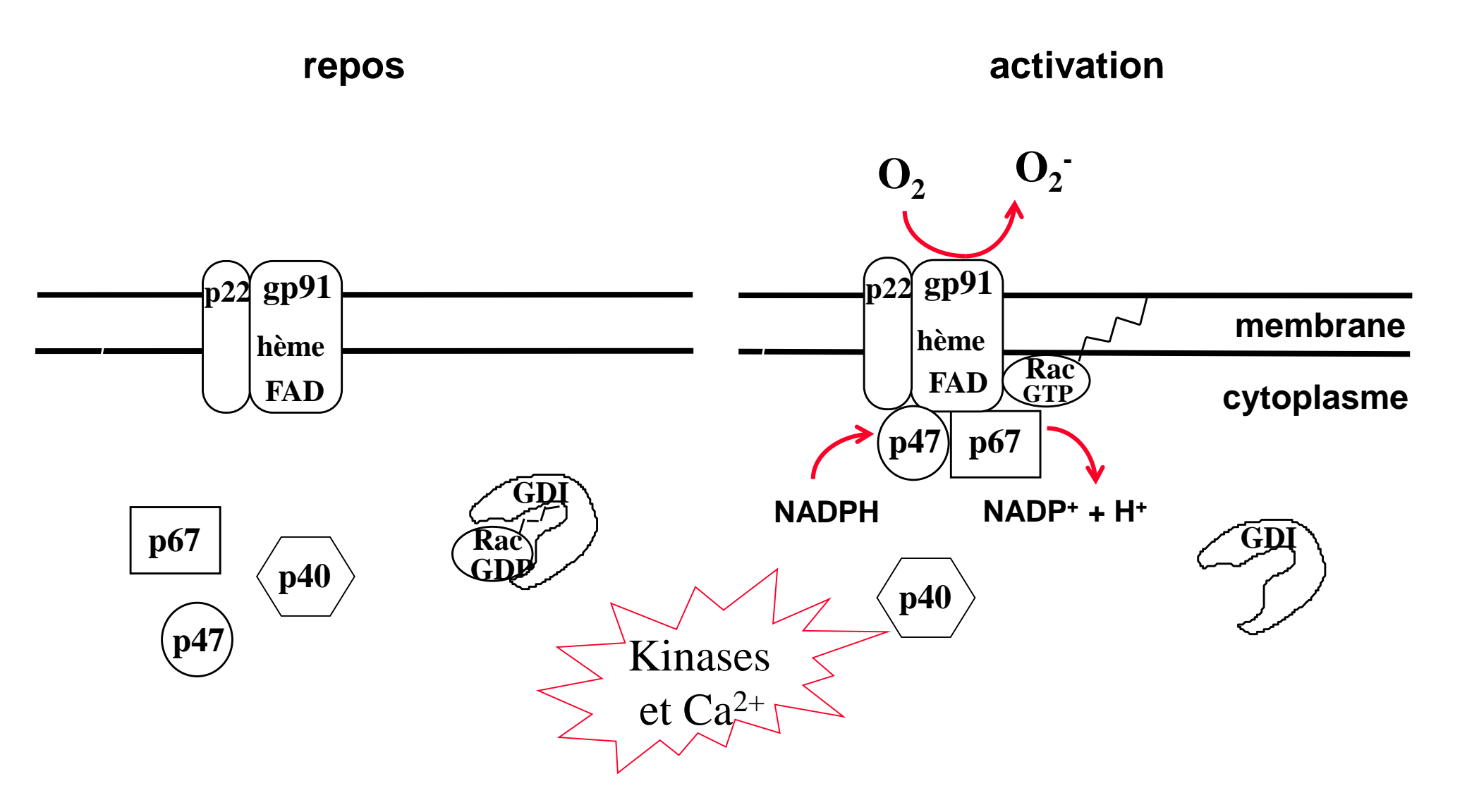
Fe²⁺ + H₂O₂

Réaction de Fenton

$$H_2O_2 + CI^- \xrightarrow{\text{Myéloperoxidase}} OCI^- + H_2O$$

"ROS": H₂O₂, ¹O₂, OH, OCI

L'activation de la NADPH oxydase



Mécanismes bactéricides à l'intérieur des phagosomes

Mécanisme	Agents bactéricides
Acidification : bactériostatique ou bactéricide	pH = 5
oxydants toxiques : dégradation	O_2^- , H_2O_2 ,•OH, OCl-, NO•
peptides antimicrobiennes : perméablisation	Défensines, protéines cationiques
Enzymes : dégradation de la paroi bactérienne	Lysozyme, hydrolases acides, protéases
Compétiteurs : bactériostatique	Lactoferrine, protéine liaison vitamine B12

Eosinophiles attaquant une larve de schistosome

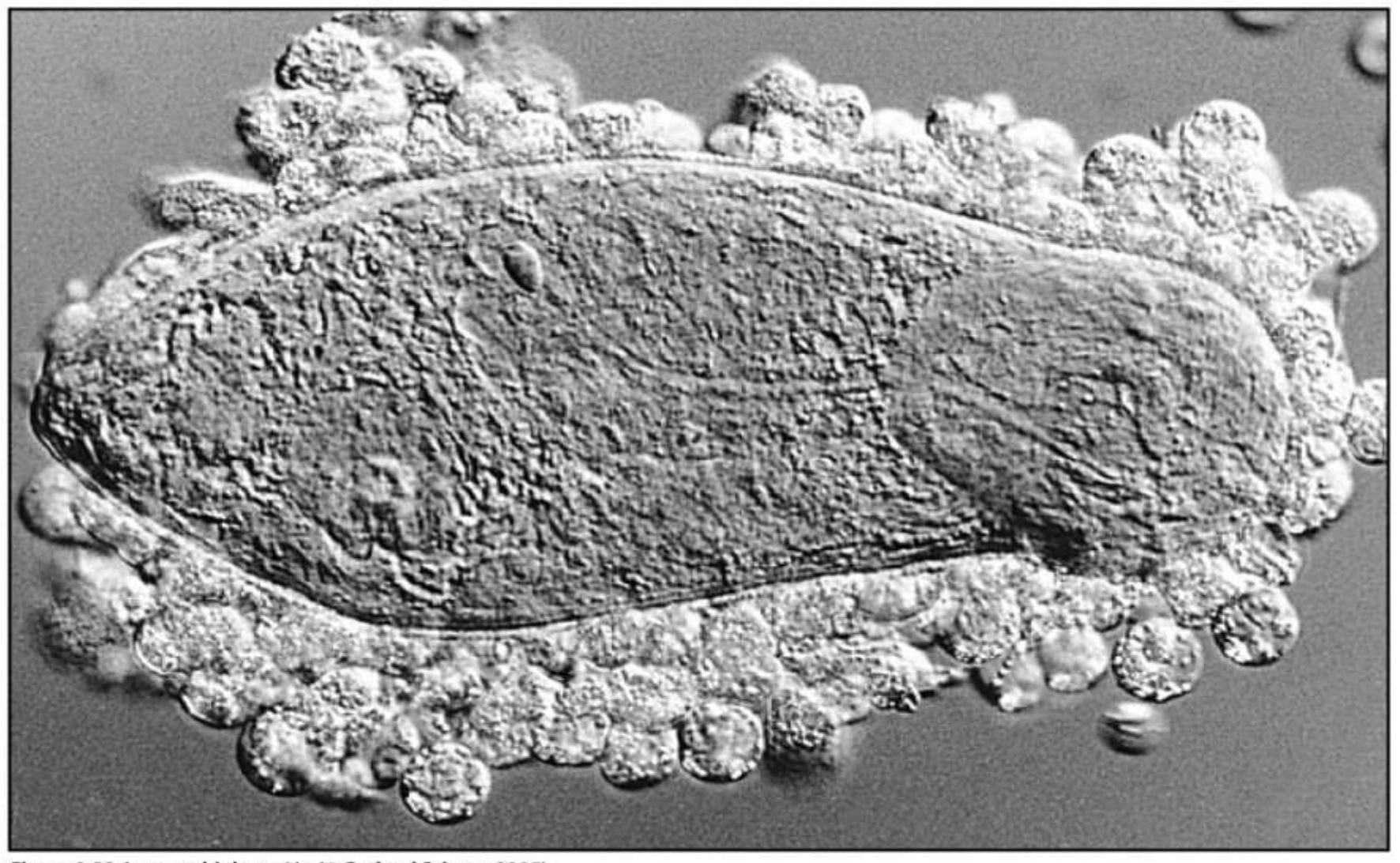


Figure 9-33 Immunobiology, 6/e. (© Garland Science 2005)

Schistosomes, vers plats provoquant entre autre la bilharziose

L'exocytose des éosinophiles ressemble à l'ADCC

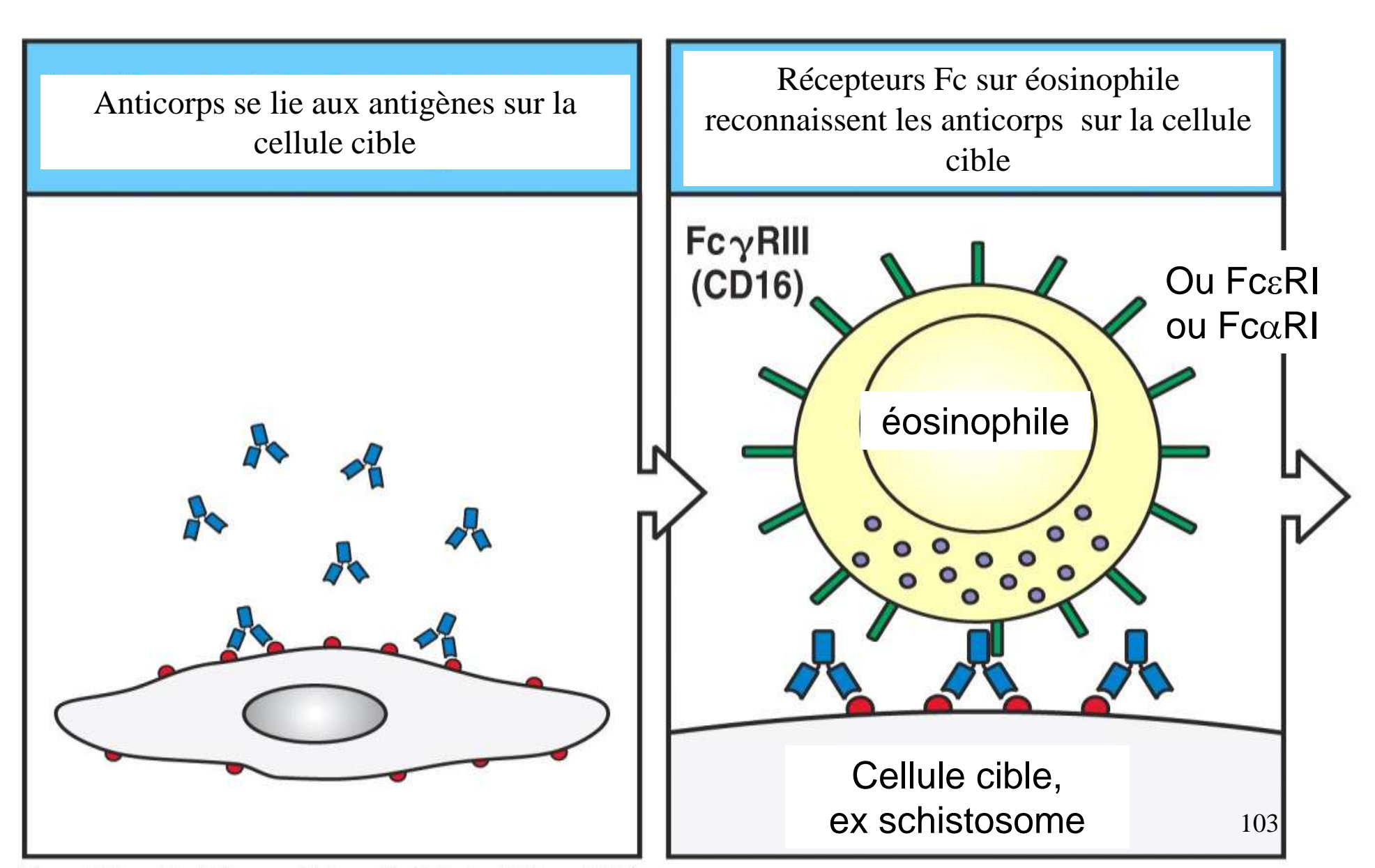


Figure 9-34 part 1 of 2 Immunobiology, 6/e. (© Garland Science 2005)

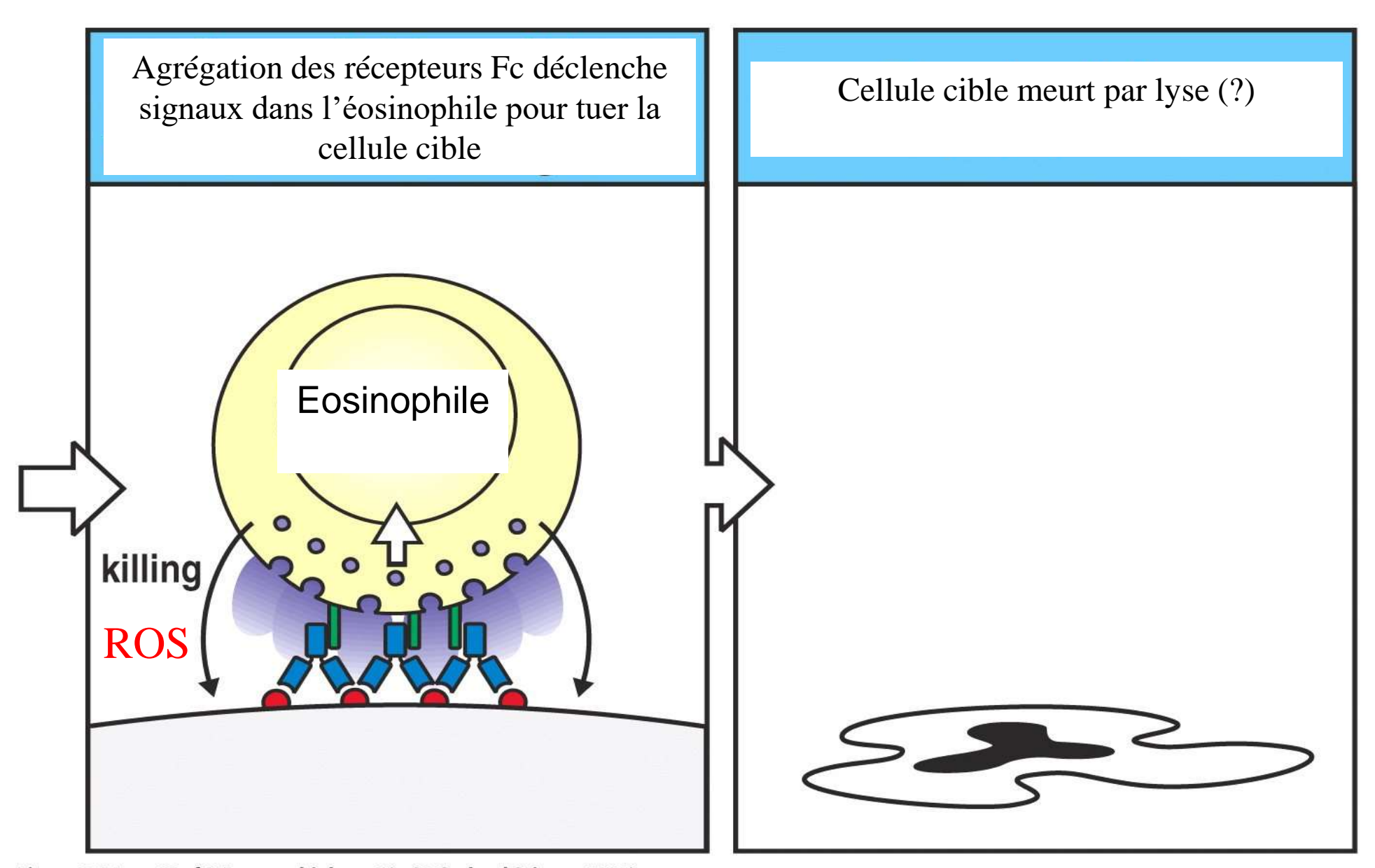


Figure 9-34 part 2 of 2 Immunobiology, 6/e. (© Garland Science 2005)

Cellules myéloïdes: basophiles et mastocytes

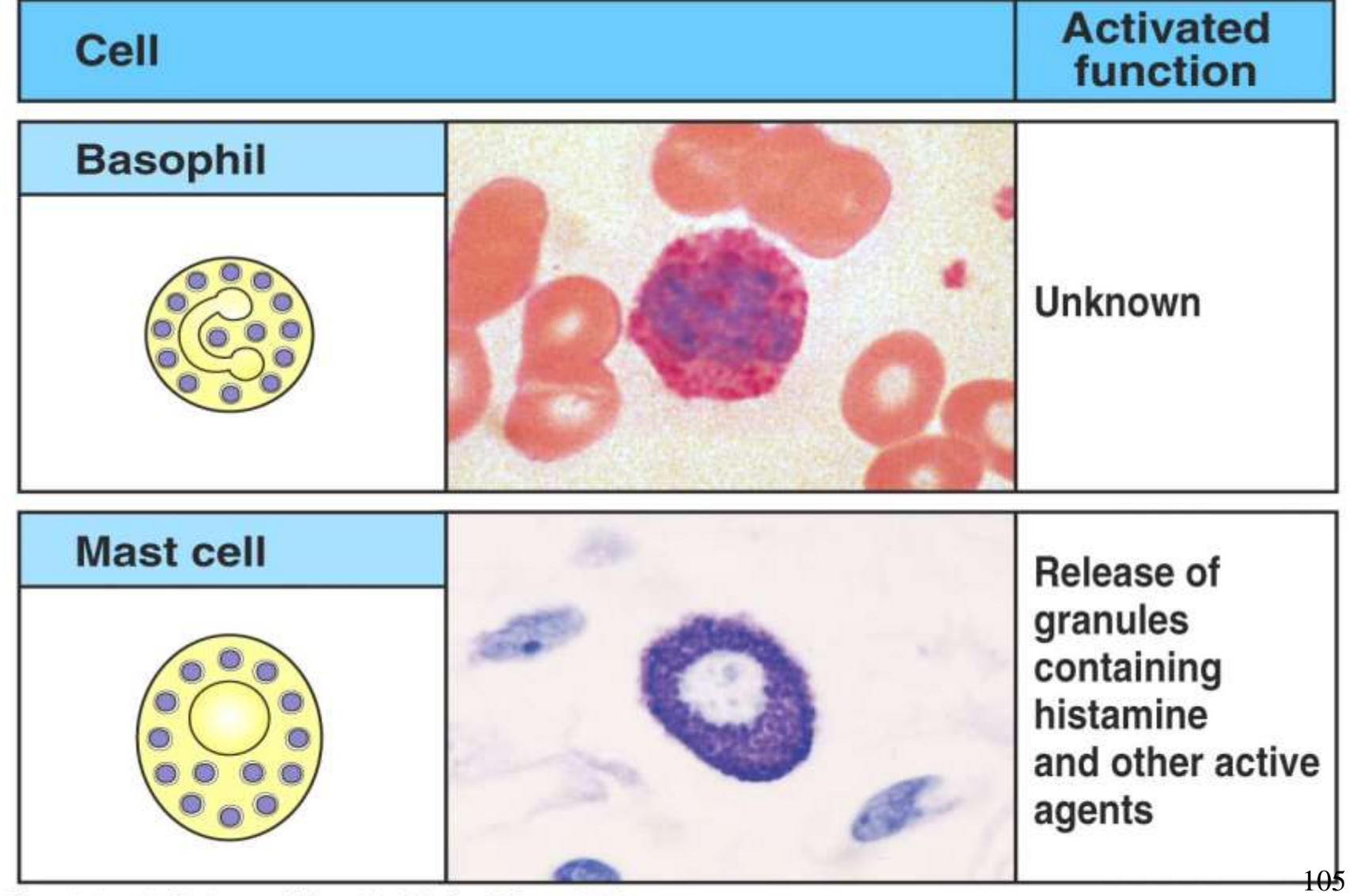


Figure 1-4 part 3 of 3 Immunobiology, 6/e. (© Garland Science 2005)

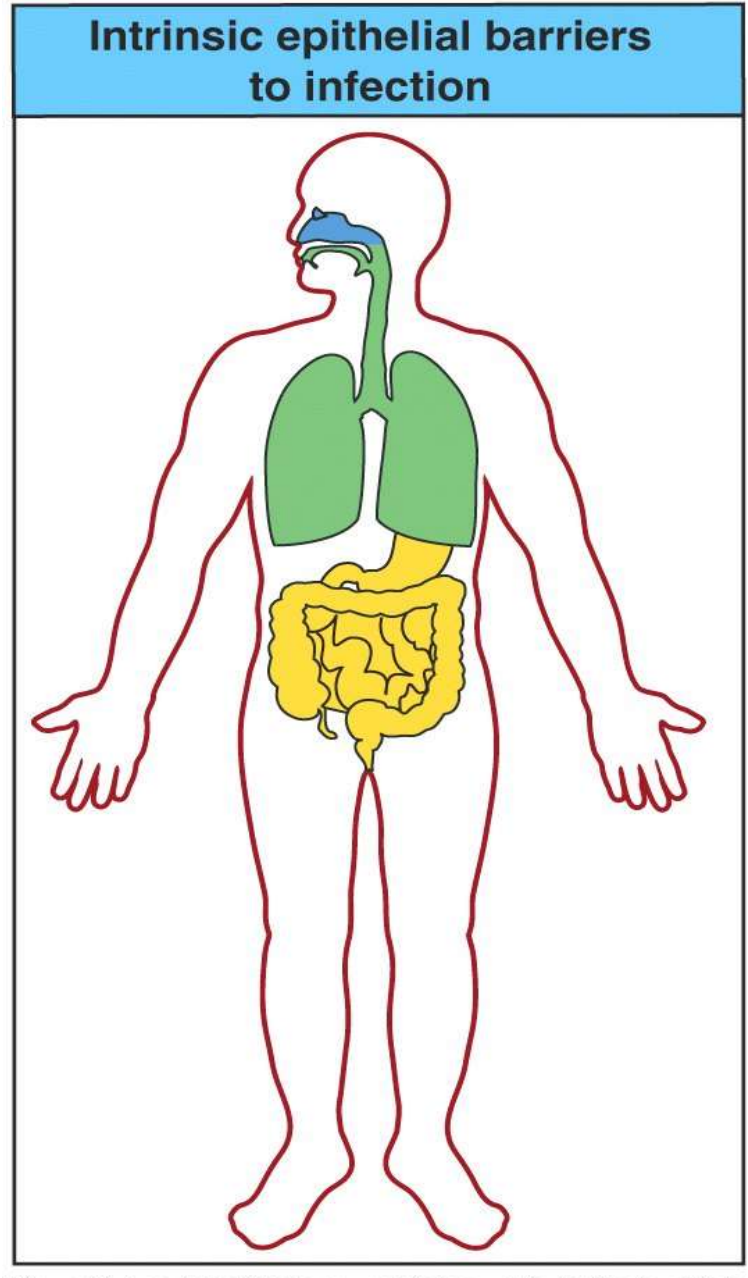
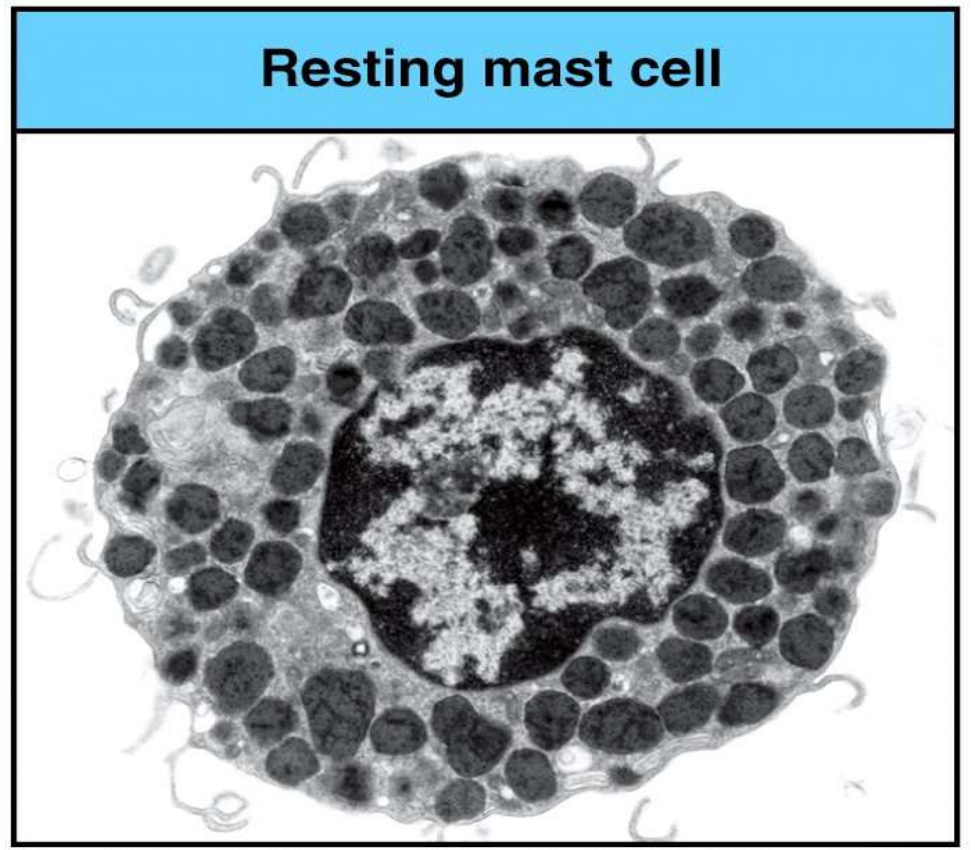


Figure 2-4 part 1 of 2 Immunobiology, 6/e. (© Garland Science 2005)

Emplacement des mastocytes – tissu conjonctif sub-épithélial et muqueuses

L'activation des mastocytes provoque une dégranulation massive



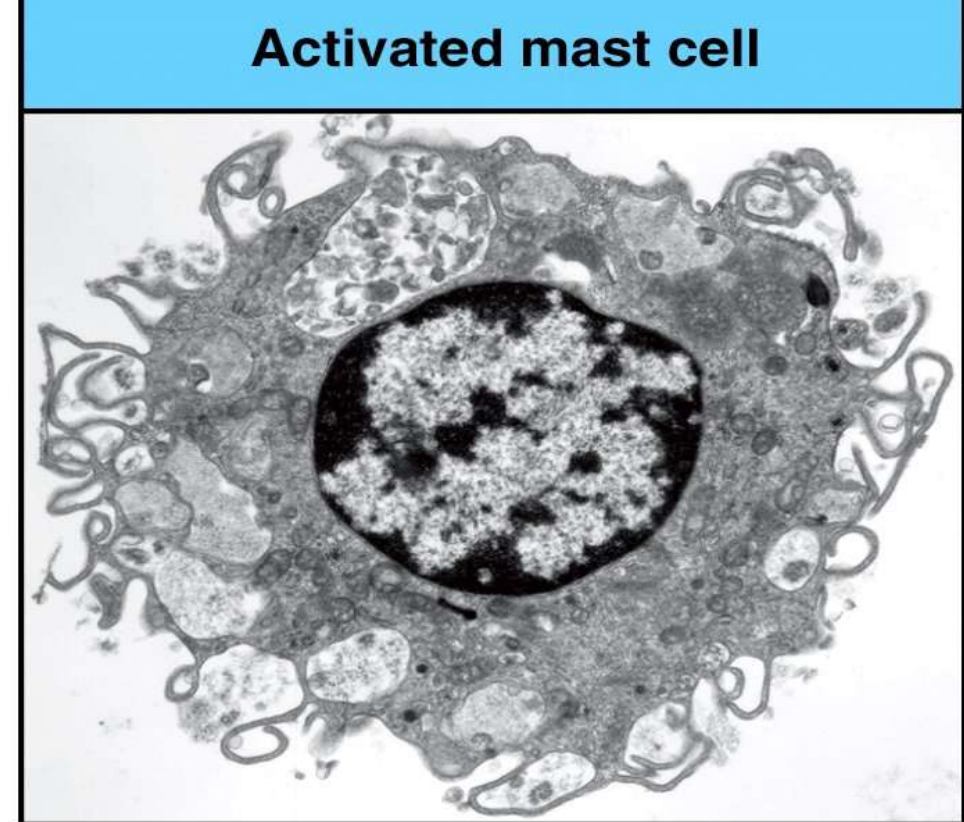
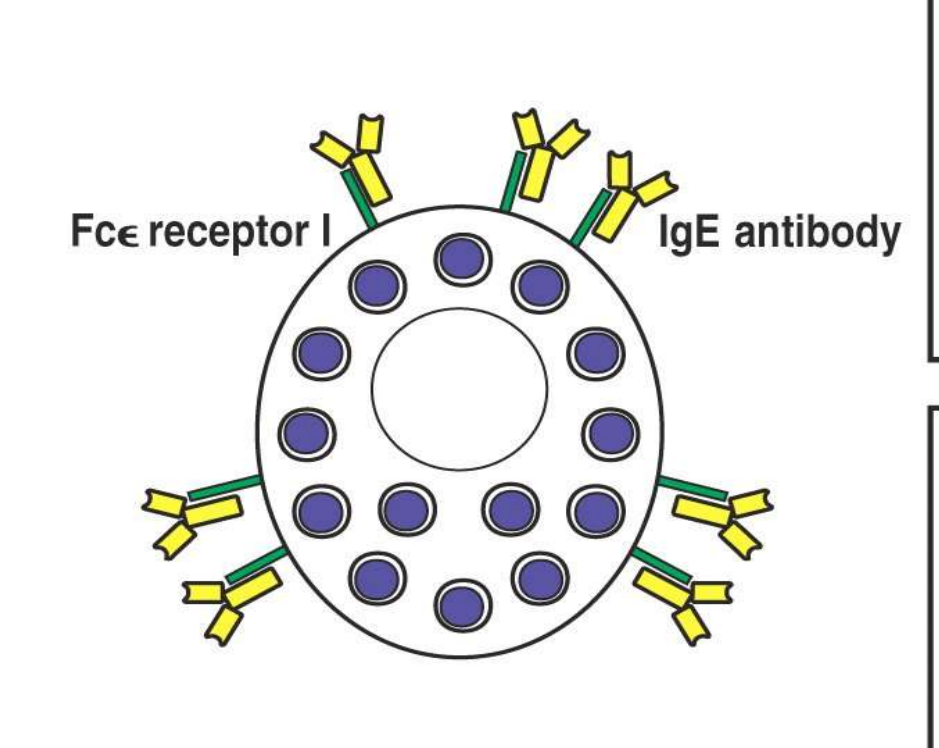


Figure 9-35 part 1 of 2 Immunobiology, 6/e. (© Garland Science 2005)

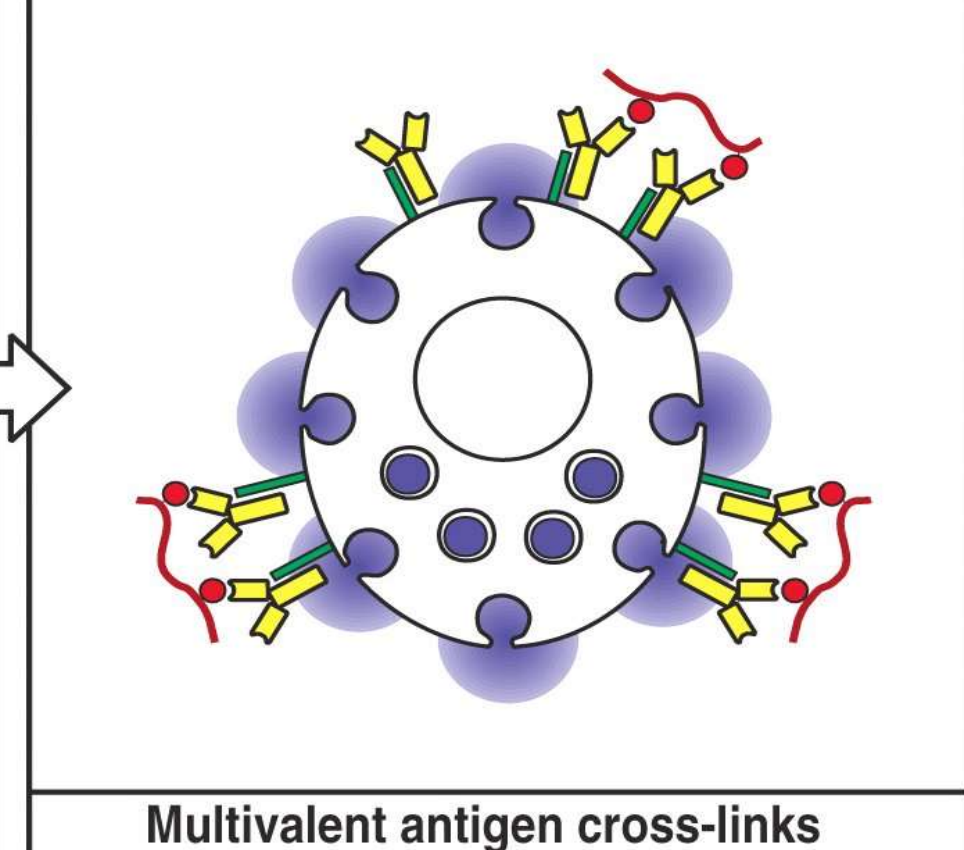
L'activation des mastocytes par crosslink des récepteurs Fc_ERI

Resting mast cell



Resting mast cell contains granules containing histamine and other inflammatory mediators

Activated mast cell



Multivalent antigen cross-links bound IgE antibody, causing release of granule contents

Figure 9-35 part 2 of 2 Immunobiology, 6/e. (© Garland Science 2005)

Production des IgE par les plasmoytes et rétrocontrôle par les mastocytes

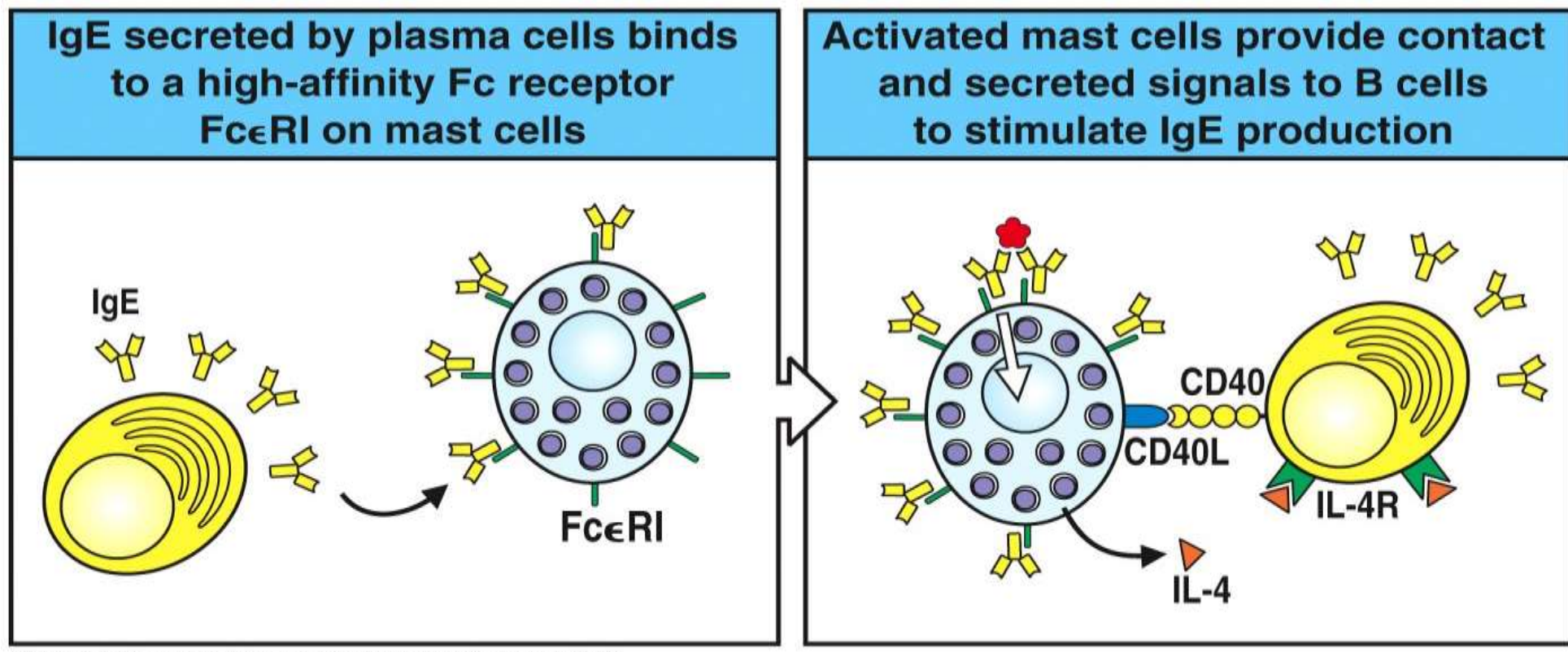
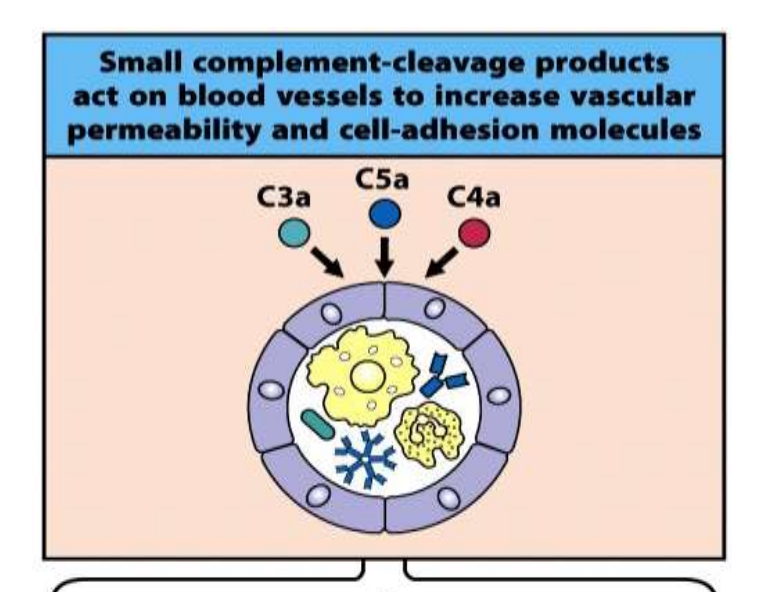
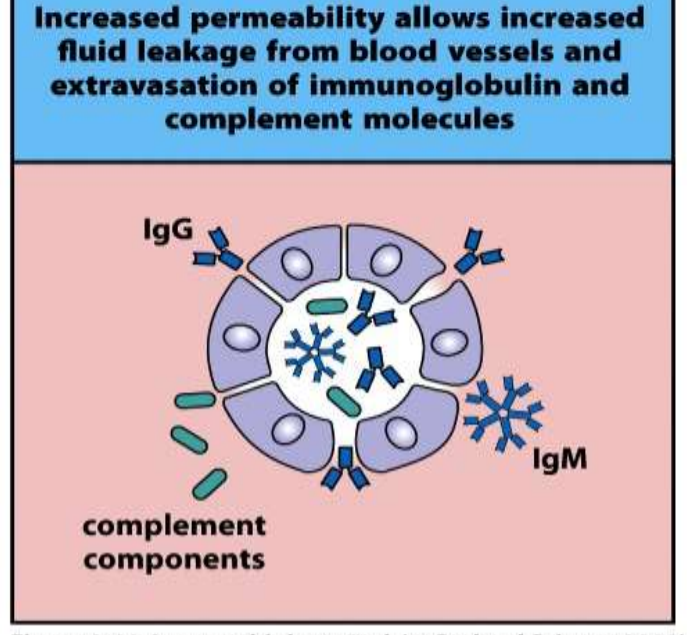


Figure 12-7 Immunobiology, 6/e. (© Garland Science 2005)

Augmentation de la perméabilité vasculaire => arrivée de médiateurs solubles et leucocytes





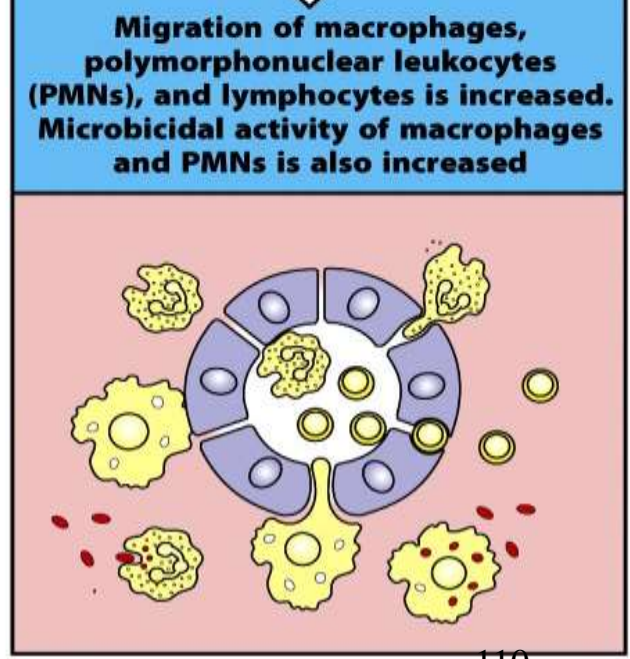


Figure 2-39 Immunobiology, 7ed. (© Garland Science 2008)

Extravasation des leucocytes

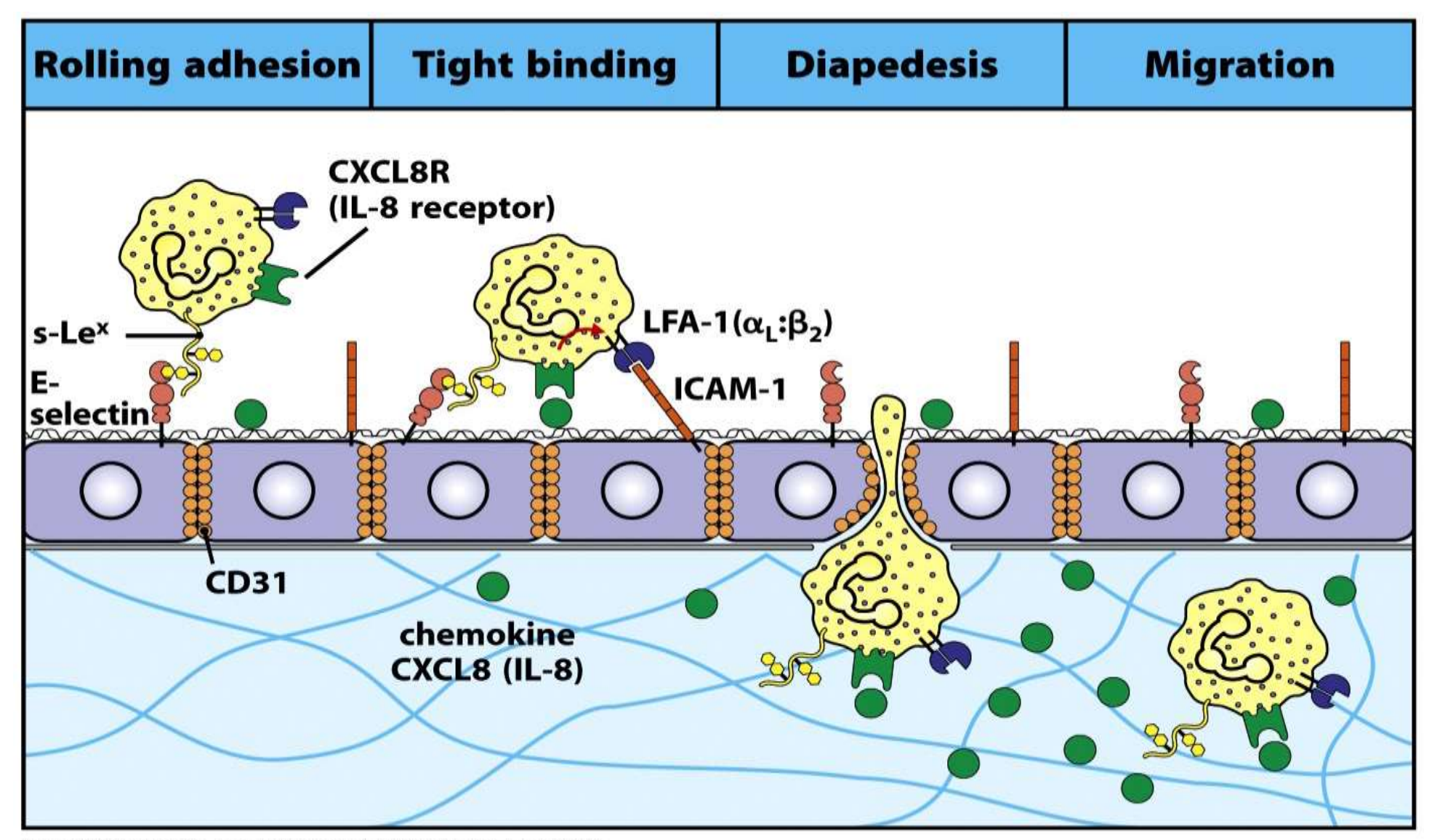
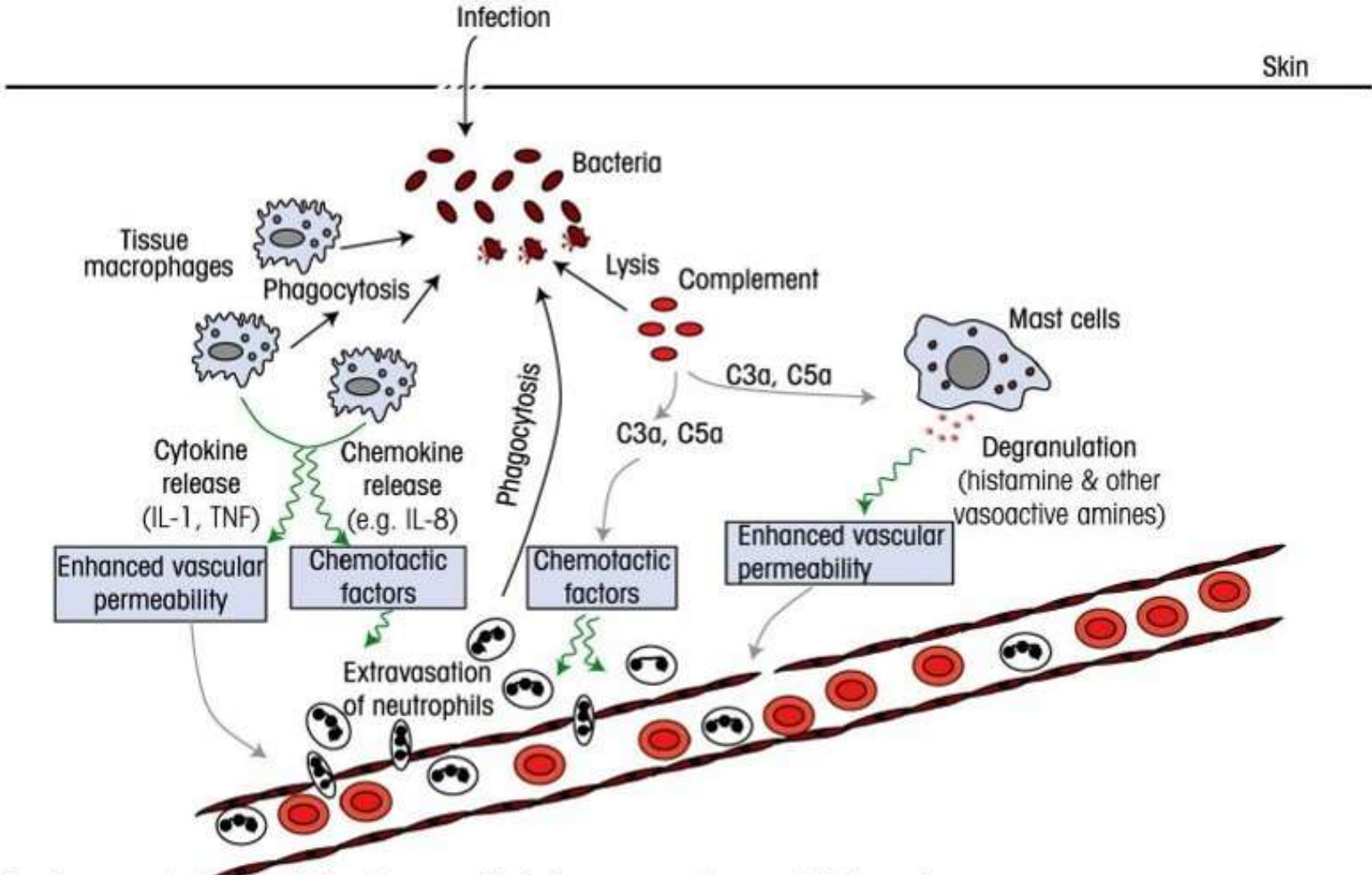


Figure 2-49 part 2 of 3 Immunobiology, 7ed. (© Garland Science 2008)

Acteurs de l'inflammation



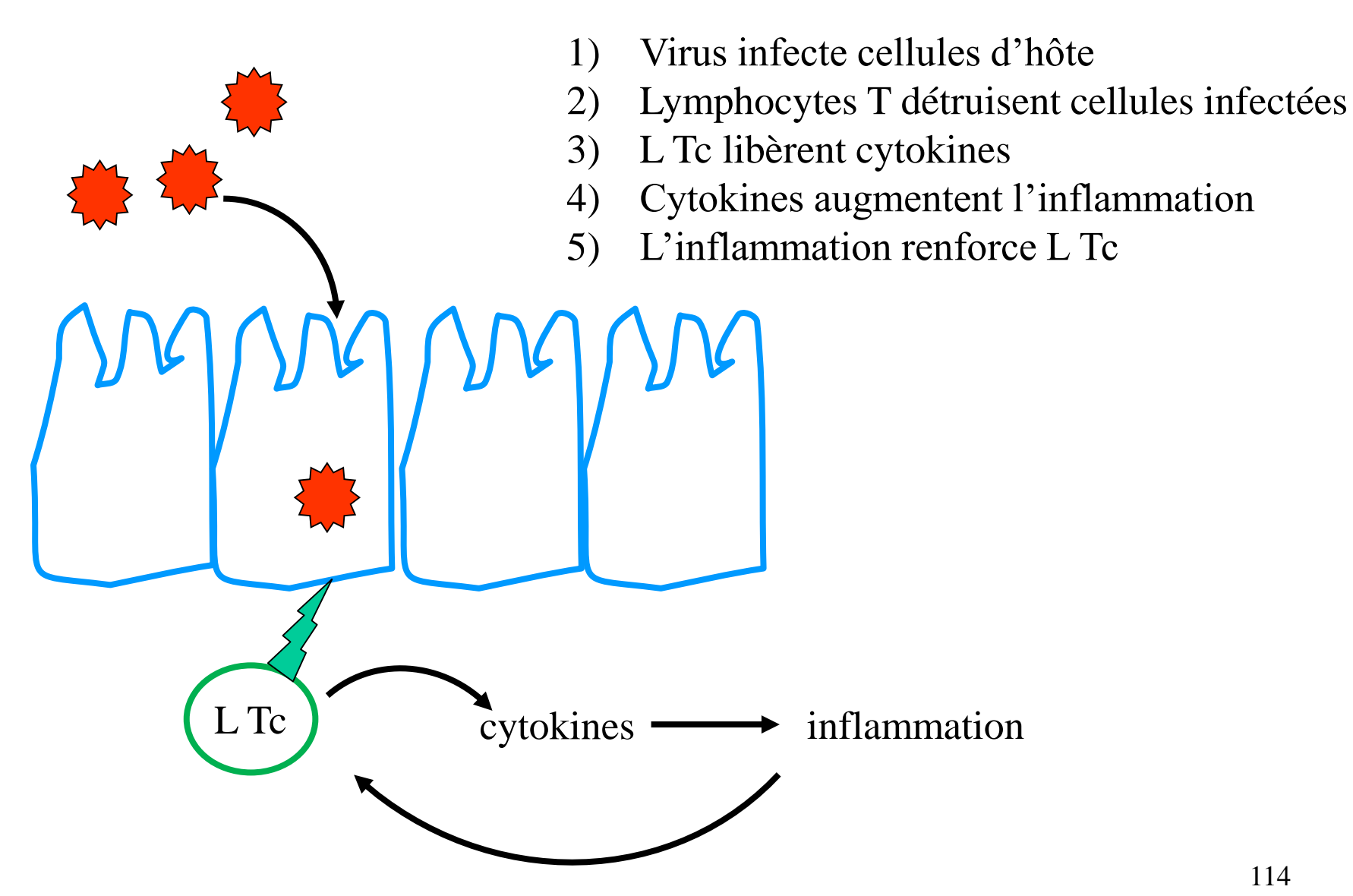
Delves et al. Roitt's Essential Immunology, 12th ed. © 2011 Delves et al. Published 2011 by Blackwell Publishing Ltd.

112

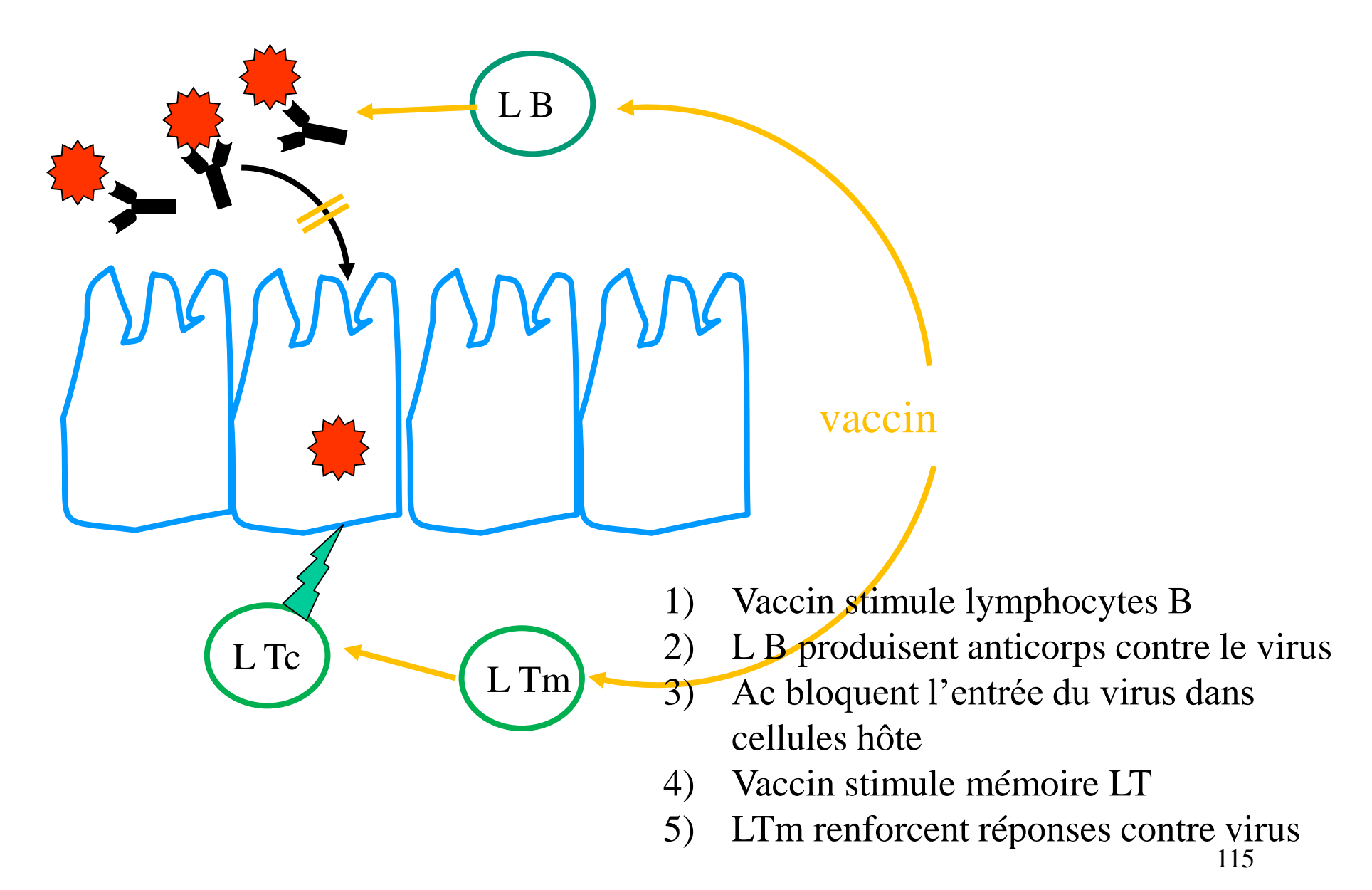
Résumé

- -Le système du complément : chimiotactisme, opsonisation et attaque membranaire
- Les TLR, reconnaissance de motifs associés aux pathogènes (PAMP) extraet intra-cellulaire
 - Chemokines, cytokines et protéines de la phase aiguë
- Phagocytose, opsonisation (Ig et complément), internalisation, maturation du phagosome
 - Les phagocytes, polynucléaires neutrophiles et macrophages
 - Destruction intraphagosomale; NADPH oxydase (ROS), enzymes, acidité, compétition
- Eosinophiles, défense contre les parasites, IgE RFcε, production de ROS et libération d'enzymes
 - -Le mastocyte, médiateur d'inflammation et d'allergie

La réponse immunitaire au SARS-CoV-2



Le vaccin contre le SARS-CoV-2



COVID-19 - maladie provoquée par l'infection avec virus SARS-CoV-2

22.1.2022 15 548 782 cas positifs en France 102 509 morts en France 349 130 000 cas d'infection dans le monde 5 590 000 morts dans le monde

20.1.2023

39 306 424 cas positifs en France
135 198 <u>décès hospitaliers</u> en France
694.894.894 cas d'infection dans le monde
7.036.196 morts dans le monde

https://covidtracker.fr

La détection des infections COVID-19

Détection d'ARN virale par PCR

Détection d'anticorps contre SARS-CoV-2

Détection d'antigènes virales

The concept of a SARS-CoV-2 / COVID-19 rapid test

Text and video https://www.genetex.com/MarketingMaterial/I ndex/COVID-19-Rapid-Tests

